

Yüan-tzu nêng  
vol. 5, no. 3

# 原子能

Атомная  
энергия

НОЯБРЬ  
1959

3  
1960

中国科学院原子核科学委员会編輯委员会編輯  
科 学 出 版 社 出 版

## 目 录

快中子反应堆的脉冲工况·····	(199)
論閃发反应堆的释热稳定性·····	(203)
檢驗堆用石墨的比較法·····	(207)
裂变核共振能級的性質·····	(211)
鐳 ( $\text{Ra}^{226}$ ) 的半衰期 ·····	(226)

## 簡 报

分段的反应堆系統·····	(236)
重水密度的实验研究·····	(237)
重水粘滯性的实验研究·····	(240)
重水热容量的实验研究·····	(243)
重水导热性的实验研究·····	(246)
电解分离稀土元素放射性同位素·····	(249)
銻—銻系相图·····	(251)
論薄靶核反应产額增大的可能性·····	(255)
能量为 14.7 兆电子伏的質子在鋁內的射程 ·····	(256)
$\text{U}^{238}$ , $\text{U}^{235}$ 及 $\text{Th}^{232}$ 为快中子所分裂的緩发中子的絕對产額 ·····	(258)
利用別林基-塔姆 (Беленький-Тамм) 平衡譜計算某些物質在单色电子束的作用下光激中 子的产額·····	(259)
中子被氧, 銻和鉻核散射时的能譜 ·····	(261)
列宁格勒近郊大气中 $\text{Sr}^{90}$ 的沉降·····	(263)
停止核爆炸試驗后的放射性沉降·····	(264)
用空气吸收法分析軟 $\beta$ 輻射·····	(267)
用鍾罩形計数管測量 $\beta$ 放射性气体的浓度·····	(270)
放射源內多次散射对剂量率值的影响 ·····	(271)
从电子感应加速器中引出电子的靜电方法·····	(272)

## 科 技 新 聞

澳大利亚的原子能事业·····	(275)
卡伯尔-克洛斯原子能发电站的起動 ·····	(276)
美国发展高能加速器的計劃 ·····	(278)
論核能直接轉換成电能·····	(279)
从含鈾的磷酸中提取鈾的方法·····	(281)
新式离心萃取器·····	(281)
3 个兆电子伏的电子直綫加速器·····	(282)
簡訊·····	(282)

## 新 书 介 紹

最新文献·····	(285)
預告目录·····	(290)



# 快中子反应堆的脉冲工况<sup>1)</sup>

邦達連柯 (И. И. Бондаренко),  
斯塔維斯基 (Ю. Я. Ставиский).

对于許多在核反应堆上进行的实验,具有决定意义的并不是长时间内反应堆的平均功率,而是为实验所必需的短时间内反应堆的功率。在这种情况下,最有利的是核反应堆以脉冲工况工作,即是在短時間間隔內反应堆功率升高許多倍。脉冲工况的优点最明显表现在快中子反应堆,因为在快中子反应堆內中子寿命与其他类型反应堆相比較为最短。在本文中导出了快中子反应堆功率脉冲长度的公式,以及描述功率脉冲大小与時間关系的公式。同时也引入了可以用来进行原子核物理研究的脉冲快中子反应堆的可能特性。

脉冲工况工作的反应堆可用来:

- 1) 使用飞行時間中子选择器进行研究;
- 2) 研究短寿命的放射性(緩发中子<sup>1,2)</sup>,短寿命的同質异能素及其他);
- 3) 进行以与反应堆工作无关的本底为主要障碍的各种实验。

在1955年布洛欣采夫(Д. И. Блохинцев)建議采用脉冲工况工作的反应堆,反应堆功率脉冲是在固定于旋轉圓盘上的部分活性区运动时产生的。在这种情况下反应堆在长时间内为次临界,当运动着的部分活性区通过活性区的主要的、靜止的部分时,反应堆在短時間內进入超临界状况。

脉冲功率时反应堆功率的变化,可以相当精确地用下列方程式表示:

$$dw(t) = \left( \frac{w(t)\epsilon(t)}{\tau} + \frac{S}{\tau\nu} \right) dt. \quad (1)$$

这里 $w(t)$ ——反应堆功率的瞬时值(1秒鐘裂变次数); $\tau$ ——瞬发中子的平均寿命<sup>2)</sup>;  $\nu$ ——次級中子数; $S$ ——外部中子源的强度; $\epsilon(t)$ ——反应堆瞬发中子剩余增殖系数。方程式中沒有考虑緩发中子的影响,因为它们的生命,在我們所討論的情况下,要比功率“激發”的持續時間长得多。

为取得短的功率激發,必須在短時間內使 $\epsilon(t)$ 为正值。把当 $\epsilon(t)$ 为极大值的时刻取为時間讀数的始点( $t = 0$ )(見图)。我們將认为函数 $\epsilon(t)$ 对于 $t = 0$ 点是对称的。很明显,如果反应性的改变是由于活性区运动部分的均匀移动而产生的話,这个条件总是能滿足的。

在远离脉冲开始的时刻, $\epsilon(t)$ 具有不变的負值,等于 $\epsilon_n$ 。在此阶段反应堆功率也不变:

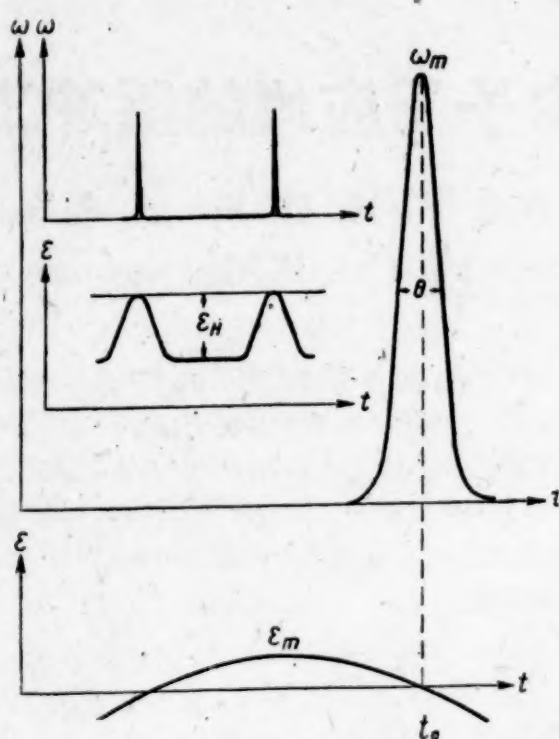
$$w_n = -\frac{S}{\epsilon_n \nu}. \quad (2)$$

然后 $\epsilon(t)$ 开始增加。当 $\epsilon(t)$ 增加速度尙很小而其值离开零尙很远时,过程具有准靜态的特性。在这時間內,反应堆功率在每一时刻近于其平衡值:

$$w(t) = -\frac{S}{\epsilon(t)\nu}. \quad (3)$$

1) 本文是根据1956年所做工作的結果而写的。本文中引用的某些資料,亦曾由卓巴寥夫(Т. Н. Зубарев)所得到。

2) 瞬发中子平均寿命的决定,見烏薩喬夫(Л. Н. Усачев)的文獻[3]。



快中子反应堆脉冲工况时功率脉冲发展图

这种情况保持着,只要条件

$$\frac{dw(t)}{w(t)} \ll \epsilon(t) \frac{dt}{\tau} \quad (4)$$

尚得到实现。再往下去,功率开始增长得比式(3)给出的值要慢。计算表明,在  $\epsilon(t)$  变为零的那个时刻,反应堆功率达到如下值:

$$w(-t_0) \approx \frac{1.25S}{v \sqrt{\tau \gamma}}, \quad (5)$$

其中  $\gamma = \left. \frac{d\epsilon(t)}{dt} \right|_{t=-t_0}$ 。当  $\epsilon(t)$  值为正时紧跟着就开始功率的主要增长。描述此阶段功率的改变,可以略去方程式(1)右面的第二项。这在探讨那些在其过程中反应堆功率增长许多倍的脉冲时,并不导致重大的误差。而正是这种情况是使我们主要感到兴趣的。

这样

$$\frac{dw(t)}{w(t)} = \frac{\epsilon(t) dt}{\tau}. \quad (6)$$

在  $t = t_0$  (当  $\epsilon(t)$  重新得到零值时) 时刻达到功率最大值  $w_m$ ,

$$\begin{aligned} w_m &= w(-t_0) \exp \left[ \int_{-t_0}^{t_0} \frac{\epsilon(t) dt}{\tau} \right] = \\ &= \frac{1.25S}{v \sqrt{\tau \gamma}} \exp \left[ \int_{-t_0}^{t_0} \frac{\epsilon(t) dt}{\tau} \right]. \end{aligned} \quad (7)$$

让我们来探讨一下极大值附近脉冲的形状。在接近于  $t_0$  的时刻  $t$ ,  $\epsilon(t)$  的关系可以表示为如下形式:

$$\epsilon(t) = -\gamma(t - t_0). \quad (8)$$

这样从式(6)可得

$$w(t) = w_m \exp \left[ -\frac{(t - t_0)^2 \cdot \gamma}{2\tau} \right].$$



由此在极大值附近脉冲具有高斯曲线的形状,其半宽度  $\theta$  等于

$$\theta \approx 2.35 \sqrt{\frac{\tau}{\gamma}}. \quad (9)$$

在远离极大值的地方,脉冲形状与高斯曲线形状有所区别,增长得少些慢些,而下落得少些快些。但是根据(1)式的数值计算表明,当大的功率脉冲时,仅在脉冲边缘与高斯曲线形状有很大的区别,而脉冲边缘对脉冲总能量的贡献并不大。

在反应堆中,  $\epsilon(t)$  的极大值  $\epsilon_m$ , 总是比 1 小得多。所以  $\epsilon$  与活性区运动部分位置的关系,可以近似为抛物线:

$$\epsilon(x) = \epsilon_m - \alpha x^2, \quad (10)$$

其中  $\alpha$ ——与反应堆活性区运动部分的参数有关的值。它表征出当活性区运动部分移动时反应性改变的陡度。 $\epsilon$  与时间的关系通过  $\alpha$  值及活性区运动部分移动速度  $v$  表示如下:

$$\epsilon = \epsilon_m - \alpha v^2 t^2.$$

利用(7)与(10),我们得到脉冲期间裂变总数的表示式:

$$E = \frac{S}{v} K(\epsilon_m);$$

$$K(\epsilon_m) = \frac{1.25}{v \alpha^{1/2} \epsilon_m^{1/2}} \exp\left(\frac{1.33 \epsilon_m^{3/2}}{v \tau \alpha^{1/2}}\right). \quad (11)$$

脉冲长度与反应堆主要特性值( $\tau, \alpha, v$ )间的关系也是很有意义的。从前面得出的关系可得如下表示式:

$$\theta = 1.74 \frac{\tau^{1/3}}{\alpha^{1/3} v^{2/3}} A. \quad (12)$$

这样,脉冲长度随着  $\tau$  的减小及  $\alpha$  与  $v$  的增加而减小。脉冲长度亦与脉冲能量有关(更确切些,与脉冲能量对外来中子源强度之比有关)。然而这个关系在脉冲能量的很广范围内是很弱的。在公式(12)中,这个关系包含于系数  $A$  中:

$$A \approx \left[ \ln \frac{8E}{S} v \tau^{1/3} \alpha^{2/3} v^{4/3} \right]^{-1/6}.$$

到目前为止我们研究了单个的功率脉冲。现在来探讨一下当反应堆周期性地工作,每秒给出  $n$  个脉冲的情况。在这种工况下,反应堆内将积累缓发中子源。假如反应堆功率具有稍许大一点的值,则对于脉冲说来,在前些脉冲期间所积累的缓发中子源将是外来中子源  $S$ :

$$S = \sum_i c_i \lambda_i, \quad (13)$$

其中  $c_i$ —— $i$  组缓发中子母体的浓度;  $\lambda_i$ ——相应的衰变常数。如果脉冲之间的间隔与缓发中子寿命相比较为很小的话,则反应堆平均功率  $W(t)$  可用下列方程式表示:

$$W(t) = E(t)n + E(t)n \frac{\beta}{\epsilon_m}. \quad (14)$$

式中第二项相当于脉冲之间的时间内所放出的功率。在最有兴趣的情况,实际上全部功率应该在脉冲期间放出。为此必须:

$$\frac{\beta}{\epsilon_m} \ll 1.$$

下面就探讨这种情况。

考虑了缓发中子的积累与蜕变,利用公式(11),我们得到如下描述平均功率变化的方程式:

$$W(t) = \frac{\sum_i c_i(t) \lambda_i}{v} K(\epsilon_m) n; \quad (15a)$$



$$\frac{dc_i(t)}{dt} = -\lambda_i c_i(t) + W(t) \nu \beta_i, \quad (156)$$

其中  $\beta_i$ —— $i$  組緩發中子的產額； $\sum_i \beta_i = \beta$ 。從這些方程式很容易得出反應堆准穩態工作（脈沖振幅不隨時間而改變）的條件：

$$K(\epsilon_m) \nu \beta = 1. \quad (16)$$

把滿足方程式(16)的  $\epsilon_m$  表示為  $\epsilon_0$ 。這樣，當反應堆在  $\epsilon_m = \epsilon_0$  工作時，自續鏈式反應得到實現，這相當於  $K_{\infty} \Phi = 1$  時普通反應堆在穩態的工作。當  $\epsilon_m > \epsilon_0$ ，反應堆發生加速（脈沖振幅增長），當  $\epsilon_m < \epsilon_0$ ，鏈式反應逐漸衰減。指出在微擾情況下（當  $\epsilon_m$  近於  $\epsilon_0$ ），脈沖反應堆平均功率與時間的關係類似於普通快中子反應堆功率與時間的關係這一點，是很有意義的。

為了證明這一點，我們把普通反應堆的动力方程寫成：

$$W(t) = \frac{\sum_i \lambda_i c_i(t)}{\nu} \frac{1}{\beta - \epsilon(t)}; \quad (17a)$$

$$\frac{dc_i}{dt} = -\lambda_i c_i(t) + W(t) \nu \beta_i. \quad (176)$$

這裡假定瞬發中子壽命等於零。對於瞬發中子壽命短的反应堆（快中子反应堆），這個假定在緩遲臨界的條件下總是正確的。很容易證明，對於微擾情況，描述脈沖工况反应堆的方程組(15)，與方程組(17)重合，如果用  $\beta^*$  來表示

$$\frac{K(\epsilon_0)}{\left. \frac{dK(\epsilon_m)}{d\epsilon_m} \right|_{\epsilon_m = \epsilon_0}}.$$

這樣，脈沖反應堆平均功率與時間的關係原來是和具有若干有效緩發中子成分的普通反應堆相同。所以調節脈沖反應堆可以利用普通反應堆的調節系統。此時，調節機構的移動導致  $\epsilon_m$  的改變。

在大擾動的情況下，脈沖反應堆的动力與普通反應堆的不同。其區別即使在這一點上也可以表現出來，即在普通反應堆中，與脈沖反應堆相反，當  $\epsilon > \beta$  時，緩發中子的調節影響就消失，這就大大地改變反應堆的动力學。

作為例子，我們引入了脈沖工况工作的快中子反應堆方案之一的計算結果。在這個方案中，活性區含有鈾，而活性區運動部分—— $U^{235}$ 。決定反應堆在脈沖工况工作的主要參數的值如下： $\alpha = 7.5 \times 10^{-3}$  厘米<sup>-2</sup>， $\tau = 10^{-8}$  秒， $\epsilon_n = 0.2$ 。當活性區運動部分的移動速度為 300 米/秒，脈沖頻率為 10 脈沖/秒時，脈沖長度為  $\sim 13 \cdot 10^{-6}$  秒，這時瞬時超臨界的平衡值為  $\epsilon_0 = 2.6 \cdot 10^{-3}$ 。與此工况相應的有效緩發中子成分為  $2.4 \cdot 10^{-4}$ 。反應堆平均功率為 10 瓩時，脈沖工况功率達到  $\sim 10^5$  瓩。

最後，作者深深感謝布洛欣采夫（Д. И. Блохинцев）、蘭普斯基（А. И. Лейпунский）及喀薩契柯夫斯基（О. Д. Казачковский）的經常關懷和指導，同樣感謝烏克蘭因采夫（Ф. И. Украинцев）及克拉斯諾亞羅夫（Н. В. Краснояров）寶貴的討論。

### 參 考 文 獻

- [1] G. de Hoffmann, B. Feld, P. Stein: *Phys. Rev.*, **74**, 1330 (1948).
- [2] H. Paxton: *Nucleonics*, **13**, No. 10, 48 (1955).
- [3] Л. Н. Усачев: *Реакторостроение и теория реакторов*. М., Изд-во АН СССР, 1955, стр. 251.

# 論閃发反应堆<sup>1)</sup>的释热稳定性

佐巴廖夫 (Т. Н. Зубарев)

探討了閃发反应堆中释热稳定性的条件,得到了在中子閃发期間当反应性以直綫規律及余弦規律改变时的释热計算公式。

在文献[1]中研究了閃发反应堆这样的工况,即随着反应堆最大反应性在中子閃发时的增大或减小,它的延續時間自动地减少或增加,这就保证了释热的稳定。我們来探討一下,在下列条件下,閃发反应堆的释热跟各种表征中子閃发強度的因素的关系:

$$T \ll \frac{1}{\omega} \ll \bar{T}_s, \quad (1)$$

$$\frac{\Delta k_0}{\omega T} > 1, \quad (2)$$

$$|\Delta k(t)| \ll 1. \quad (3)$$

这里  $T$ ——反应堆中的中子寿命;  $\bar{T}_s$ ——放出緩发中子的核碎片的半衰期;  $\omega = \frac{2\pi}{T_n}$  ( $T_n$ ——一次中子閃发的周期);  $\Delta k(t) = k_{\text{эфф}}(t) - 1$ ,  $\Delta k_0 = k_{\text{эфф, макс}} - 1$ , 其中  $k_{\text{эфф}}(t)$  及  $k_{\text{эфф, макс}}$ ——分别为: 2 在  $t$  时刻不考虑緩发中子时反应堆的有效中子增殖系数及在中子閃发期間达到最大反应性时的有效中子增殖系数。

在滿足条件(1)、(3)及  $\Delta k(t) < 0$  时,閃发反应堆內中子数量与時間的关系  $N(t)$  由下列方程式描述:

$$dN = \frac{N}{T} \Delta k(t) dt + \frac{N_s}{T} dt, \quad (4)$$

其中  $N_s$ ——由反应堆平均功率所决定的緩发中子的平衡数量。如果在中子閃发之間的時間內的释热比中子閃发时的释热小得多,那么

$$N_s \simeq \frac{Q \nu \beta T}{q_0 T_p}, \quad (5)$$

其中  $Q$  及  $q_0$  分别为一次中子閃发的释热量及一个鈾原子核分裂的释热量;  $\beta$ ——鈾原子核分裂时产生的中子总数  $\nu$  中緩发中子所占份額;  $T_p$ ——前后两次中子閃发間相隔的时间。

关系式(5)是在中子閃发时释热不变以及沒有核碎片逸出活性区的情况下才正确。如果随着一次一次的中子閃发释热逐渐变化,那么关系式(5)中的  $Q$  应该代以值:

$$\bar{Q} \simeq \frac{T_p \cdot \sum_i Q_i}{\bar{T}_s}, \quad (6)$$

其中  $Q_i$ ——第  $i$  次中子閃发时的释热,应该对这次中子閃发前  $\bar{T}_s$  時間內的各次中子閃发进行求和。

当  $\Delta k(t) > 0$ , 緩发中子源可以忽略,方程式(4)就变成

1) 文献中也用“脉冲反应堆”这个术语。

$$dN = \frac{N}{T} \Delta k(t) dt. \quad (7)$$

在中子閃发時間內反应堆释热为

$$Q = q \int \frac{N(t)}{T} dt \simeq \frac{q}{T} \int N(t) dt, \quad (8)$$

其中 $q$ ——吸收一个中子时所释放的热量.

假定中子閃发时反应性按下列規律变化:

$$\Delta k(t) = \Delta k_0 \frac{2}{\pi} \omega t, \quad \text{当 } t < \frac{\pi}{2\omega}, \quad (9)$$

$$\Delta k(t) = \Delta k_0 \left(1 - \frac{2}{\pi} \omega t\right), \quad \text{当 } t > \frac{\pi}{2\omega}, \quad (10)$$

而且在初始时刻( $t = t_1$ )

$$\Delta k(t_1) = -\Delta k_1, \quad \left| \frac{\Delta k_1}{\Delta k_0} \right| \lesssim 1. \quad (11)$$

利用关系式(9), 在  $t = 0$  范围内对方程式(4)积分, 得到当  $\Delta k(t) = 0$  时  $N(t)$  之值:

$$N_0 = \frac{N_3}{\Delta k_1} e^{-\left(\frac{\Delta k_1}{\Delta k_0} a\right)^2} \left\{ 1 + 2 \frac{\Delta k_1}{\Delta k_0} a e^{\left(\frac{\Delta k_1}{\Delta k_0} a\right)^2} \int_{-\frac{\Delta k_1}{\Delta k_0} a}^0 e^{-z^2} dz \right\}, \quad (12)$$

其中

$$a = \frac{\sqrt{\pi}}{2} \sqrt{\frac{\Delta k_0}{\omega T}}.$$

当滿足条件(1), (2)及(11)时, 从关系式(12)可得

$$N_0 \simeq \frac{\pi}{2\sqrt{\Delta k_0 \omega T}} N_3. \quad (13)$$

用  $Q_1$ ,  $Q_2$  和  $Q_3$  分别表示  $\Delta k(t)$  在  $0 \rightarrow \Delta k_0$ ,  $\Delta k_0 \rightarrow 0$ ,  $0 \rightarrow (-\Delta k_0)$  范围内变化时的释热量. 这时当  $\Delta k(t)$  按(9)及(10)变化时, 从关系式(7)、(8)及(13)可得

$$Q_1 \simeq \frac{(\pi)^{3/2}}{2} \frac{q N_3}{\Delta k_0 \omega T} \int_0^a e^{-z^2} dz, \quad (14)$$

$$Q_2 \simeq \frac{(\pi)^{3/2}}{2} \frac{q N_3}{\Delta k_0 \omega T} e^{2a^2} \int_0^a e^{-z^2} dz, \quad (15)$$

$$Q_3 \simeq \frac{(\pi)^{3/2}}{2} \frac{q N_3}{\Delta k_0 \omega T} e^{2a^2} \int_0^{\frac{\Delta k_1}{\Delta k_0} a} e^{-z^2} dz. \quad (16)$$

考虑到



$$\int_0^x e^{z^2} dz = \frac{e^{x^2}}{2x} \left\{ 1 - \frac{M\left(-\frac{1}{2}, \frac{1}{2}, x^2\right)}{e^{x^2}} \right\},$$

其中  $M\left(-\frac{1}{2}, \frac{1}{2}, x^2\right)$ ——合流超幾何函數<sup>[2]</sup>, 从(14)–(16)在条件(2)下, 可以求得, 当  $\Delta k(t)$

以直線規律变化时中子閃發期間的总釋热量:

$$Q_{\text{直線}} = Q_1 + Q_2 + Q_3 \simeq 2q \left( \frac{\pi}{2} \right)^2 \frac{N_3}{\Delta k_0 \omega T} e^{\frac{\pi}{2} \frac{\Delta k_0}{\omega T}}. \quad (17)$$

大部分热是当  $\Delta k(t)$  減小时釋出的 ( $Q_1 \gg Q_2$ ), 而且当  $\Delta k(t)$  从  $\Delta k_0$  变到零的时间內所釋放热量与鏈式反应逐漸熄灭时所釋放热量, 大致相等 ( $Q_2 \simeq Q_3$ ). 反应堆中子通量达到极大值, 是在  $\Delta k(t)$  減小过程中当  $\Delta k(t) = 0$  的时刻.

与上面已經探討了的  $\Delta k(t)$  以直線規律变化的情况不同, 在有些閃發反应堆的方案中,  $\Delta k(t)$  可以在其极大值附近平滑地变化. 对釋热值相应的修正是重要的, 而且很容易求得.

假定  $\Delta k(t)$  按下列規律变化

$$\Delta k(t) = \Delta k_0 \cos \omega t. \quad (18)$$

那么, 利用方程式(7)、关系式(8)和(13), 以及条件(2), 得到

$$\begin{aligned} Q_{\cos} &\simeq 2\pi \frac{qN_0}{\omega T} e^{\frac{\Delta k_0}{\omega T}} I_0\left(\frac{\Delta k_0}{\Delta T}\right) \simeq \\ &\simeq \left(\frac{\pi}{2}\right)^{3/2} \frac{2qN_3}{\Delta k_0 \omega T} e^{\frac{2}{2} \frac{\Delta k_0}{\omega T}}, \end{aligned} \quad (19)$$

其中  $I_0\left(\frac{\Delta k_0}{\omega T}\right)$ ——零級虛变数貝塞尔函数.

利用得出的关系式我們来闡明閃發反应堆釋热稳定的条件. 用  $k$  表示这次中子閃發时所釋热的热量与这以前在時間  $\bar{T}_3$  內中子閃發时的平均釋热量之比. 从式(17)、(19)、(5)及(6)的比較中可得

$$K = \nu \beta \theta \frac{T}{T_p} f(\Delta k_0, \omega T), \quad (20)$$

其中  $\theta$ ——中子被鈾原子核俘获的几率, 而  $f(\Delta k_0, \omega T)$ ——某个中子閃發参数的函数. 函数  $f(\Delta k_0, \omega T)$  的形式取决于中子閃發时反应性变化的規律. 当反应性按(9)及(10)变化时

$$f_{\text{直線}}(\Delta k_0, \omega T) \simeq 2 \left( \frac{\pi}{2} \right)^2 \frac{e^{\frac{\pi}{2} \frac{\Delta k_0}{\omega T}}}{\Delta k_0 \omega T}, \quad (21)$$

而按(18)变化时

$$f_{\cos}(\Delta k_0, \omega T) \simeq 2 \left( \frac{\pi}{2} \right)^{3/2} \frac{e^{\frac{2}{2} \frac{\Delta k_0}{\omega T}}}{\Delta k_0 \omega T}. \quad (22)$$

条件  $K = 1$  可以称为釋热稳定条件, 滿足此条件时, 中子閃發时的釋热(如果没有外界中子源)每次都不改变.

在所有实际上有兴趣的情况下,  $\Delta k_0 > 0.01$ ,  $\theta \lesssim 1$ ,  $\nu \lesssim 2$ ,  $\beta \simeq 0.008$ . 同时从式(20)–(22)我們得到, 当  $K = 1$ , 如果

$$\frac{T_p}{T_n} > 10,$$

条件(2)得到滿足. 从式(17)及(19)也可以得到中子閃发时释热的相对变化与表征中子閃发的其他参数的变化之間的联系:

$$\frac{\Delta Q}{Q} \simeq \frac{\Delta N_3}{N_3} + \alpha \frac{\Delta k_0}{\omega T} \left( \frac{\Delta(\Delta k_0)}{\Delta k_0} - \frac{\Delta(\omega T)}{\omega T} \right), \quad (23)$$

其中系数  $\alpha$  当利用式(17)及(19)时, 相应地等于  $\frac{\pi}{2}$  及 2.

从探討关系式(23)可見, 中子閃发时保持释热的稳定 ( $\frac{\Delta Q}{Q} = 0$ ) 是可能的, 如果  $\Delta K_0$  及  $\omega T$  变化不大, 并且滿足下列条件的話:

$$\frac{\Delta(\Delta k_0)}{\Delta k_0} = \frac{\Delta(\omega T)}{\omega T}. \quad (24)$$

作者感謝藏果夫 (Ю. Н. Занков) 及索柯洛夫 (А. К. Соколов) 对本文結果的討論.

#### 参 考 文 献

- [1] Т. Н. Зубарев: *Атомная энергия*, 5, вып. 6, 605 (1958).
- [2] Е. Янке, Ф. Эмде: *Таблицы функций*. М., Гостехиздат, 1948.

# 檢驗堆用石墨的比較法

日日隆 (И. Ф. Жежерун)

在以石墨为減速剂的慢中子反应堆中,石墨的純度具有很大的意义。本文将描述檢驗堆用石墨有用性的方法。这种方法的实质,在于比較热中子流在被測石墨及标准石墨中的衰減情况。如果已知标准石墨的  $L_0$  与  $\sigma_0$ , 这种方法可以測出石墨的扩散长度  $L$  和有效吸收截面。  $\sigma$  的測量誤差不超过 2.5%。由于方法的簡便,可以采用它在工厂条件下檢驗大量的石墨。

檢驗反应堆用石墨的有用性的方法,归根結底在于測定热中子的吸收截面  $\sigma$ 。如所周知,在最簡單的稳定扩散法里,  $\sigma$  值是按照热中子在石墨稜柱中扩散长度  $L$  的測量来确定的(稜柱法)。为此,必須要有中子源及中子探测器。作为探测器可采用鈾箔与測量  $\beta$  及  $\gamma$  放射性的設備,或者  $\text{BF}_3$  正比記数器与相应的仪器。为了保証測量  $L$  时有滿意的精确性,稜柱中的石墨应不少于 6—7 吨。

在基槽振子危險系数法或不稳定扩散法中,需要的石墨很少,但是仪器和設備比稜柱法中所需要的更复杂和貴重,并且为了使它工作起来,还需要較熟練的工作人員。

因此,稜柱法对于在工厂条件下大量檢驗石墨最为合宜。但是这个方法的缺点是它需要相当多的石墨,这就限制了按照質量来区别石墨的可能性,并且使得檢驗小部分石墨的工作变得很困难。下面将叙述避免了这种缺点的檢驗石墨的比較法。在苏联,这种方法早已被研究出来,并經少許修改之后就成功地应用在大量的生产条件下。

## 比較法的描述

**理論** 富尔索夫 (В. С. Фурсов) 首先在理論上研究的这种方法的实质在于把被試石墨与吸收截面  $\sigma_0$  已知的标准石墨进行比較。

假設在标准石墨作成的长矩形稜柱的軸綫  $O$  点上置放中子源,在  $N$  点上置放中子探测器。并且让中子源与中子探测器之間的距离这样长短:使得  $N$  点上被測量的热中子密度  $n_0$  能够以第一次諧波出現 (图 1)。用吸收截面待測的石墨替换稜柱的  $h$  段,并且同样地測量  $N$  点的热中子密度  $n$ 。从厚度为  $h$  的插入块边界上的密度和中子通量的平衡条件出发,可以得到下列公式:



图 1 比較法的測量图  
 $O$ ——中子源;  $N$ ——中子探测器;  $a$ ——稜柱的橫向几何尺寸。  
 标准石墨上画有細綫的部分,厚为  $h$ ,將用被試的石墨来代換。

$$\delta \equiv \frac{n}{n_0} = \frac{4 \frac{Rd}{R_0 d_0} l \frac{h}{R_0}}{\left(1 + \frac{Rd}{R_0 d_0}\right)^2 e^{\frac{h}{R}} - \left(1 - \frac{Rd}{R_0 d_0}\right)^2 e^{-\frac{h}{R}}}. \quad (1)$$

其中  $R_0$  和  $R$ ——标准石墨和待試石墨稜柱中热中子的弛豫长度,它由下述公式确定,

$$\frac{1}{R^2} = \frac{1}{L^2} + \pi^2 \left( \frac{1}{a^2_{\text{有效}}} + \frac{1}{b^2_{\text{有效}}} \right), \quad (2)$$

其中  $L = \sqrt{\frac{1}{3} \lambda \lambda_{\text{輸运}}}$  ——扩散长度;  $a_{\text{有效}} = a + 2 \times 0.71 \lambda_{\text{輸运}}$  及  $b_{\text{有效}} = b + 2 \times 0.71 \lambda_{\text{輸运}}$



——稜柱的有效横向尺寸;  $\lambda$ ——吸收长度;  $\lambda_{\text{輸运}}$ ——輸运长度;  $a$  和  $b$ ——稜柱的几何横向尺寸;  $d$  和  $d_0$ ——标准石墨和待試石墨的密度。

在实际上重要的情况中,  $\delta$  和  $d/d_0$  与 1 的差别不能大于  $\pm 10\%$ 。因此在测量  $\delta$  时誤差不超过 0.5—1.0% 的情况下, 公式(1)可以簡化成如下形式

$$\delta = e^{h \left( \frac{1}{R_0} - \frac{1}{R} \right)} \quad (3)$$

公式(2)和(3)对于  $\sigma$  及  $\sigma_0$  給出下列簡單的比值:

$$\frac{\sigma}{\sigma_0} = \frac{\left( \frac{1}{R_0} - \frac{\ln \delta}{h} \right)^2 - \pi^2 \left( \frac{1}{a^2 \text{有效}} + \frac{1}{b^2 \text{有效}} \right) \left( \frac{d_0}{d} \right)^2}{\frac{1}{R_0^2} - \pi^2 \left( \frac{1}{a^2 \text{有效}} + \frac{1}{b^2 \text{有效}} \right)} \quad (4)$$

这种檢驗方法的灵敏度由下式确定:

$$\Delta \left( \frac{\sigma}{\sigma_0} \right) \approx \frac{\frac{2}{R_0} \left( \frac{d_0}{d} \right)^2}{\frac{1}{R_0^2} - \pi^2 \left( \frac{1}{a^2 \text{有效}} + \frac{1}{b^2 \text{有效}} \right)} \frac{\Delta \delta}{h} \quad (5)$$

当稜柱的尺寸如图 2 所示的那样时,  $\sigma$  与标准样品的  $\sigma_0$  的差别 3—4% (0.1 毫靶) 会使  $\delta$  变化 1%。

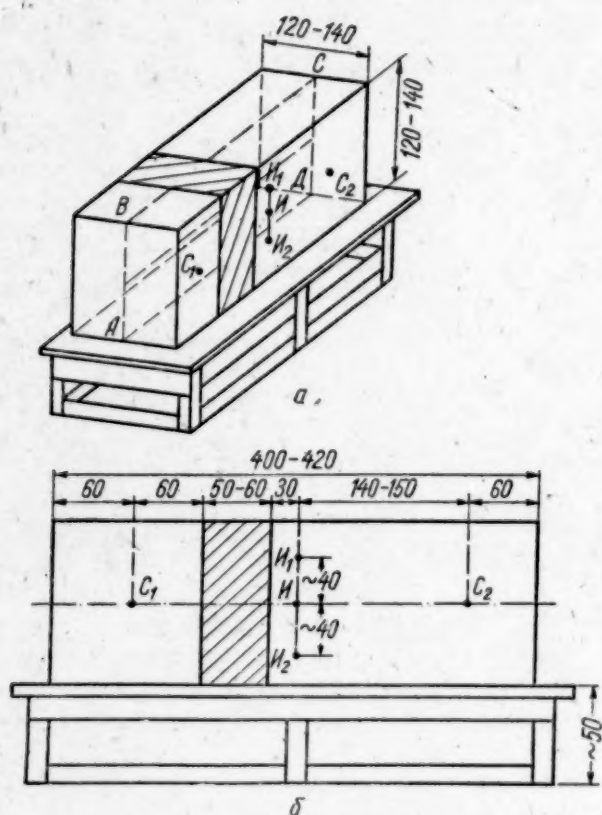


图 2 为了用比較法檢驗石墨而采用的标准稜柱

$a$ ——外形;  $b$ ——沿  $ABC$  的截面

待試石墨插入块的厚度  $h$  应不小于  $L$ 。当插入块的重量增加超过 1.5 吨时, 就使得石墨的区分变得困难起来, 因而不合宜的。

在穿过稜柱中心的平面上, 将中子探测器与稜柱軸相互垂直的置放。用 1—3 个  $\text{BF}_3$  正比

**方法的实际实施** 为了使檢驗石墨的比較法在大量生产的条件下很方便, 并且在利用簡化公式(4)时給出足够精确的實驗数据, 就必须向标准石墨、測量几何、中子源和中子探测器提出一系列的要求。我們將简单地談談这些要求。

标准石墨的密度和吸收截面应大致等于待試石墨的密度和吸收截面的平均值。在满足这个条件的情况下,  $\delta$  和  $d_0/d$  与 1 的相差将是最小的, 并且由近似公式及精确公式得出的結果也将无甚差別。

标准石墨的有效吸收截面应当精确地加以測定(例如用稜柱方法), 同时应注意石墨不均匀的可能性。

在測量了标准石墨的  $\sigma_0$  之后, 为了使工作的方便, 把橫臥的矩形稜柱放在不高的坚实桌子上, 并用厚度为 0.5—1 毫米的鋅片包起来。實驗工作表明, 在使用  $\text{Ra}-\alpha-\text{Be}$  中子源时, 图 2 所示的測量几何十分方便。为了建立这样的稜柱, 需要大約 10—12 吨的标准石墨。在稜柱上画着細綫的部分置放大約 1.5 吨的待試石墨。

計數器(在  $N, N_1, N_2$  三点)平行地与  $\Pi A$  型儀器相連, 来作为中子探測器。中子源依次地置放在  $C_1$  和  $C_2$  点上。对应源放在  $C_1$  及  $C_2$  点上的脉冲計數率  $I_1$  和  $I_2$  的比例显然就給出公式中的中子密度的比值  $\delta \equiv \frac{n}{n_0} = \frac{I_1}{I_2}$ 。

中子源与待試石墨插入块之間的距离应保証实际上把中子慢化成为热中子。从插入块边缘到探測器之間的距离应与  $L$  相差无几, 以便中子源在  $C_2$  点时, 待試石墨不致影响計數率  $I_2$ 。但是, 实验檢驗表明这个距离可以减少到 30 厘米。这就增加了对于被沾污的石墨进行檢驗的灵敏性, 并允許采取强度較小的中子源。

源与稜柱端面的距离以及稜柱的橫向尺寸应当这样来选择, 使得从中子源稜柱路出的中子被減速到鎳的吸收边缘以下。当这种条件不被滿足时, 中子散射本底将使測量条件恶化。

虽然我們依次在稜柱的  $C_1$  和  $C_2$  上, 按照  $I_1 \rightarrow I_2 \rightarrow I_2 \rightarrow I_1 \cdots$  的順序測量  $I_1, I_2$  的数值, 就可以消除放大系数單調漂移給比值  $\delta$  带来的影响, 但是, 用以測量中子計數的电子学儀器的放大系数应当稳定不变, 則仍然是中子探測器的基本要求。分辨本底高(小的“死”時間)的要求倒并不重要, 因为, 比例  $\delta = \frac{I_1}{I_2}$  接近于 1, 計數的修正可以互相消掉。

**方法的精确度和生产率** 采用上述的中子源和中子探測器以及图 2 所示的标准稜柱的尺寸, 很容易以 0.2—0.3% 的精确度測出  $\delta$  值, 也就是以 0.6—1.0% 的精确度測出  $\sigma$  (不考虑由于标准石墨的  $\sigma_0$  的測量誤差而带来的系統誤差)。

但是考虑到石墨的不均匀性、插入块左方边缘上中子流里高次諧波的少量貢獻以及利用簡化公式(4)的修正, 使  $\sigma$  值的測量精确度限制在 2—2.5%。因此,  $\delta$  的測量精确度为 0.5% 时就足够了。

方法的生产率依賴于源的强度和中子探測器的数量及效率。当采用 300—500 毫居里的  $Ra-\alpha-Be$  中子源、容积为 300—400 厘米<sup>3</sup> 充以 500—600 毫米汞高的  $BF_3$  正比計數器时, 以不超过  $\pm 2.5\%$  的誤差測量一个插入块(約 1.5 吨石墨), 需要 20—30 分钟。

采用更有效的探測器或者增加探測器的数量, 可以減低檢驗一块石墨所須的时间以及中子源所必須的强度。特别是, 采用 2—3 个或更多的探測器在通过稜柱中心的平面上与其軸互相垂直地置放时, 还有这样一个优点, 即增加了对于插入块边缘区域上石墨沾污的灵敏度, 而当在  $N$  点采用一个計數器的时候, 这些区域对于  $\delta$  的数值很少有影响。尤其是被試石墨的密度和純度不均匀的情况下, 采用几个探測器将尤为合理。同时将灵敏度不同的探測器置放在  $N, N_1, N_2$  上, 能够使得插入块上任何地方的沾污給予  $\delta$  数值以大致相同的影响。在比較上述的比較法及稜鏡指数法的測量結果时, 也应当注意到石墨的可能的不均匀性。我們对于几部分石墨进行过这种檢驗, 而  $\sigma$  的測量結果在实验誤差以內是相同的。

#### 方法的优点和缺点

檢驗石墨的比較法有下列优点: 1) 計算公式簡單, 同时, 使用的儀器也不需要高度熟練的工作人員; 2) 滿足大量生产要求的巨大生产率; 3) 被檢驗的石墨重量不大(1.5 吨), 这就使得能够按照質量来区分石墨, 把废品降低到最低度。最后面的这一个优点对于掌握低灰份堆用石墨的生产工艺来講特別重要。同时所得到的石墨按質量有显著不同, 它不仅与原料有关, 而且与它在石墨化过程中在石墨化炉內的位置有关, 按質量来区分石墨給出它在核反应堆內合理配置的可能性。

图 3 列出了用比較法对苏联第一个原子反应堆数千吨石墨的檢驗結果。所有被檢驗的石



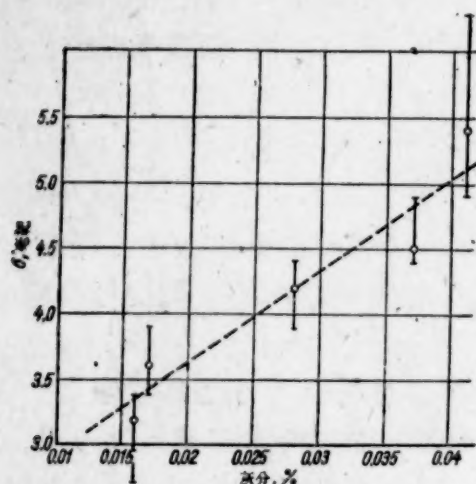


图3 用比较法检验石墨的数据分析

墨按照由公式(4)求出的 $\sigma$ 值的增加区分为五类,并测定了每类的平均 $\bar{\sigma}$ 及灰份 $\bar{q}$ (石墨样货烧尽后残留的重量与石墨样货重量的比例的百分数)。图上的点子相应于这些平均值,而且吸收截面大致地和灰份成正比。 $\sigma$ 的平均范围用点上的垂直线来表示。由于标准石墨的 $\sigma_0$ 和 $\lambda$ 输运同时具有误差,使 $\sigma$ 的绝对值降低了15—20%。随着工艺的完善,石墨的质量得到提高,即灰份和吸收截面得以减低。在边长为6米的石墨立方体中,测量了扩散长度。立方体是用为第一个原子反应堆制备的一些中等质量的石墨垒砌而成的, $L$ 值等于 $50 \pm 1$ 厘米(石墨密度为1.65克/厘米<sup>3</sup>)。

应当注意到,按照公式(4)计算出来的 $\sigma$ 的值不仅与石墨的杂质,而且还与其显微结构有关。因为,散射截面 $\sigma_s$ 和输运截面 $\sigma_t$ ,依赖于晶粒的大小和取向。但是对于几十个石墨部分 $\sigma_s$ 的测量在实验误差范围内给出相合的结果,这说明这些部分的显微结构并无不同。

当必须检验显微结构显著不同的石墨时,可以采用相应的扩散长度的公式,以及附加的输运长度的测量来代替公式(4),以消除已指出的缺点。

在工厂条件下使用这种方法的不便之处,在于必须使被试的石墨及标准石墨保持大致相同的温度,并在检验石墨的房间内保持固定的大气条件(特别是湿度)。由于从空气中吸收水蒸汽而引起石墨的变湿,能够引起标准石墨的 $\sigma_0$ 的显著增加。因此对于标准石墨的 $\sigma_0$ 值作定期的检查是必要的。

### 参 考 文 献

- [1] G. von Dardel. Trans. Roy. Inst. Technol., No. 75 (1954).
- [2] А. Антонов, А. Исаков, И. Мурин, Б. Неупокоев, И. Франк, Ф. Шапиров, И. Штрах: Материалы Международной конференции по мирному использованию атомной энергии (Женева, 1955), т. 5. М., Изд-во АН СССР, 1958, стр. 11.
- [3] A. Ertand, V. Raievski, D. Breton: *J. Phys. et radium*, 12, 784 (1951).
- [4] В. С. Фурсов: Сессия АН СССР по мирному использованию атомной энергии (пленарные заседания). М., Изд-во АН СССР, 1955, стр. 15.



# 裂变核共振能级的性质

(綜 評)

基尔波奇尼科夫 (И. В. Кирпичников)

苏哈鲁奇金 (С. И. Сухоручкин)

反应堆計算和設計要求在很大能量范围内知道中子与各种物质相互作用的截面。根据近代的概念,中子与原子核相互作用(輻射俘获、裂变、散射)的过程中要形成复合核,并显示出明显的共振特征;某些特定能量的中子会使相互作用剧烈地增长。由于共振能级的位置和量在理論上都还不能預言,因此,直接測量某些截面是我們得到所需要的知識的唯一来源。

本文是一篇綜合性文章,总结了第一次和第二次和平利用原子能會議期間(日内瓦; 1955 年和 1958 年)有关裂变核共振性质方面的一些研究工作。在現有数据的基础上討論了各种描写中  $\alpha$  与裂变核相互作用的方法。目前虽然实验数据还没有得到充分的闡明和統一,然而已經可以由此看出裂变过程的某些具有特征的方面。文章并簡短地敘述了某些較完善的、用于測量共振能级参量的实验方法,討論了所得到的一些結果。

## 引 言

世界各国的科学組織目前都在大力地研究共振中子与裂变核的相互作用。这项研究工作之所以重要,在很大程度上是由于建造中能中子堆和快中子堆的需要。在設計这些反应堆的时候,知道几十个千电子伏以下的中子截面数值是很重要的。这类反应堆中子能譜的主要部分是在共振区域,因此,反应堆的一些参量例如:临界体积、反应性儲备及温度系数等主要取决于共振性质。共振区域中子截面的数值在設計热中子堆时也是必需的。

此外,将集体模型用于裂变核时,也促进了一系列实验的建立,用以檢驗象能级間的干涉、裂变碎片质量产額与复核自旋的关系等这样一些效应的存在。

在两次和平利用原子能會議期間,由于測量方法大大改善,使得我們可以在低能中子区域更詳尽地研究裂变和俘获截面的情况,測定大量能级的参量,以及获得若干理論問題的答案。

下面我們试图把近几年来获得的有关中子与裂变核在共振区域相互作用的一些数据进行分类。过去曾在綜述性文献<sup>[3,4]</sup>中詳細討論过的一些問題(核的非球面性影响,能级的排斥等),我們在本文中便不再討論了。

## 布莱特-魏格納公式的适用范围. 广义公式

半透明核模型<sup>[5]</sup>是近代用来描写中子与核相互作用的最好的形式。假設,中子与核的相互作用分为两个阶段进行<sup>[6]</sup>,起初中子与整个原子核互相作用(用考虑了中子俘获的复势来描写这种相互作用),然后再与单个核子或核子羣相互作用。这时,仅仅只在某些情况下,才在过程的最終形成复核,即在这种核中被俘获的中子能量分布在整個核体积中。在其它情况下,激发系統的集体能级和单个能级(按照文献<sup>[6]</sup>的术语)。

关于中子与原子核相互作用第一阶段中的一些問題(势散射、核表面的透明性等),在文献<sup>[3,4]</sup>中已經詳細地研究过了。本文我們只准备討論形成复核系統的那些核反应。

文献[5—10]所发展的核反应共振理论由最少量的假定出发,描述了大量的共同特性;然而实际地应用这个理论还需要用到大量未确定,参量的不同近似形式。

正如对银<sup>[12]</sup>和金<sup>[13]</sup>具有很高的精确度那样,单能级的布莱特—魏格纳公式能够十分完善地描写非裂交核的慢中子辐射俘获截面。然而后来又发现:裂变截面具有明显的共振特性,这种共振特性也能够用同一形式的布莱特—魏格纳公式来描写,例如:

$$\sigma_a = \sigma_{nf} + \sigma_{nr}; \sigma_{nf} = 4\pi\lambda^2 \frac{g\Gamma_n\Gamma_f}{4(E - E_0)^2 + \Gamma^2};$$

$$\sigma_{nr} = 4\pi\lambda^2 \frac{g\Gamma_n\Gamma_r}{4(E - E_0)^2 + \Gamma^2}. \quad (1)$$

其中 $\sigma_a$ 是吸收截面; $\sigma_{nf}$ 是裂变截面; $\sigma_{nr}$ 是辐射俘获截面; $\lambda$ 为入射中子波长除以 $2\pi$ ;  $g$ 是统计因子,对于慢中子为 $\frac{1}{2}\left(1 \pm \frac{1}{2I+1}\right)$ ;而 $I$ 为靶核的自旋; $E$ 为中子的能量; $E_0$ 为共振能级的能量; $\Gamma_n, \Gamma_f, \Gamma$ 分别为中子的能级分宽度和全宽度。

在处理实验数据时,广泛地利用各种不同方法来确定共振参量,这些方法都基于应用上述的布莱特—魏格纳公式<sup>[14—16]</sup>;现代大部分熟知的裂变同位素的能级参量正是用这种方法确定的。

然而,当测量的精确度提高以后就发现:裂变物质同位素的截面不能够用公式(1)来描写,因为某些共振具有明显的非对称形式。赛勒(сейлор)在研究 $U^{235}$ 截面的文献中<sup>[17]</sup>指出了这一点。他并由此得出需要研究能级间相互干涉的结论。文献<sup>[18,19]</sup>的作者也作出了类似的结论。图1是中子在能量为10.95与11.90电子伏的共振区域对 $Pu^{239}$ 样品的穿透率曲线;这里还引入了根据布莱特—魏格纳公式对该样品的中子穿透率的计算结果,能级参量取自文献<sup>[19]</sup>。从下图可以看出,两个共振能级之间截面的测量值与理论计算值相差很大。同样也可以用存在着尚未分辨出的共振峰来解释上述共振峰形状与布莱特—魏格纳公式的偏离。尽管在某些情况下这些能级也许实际上真正存在着,但类似的假设看起来总好象是人为的。

只有在反应道数目较少的时候能级间的干涉才起重要的作用;文献<sup>[1]</sup>指出:慢中子引起的核反应正好就是这种情况。根据对共振宽度分布的研究同样也可以得出慢中子引起的核的裂变反应只能通过较少反应道实现的结论。波特尔(Porter)和托马斯(Thomas)<sup>[20]</sup>曾导出各种

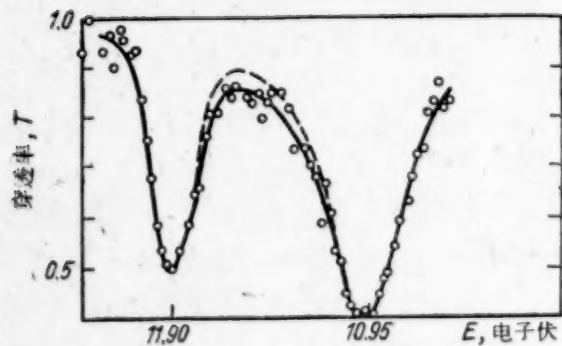


图1  $Pu^{239}$  样品在能量为10—30电子伏的区间对中子的穿透率曲线。虚线是按布莱特—魏格纳公式计算的

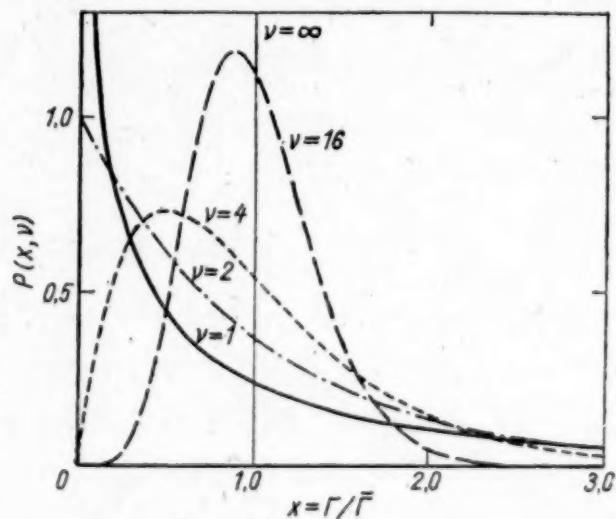


图2 共振能级宽度分布与反应道自由度数目 $\nu$ 的关系



反应的能级宽度的分布与反应的自由度间的关系式(图2)。根据这些关系式可以得出一个结论:核裂变只通过一二个反应道。由于干涉效应的存在,在描写裂变核截面时就要求应用多共振能级公式。借助于散射矩阵可以获得最普遍的反应截面表达式。散射矩阵的表达式如下<sup>[21]</sup>:

$$S_{\lambda\mu} = \exp[-i(k_\lambda + k_\mu)R]R'_{\lambda\mu},$$

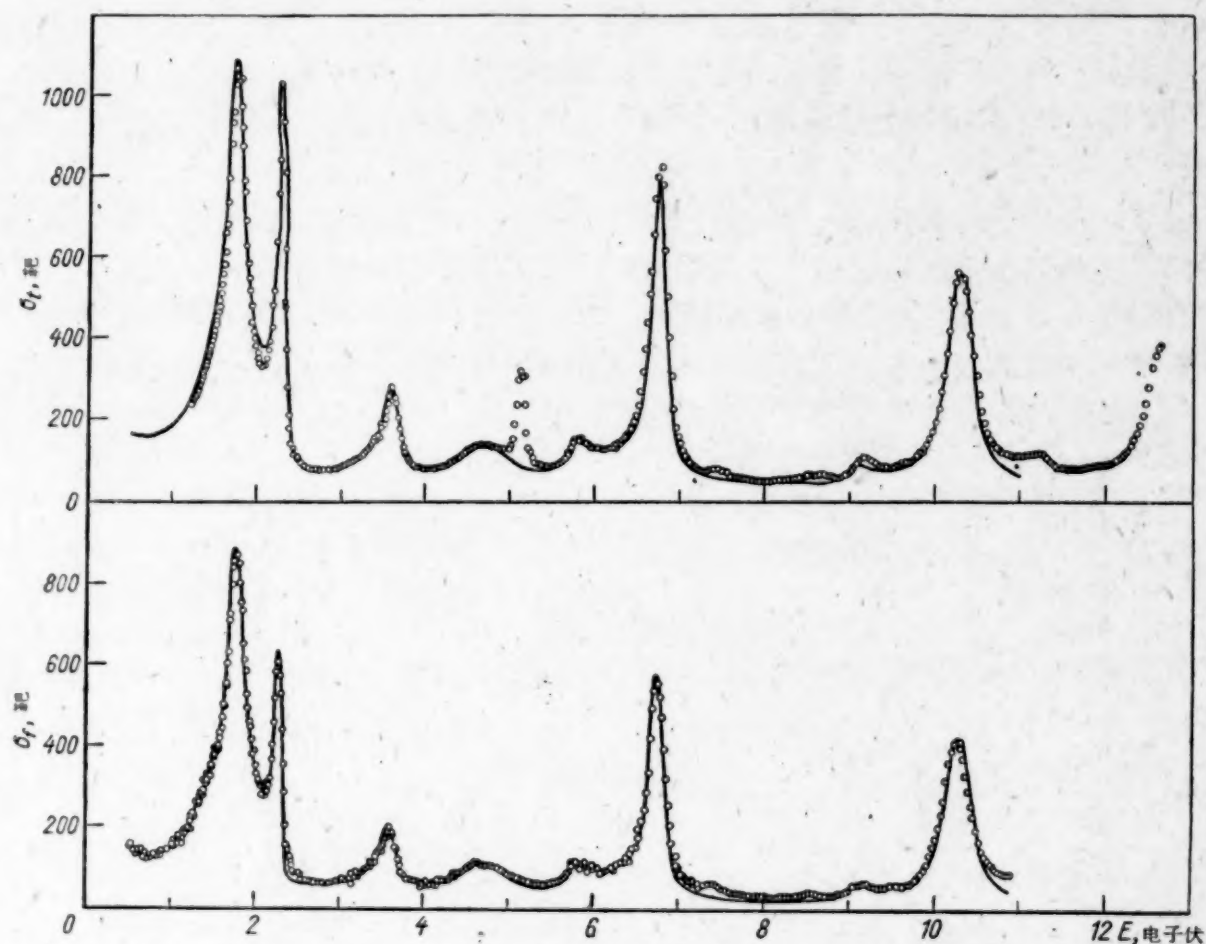


图3  $U^{233}$  的全截面及裂变截面  
实线是根据广义公式计算得到的

其中  $S'_{\lambda\mu} = \frac{1 + iR'_{\lambda\mu}}{1 - iR'_{\lambda\mu}}$  (矩阵  $R'_{\lambda\mu}$  与导数矩阵  $R_{\lambda\mu}$  的关系为:  $R'_{\lambda\mu} = (k_\lambda k_\mu)^{1/2} R_{\lambda\mu}$ ) 导数矩阵又可以写成:

$$R_{\lambda\mu} = \sum_s \frac{\gamma_{s\lambda} \gamma_{s\mu}}{E_s - E}.$$

在这些公式中引用了下面一些符号:  $R$ ——核半径(在反应道中);  $\lambda, \mu$ ——反应道标号;  $K_\lambda, K_\mu$ ——中子能量  $E$  的反应道波数;  $S$ ——共振能级的标号;  $\gamma_{s\lambda}, \gamma_{s\mu}$ ——与能级分宽度有关的量,其关系为:  $\Gamma'_\lambda = 2K_\lambda \gamma_{s\lambda}^2$ 。

对于能级相距较远的情况 ( $\bar{\Gamma}/D \ll 1$ , 其中  $D$  为能级间距), 文献<sup>[5]</sup> 导出了考虑到能级相互干涉的公式。将矩阵  $R'_{\lambda\mu}$  分为两部分

$$R'_{\lambda\mu} = \frac{\beta_{s\lambda} \beta_{s\mu}}{E_s - E} + \gamma_{\lambda\mu}^{(1)} \text{ 及 } \gamma_{\lambda\mu} = \sum_{t \neq s} \frac{\beta_{t\lambda} \beta_{t\mu}}{E_t - E},$$

1)  $\gamma_{\lambda\mu}$  疑为  $\gamma_{\lambda\mu}^{(1)}$  之误印——校者注。



其中  $\beta_{s\lambda} = (K_\lambda)^{1/2} y_{s\lambda} = \left(\frac{\Gamma_{s\lambda}}{2}\right)^{1/2}$ , 然后作者再将矩阵  $S'_{\lambda\mu}$  按  $\gamma_{\lambda\mu}$  的幂展开 ( $\gamma_{\lambda\mu}$  与  $\bar{\Gamma}/D$  的值同数量级), 只取展开式的前三项, 曾得到反应截面  $\sigma_{\lambda\mu}$  的如下表达式:

$$\sigma_{\lambda\mu} = \pi k^2 \left| \sum_s \frac{\beta_{s\lambda} \beta_{s\mu}}{E_s - E + i \frac{\Gamma_s}{2}} \right|^2 \quad (2)$$

(当  $\gamma_{\lambda\mu} = 0$  时, 我们便得到一般的布莱特-魏格纳公式)。但这种形式的公式在能级宽度与能级间距数量级相同的区域内不能准确地描述截面随能量变化的关系。由于对于裂变同位素来说, 不等式  $\bar{\Gamma}/D \ll 1$  只是很近似地满足, 而能级往往互相重叠, 因而公式(2)的适用范围是很有限的。

赖克(C. Reich)及穆尔(M. Moore)<sup>[22]</sup> 曾推导出一个广义公式, 不需要假设  $\Gamma/D$  很小, 而且还考虑了很多共振能级的干涉。在推导这个公式的时候, 他们由以下几个假定出发: a) 仅仅只存在着一个散射道, 因为在能量共振区只有轨道角  $l=0$  的中子与核有强烈的相互作用; b) 辐射俘获是通过大量反应道进行的; c) 裂变反应只通过一个道实现; 能级完全相互干涉。

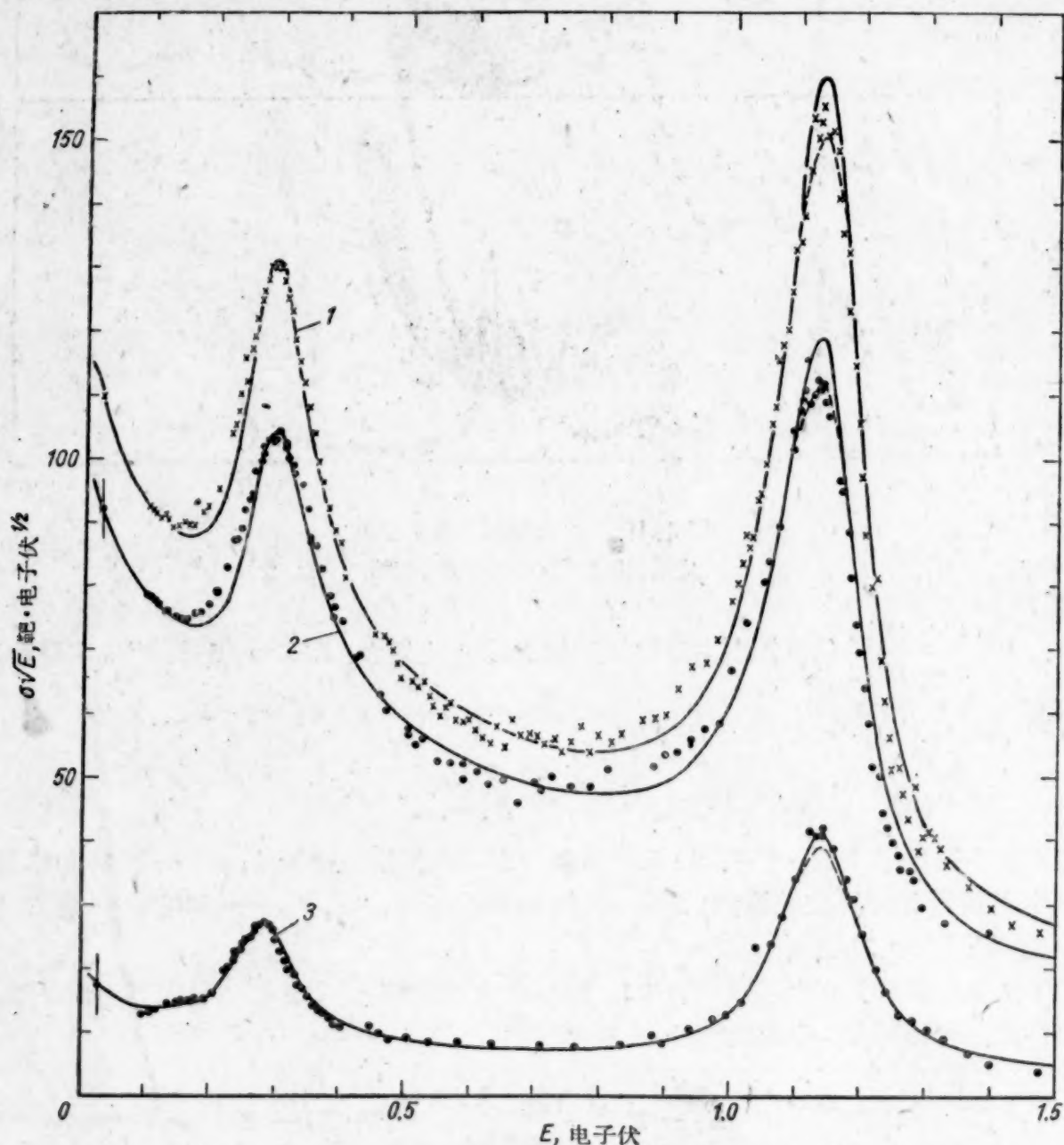


图4  $U^{235}$  的吸收截面(1), 裂变截面(2)及辐射俘获截面(3)  
实线是根据广义公式计算得到的

下面引入文献<sup>[22]</sup>所得到的裂变截面的表达式:

$$\sigma_{nf} = 4\pi k^2 g \left| \frac{\sum_s \frac{\beta_{sn}\beta_{sf}}{E - E_s - \frac{1}{2}i\Gamma_{sf}}}{\left(1 - i \sum_s \frac{\beta_{sn}^2}{E_s - E - \frac{1}{2}i\Gamma_{sf}}\right) \left(1 - i \sum_s \frac{\beta_{sf}^2}{E_s - E - \frac{1}{2}i\Gamma_{sf}}\right) + \left(\sum_s \frac{\beta_{sn}\beta_{sf}}{E_s - E - \frac{1}{2}i\Gamma_{sf}}\right)^2} \right|^2$$

也曾經得到了輻射俘获截面的表达式,外表上看起来与按布莱特-魏格納公式所計算的求和項不同,但用两种公式計算实际上得到彼此相符的結果。这一点是可以理解的,因为輻射俘获是通过数量較大的  $n$  个反应道(按文献<sup>[20]</sup>的估計,  $30 < n < 500$ )进行的,因而截面中的干涉項都互相抵消了。

图 3 引入了在能量为 1 到 11 电子伏区間内測量出的  $U_{233}$  的全截面和裂变截面,以及按照公式(3)用选择参量方法<sup>[23]</sup>計算出来的截面曲綫。由图可見,实验点和計算出的曲綫符合得很好。文献<sup>[24]</sup>引入了对于  $U^{235}$  类似的計算結果(初級中子能量由 0.1 到 10 电子伏),并且也与实验值定性地符合(图4)。广义公式不需要假設存在附加的尚未分辨出的能級,而能够得到实验曲綫和理論計算曲綫較精确的符合程度,但这个公式只限于在譜仪分辨率較好的区域才能应用,而且还涉及大量的計算工作。正如我們已經指出的,过去获得大部分能級参量所用的方法都是以孤立能級的布莱特-魏格納公式的正确性为依据的。把用广义公式所定出的某些强共振的参量<sup>[23,24]</sup>与最早期文献的一些結果<sup>[25,26]</sup>比較一下便发现,所引用的这些数值之間的差异沒有超出实验誤差范围(表 1)。

表 1 强共振能級参量的比較

$E_0$ , 电子伏	$2g\Gamma_n \cdot 10^6$ , 电子伏		$\Gamma_\gamma \cdot 10^3$ , 电子伏		$\Gamma_f \cdot 10^3$ , 电子伏	
	布莱特-魏格納公式	广义公式	布莱特-魏格納公式	广义公式	布莱特-魏格納公式	广义公式
$U^{233}$ [23,26]						
1.75	$340 \pm 30$	178	$48 \pm 13$	44	$260 \pm 30$	200
2.32	$120 \pm 10$	86	$38 \pm 8$	36	$60 \pm 15$	48
3.61	$50 \pm 10$	57	$43 \pm 9$	54	$155 \pm 35$	180
$U^{235}$ [24]						
0.282	4.49	5.16	27.9	32.2	71.8	82.5
1.138	12.9	14.3	41.9	42	92.1	106
3.599	24.3	24.3	37	37	45	45

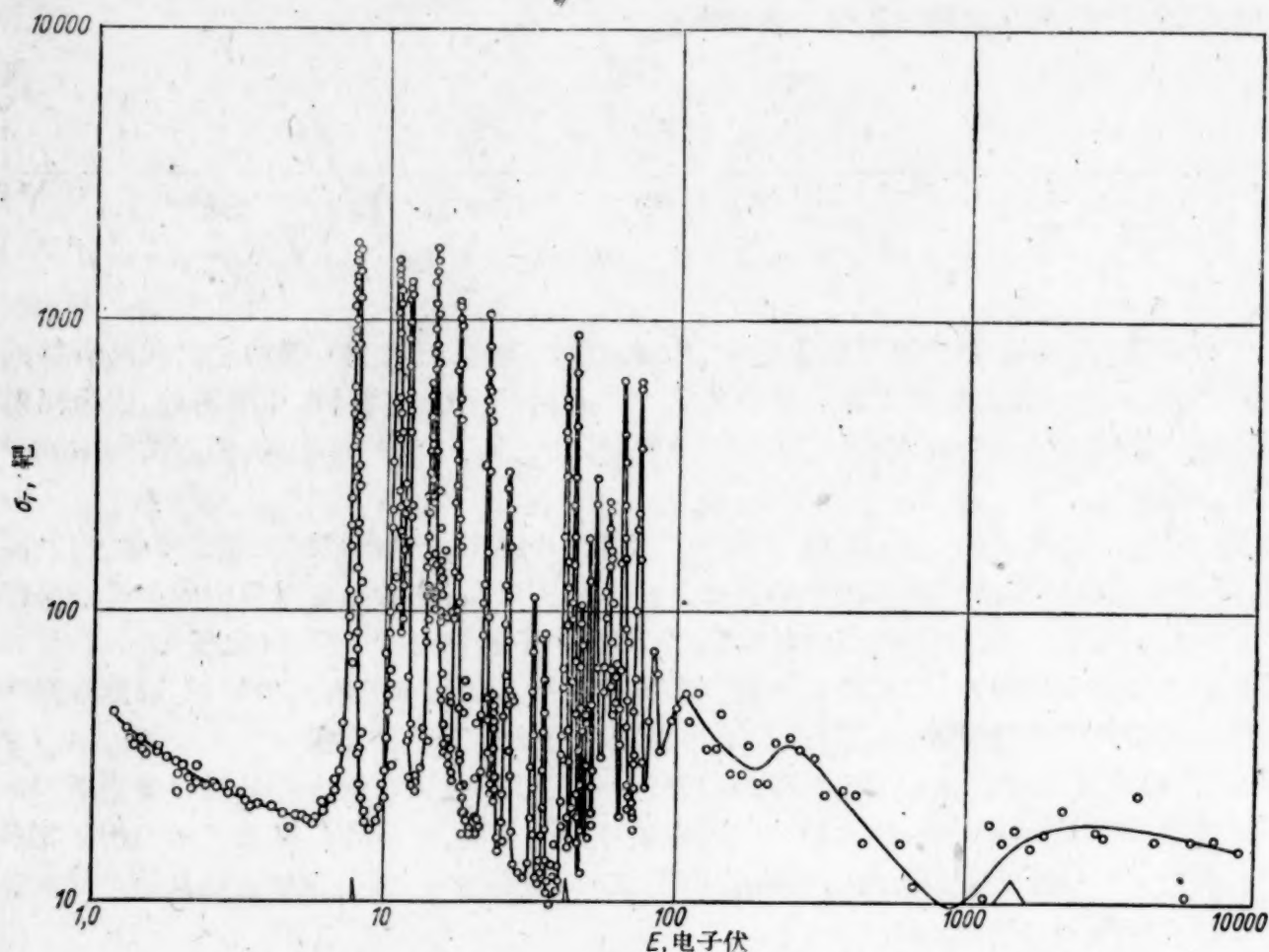
### 相互作用截面

文献<sup>[27]</sup>中引入了共振中子与裂变核相互作用截面的平均測量結果。作为一个例子,图 5 援引了在 1 电子伏到 10 仟电子伏区域内  $Pu^{239}$  的全截面与中子能量的关系。

近代中子选择器的分辨率直到能量的数量級为 30—40 电子伏的区域还可以将钚的共振能級分开。在能量較大时,能够分开的只是单个的共振組。 $U^{233}$  与  $U^{235}$  能級之間距离比  $Pu^{239}$  小(相应为 0.9; 0.63 与 2.9 电子伏<sup>[28,29]</sup>) 所以这两种同位素的共振能級还更不容易分辨。

直到能量数量級为 10 电子伏,利用多項式(3)能够精确描述截面的过程,但为了在中子能量較小时使得理論曲綫与实验值相符合,需要在截面中引进一个附加的非共振項( $U^{233}$  为 ~



图5  $\text{Pu}^{239}$  的全截面

$70/\sqrt{E}$ ,  $\text{Pu}^{239}$  及  $\text{U}^{235}$  为  $20/\sqrt{E}$ <sup>[30]</sup>). 这个附加项之所以必须引入, 是因为这三种同位素有着反常大的热中子截面。截面中存在着这种非共振项例如可以用或者是存在着“负”能级, 或者是存在着微弱重迭的能级来解释。

虽然没有理由可以否认在零能量附近存在着“负”能级的可能性, 然而, 在测定这些能级的参量时, 却得到比共振区域能级参量平均值大得多的数值。例如: 对  $\text{U}^{235}$  的共振能级, 在  $E_0 = -1.4$  电子伏, 当  $\bar{\Gamma}_n^0 \approx 0.18$  毫电子伏时, 我们得到  $2g\Gamma_n^0 = 3.056$  毫电子伏<sup>[24]</sup>, 而对  $\text{U}^{233}$  的截面分析得到  $E_0 = -5.115$  电子伏及  $2g\Gamma_n^0 = 6.48$  毫电子伏<sup>[27]</sup>, 当  $\bar{\Gamma}_n^0 \approx 0.10$  毫电子伏时 ( $\Gamma_n^0 = \Gamma_n/\sqrt{E}$  是折合中子宽度)。

存在着较宽的能级重迭的假设是与能级参量强烈地依赖于复核自旋态的假定有关的<sup>[1]</sup>。文献<sup>[23]</sup>将热中子和能量为 1.8 及 2.3 电子伏的共振中子引起的  $\text{U}^{233}$  裂变碎片产额曲线 (用放射

化学方法测量)。进行了比较共振中子裂变产额曲线极大值处与极小值处的碎片产额之比在测量误差范围内是符合的; 而热中子谱的产超比却稍有一些差异(表2), 这与共振项及非共振项自旋态不同的假定是不矛盾的。应该指出, 这些测量都是不够精确的。另一方面, 对  $\text{Pu}^{240}$   $E_0 = 41.5$  和  $52.6$  电子伏两个共振能级自旋态的测定又表明: 它们是不相同的<sup>[13]</sup>, 尽管这两个能级的裂变宽度差别并不大。

表2 共振中子及热中子分裂  $\text{U}^{233}$  时  
碎片产额的比较

中子能量, 电子伏	产 额 比	
	$\text{Mo}^{99}/\text{Ag}^{111}$	$\text{Mo}^{99}/\text{Cd}^{115}$
热中子谱	1	1
1.8	$1.14 \pm 0.02$	—
2.3	$1.05 \pm 0.04$	$1.09 \pm 0.11$

## 中子宽度

中子宽度  $\Gamma_n$ , 更精确些说应该是  $g\Gamma_n$ , 无论是裂变核或非裂变核都是用比较各种不同厚度的样品对中子的穿透率曲线面积的方法测量的. 由于在截面里存在着非共振项、能级间相互干涉及分辨率不够高时各个能级不容易分开等原因, 不同的作者所发表的结果之间的分歧远远超过了他们各人文献中所指出的标准误差. 然而, 尽管所有引用的各个数值都有很大分歧, 但还是可以很清楚地看到: 所有三种裂变同位素的中子宽度的变化范围都是非常大的.

从能级折合宽度的分布有可能得出关于反应道数目的结论<sup>[20]</sup>. 图 6, a 及 b 是文献<sup>[23, 31]</sup>中

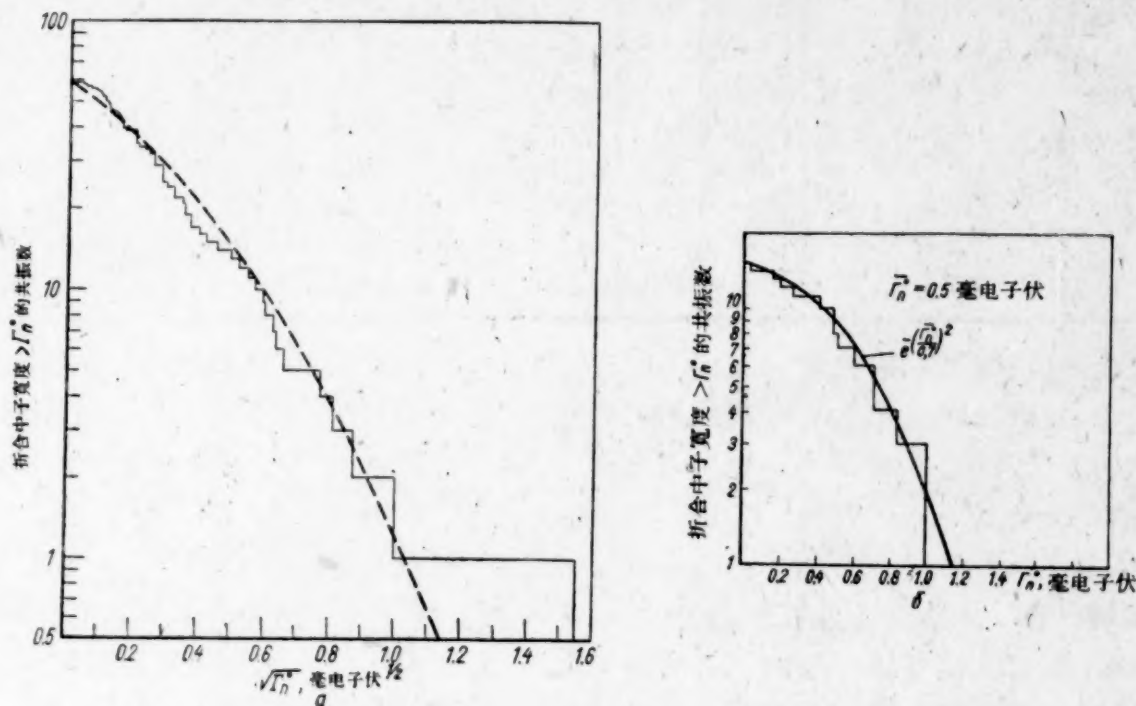


图 6  $U^{235}$  (a) 及  $Pu^{239}$  (b) 的折合中子宽度的积分分布

虚线—— $\nu = 1$  的波特-托马斯分布

发表的  $U^{235}$  及  $Pu^{239}$  的中子折合宽度的分布曲线以及对不同的反应自由度数目所计算出的分布曲线. 由图 6 a 及 b 可以看出, 实验曲线与  $\nu = 1$  的分布相符甚佳.

除了单个能级参量的测量之外, 还测定了  $\bar{\Gamma}_n^0/D$  的值. 最近对这个量测量所得到的数值是:  $U^{235}$  为  $(1.0 \pm 0.3) \cdot 10^{-4}$ <sup>[23]</sup>,  $U^{235}$  为  $(1.0 \pm 0.2) \cdot 10^{-4}$ <sup>[31]</sup>,  $Pu^{239}$  为  $(1.0 \pm 0.3) \cdot 10^{-4}$ <sup>[29]</sup>. 这个量可以按厚样品的穿透率对能量的曲线斜率求得. 这个方法可以避免由于弱能级穿透的可能性以及分辨率不好而造成的误差, 而在把单个能级的中子宽度与能级总数目平均时会产生这些误差.

应当指出: 由前面几十个能级所得到的  $U^{235}$  的  $\bar{\Gamma}_n^0/D$  差不多数量级上要比整个共振区域所得到的数值小<sup>[31]</sup>. 文献<sup>[33]</sup>指出: 这个能级组出现的统计几率小于 1%. 用存在着  $l \neq 0$  的共振<sup>[31]</sup>也还不能阐明反常小的  $\bar{\Gamma}_n^0/D$  值.

## 辐射宽度

辐射宽度  $\Gamma_\gamma$  可以由辐射俘获截面得到. 在分辨率足够高的中子能量区域, 也可以从全截面中减去裂变截面和散射截面而得到俘获截面. 然而, 由于非共振项振幅是未知的, 由于存在着干涉以及由于裂变截面归一化的不确定性<sup>1)</sup>等原因, 即使在这个区域, 所得到的总误差仍

1) 指裂变截面绝对测量值的误差——译者注.



表 3 共振能級的輻射寬度,毫电子伏

U <sup>233</sup>			U <sup>235</sup>								Pu <sup>239</sup>				
E <sub>0</sub> , 电子伏	文献的数据		E <sub>0</sub> , 电子伏	文献的数据								E <sub>0</sub> , 电子伏	文献的数据		
	[27]	[26]		[17]	[25]	[34]	[26]	[24]	[27]	[28]	[27]		[26]	[20]	
0.20	40±4	—	0.282	28.8±5	31±10	39±6	39±6	27.9	32±3	35±5	0.297	39±2	40±5	39±2	
1.47	—	—	1.138	30.8	15±15	35±8	35±8	41.9	42±4	54±7	7.84	38±3	40±9	40.6±3	
1.75	44±5	48±13	2.036	30.8±8	27±10	31±5	31±5	34.6	31±5	33±9	10.93	32±13	39±12	31.5±9	
2.32	36±4	38±8	3.17	—	30±15	—	—	—	—	57±23	11.90	41±5	42±12	40.9±5	
3.61	54±5	43±9	3.60	—	40±20	—	—	37	37±4	—	17.6	39±7	—	39.1±5	
4.70	—	—	4.847	—	—	25±9	25±9	25.5	25±9	—	22.2	35±6	41±15	34.6±4	
5.75	50±5	—	6.40	—	30±20	—	26±14	—	—	55±13	41.4	47±9	—	46.8±9	
6.79	50±5	—	7.10	—	30±20	—	—	—	—	40±16	44.5	40±10	—	40.4±10	
9.05	56±6	—	8.795	—	34±14	—	38±19	—	—	78±15	52.6	34±5	—	34.1±5	
10.33	60±6	—	11.65	—	—	—	35±16	—	35±16	67±21					
			12.40	—	—	—	39±16	—	39±16	—					
			19.4	—	—	—	45±24	—	45±24	55±14					

然还是很大的,很难用来解释实验数据.表3引入了U<sup>233</sup>, U<sup>235</sup>, Pu<sup>239</sup>三种同位素共振能級的輻射寬度数值,这些数据是由各个不同的作者所测量的.尽管測定的  $\Gamma_\gamma$  精确度非常低,我們仍然可以作出若干結論.对于同一种同位素而言,輻射寬度从一个能級到另一个能級的变化相当小,它們的数值如下:U<sup>235</sup> 为 (33±10) 毫电子伏<sup>[31]</sup>; U<sup>233</sup> 为 (42±8) 毫电子伏; Pu<sup>239</sup> 为 (40±8) 毫电子伏<sup>[27]</sup>.文献<sup>[20]</sup>指出:  $\Gamma_\gamma$  是一个常数乃是过程的多通性的結果.在計算这三个能級参量时,当  $\Gamma_\gamma$  的数值不能直接測量时,通常便把它当作一个常量.然而文献<sup>[32]</sup>指出:对于 Eu<sup>151</sup> 的能級輻射寬度可以观察到能級的分組化.这种现象应该认为是自旋态的影响.由表3也可以看出,例如 U<sup>235</sup>  $\Gamma_\gamma$  的涨落已經超过了所給的誤差,虽然并不大.

如果复核两种可能的自旋状态的統計因子  $g$  差別很大,例如 Pu<sup>239</sup> ( $J=0$  时  $g=0$ ,  $J=1$  时  $g=3/4$ , 其中  $J$  为复核的自旋) 的情况就是这样,那么相对常量  $\Gamma_\gamma$  便可以用来确定复核的自旋态.对于几十个电子伏能量区域的共振,其中子寬度值非常大,这样做是非常容易的.測量  $\sigma_0$ ,  $\lambda_0$ ,  $\Gamma$  及  $\Gamma_n/\Gamma$  后,由关系式  $\Gamma = \Gamma_n + \Gamma_\gamma + \Gamma_f$  及  $\sigma_0\Gamma = 4\pi\lambda_0^2\Gamma_n$  便可以得出两个  $\Gamma_\gamma$  值.由于对同一种同位素的所有能級都要求同样的  $\Gamma_\gamma$ ,我們便可以由这两个  $g$  值中挑选一个可能的  $g$ ,也就是說挑选一个合适的自旋  $J$ .用这种方法測到的 Pu<sup>239</sup>  $E_0$  为 41.5 及 52.6 电子伏两个能級的自旋为  $J=0$  及  $J=1$ <sup>[18]</sup> (表4).

### 裂 变 寬 度

利用关系式  $\Gamma_f/\Gamma \simeq \sigma_0\Gamma/\sigma_0\Gamma \simeq \int \sigma_f dE / \int \sigma_a dE$ , (按所有能級进行积分) 測量裂变截面及吸收截面便可以求出能級的裂变寬度  $\Gamma_f$ .最近已經成功地应用了气体閃爍計数器来測量裂变截面<sup>[35,36]</sup>.图7引入了这种計数器的結構<sup>[29]</sup>.用光电倍增管記錄裂变碎片在惰性气体,例如,氦气或氩气中引起的发光現象.由于发光時間短(对于  $A+N_2$  的混合气体,  $\tau \simeq 2 \cdot 10^{-8}$  秒),在这种裂变室里可以放进足够大量的裂变物質而不使  $\alpha$  粒子的本底增加.

另一个測定  $\Gamma_f$  的方法是基于假設同位素所有的能級  $\Gamma_\gamma$  都是常数.上面已經說过, U<sup>235</sup> 的  $\Gamma_\gamma$  平均值为 33±10 毫电子伏, U<sup>233</sup> 为 42±8 毫电子伏,而 Pu<sup>238</sup> 为 40±8 毫电子伏,因为在大多数情况下,能級全寬度的測量精确度也很不高,因而使用这种方法求出的  $\Gamma_f$  誤差也相当大.

还有一种測定  $\Gamma_f$  的方法,这种方法是基于利用  $\Gamma_\gamma$  及一次裂变放出的中子数  $\nu$  这两个常

表 4  $\text{Pu}^{239}$  共振能级的辐射宽度与复合核的自旋关系

$E_0$ , 电子伏	$\Gamma_r$ , 毫电子伏	
	$g = \frac{1}{4}$	$g = \frac{3}{4}$
0.30	$40 \pm 3$	$40 \pm 3$
7.83	$39 \pm 4$	$41 \pm 4$
10.93	$28 \pm 8$	$32 \pm 10$
11.90	$39 \pm 5$	$41 \pm 5$
17.6	$37 \pm 5$	$40 \pm 5$
22.2	$34 \pm 5$	$37 \pm 5$
41.5	$46 \pm 9$	$62 \pm 9$
44.5	$30 \pm 10$	$42 \pm 10$
52.6	$18 \pm 5$	$38 \pm 4$

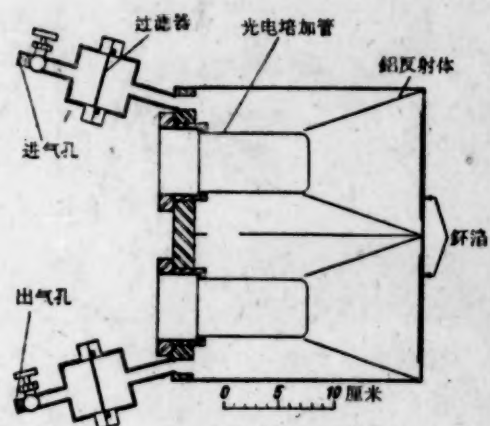


图 7 气体闪烁计数器

数。这种方法包括测量当能量相应于共振平均值时的有效中子数  $\nu_{\text{eff}}$ ，并利用关系式：

$$\Gamma_f = \frac{\nu_{\text{eff}} \Gamma_r}{\nu - \nu_{\text{eff}}}$$

这个方法是在文献<sup>[37]</sup>中最先用的。在文献<sup>[18,29]</sup>中，曾用与此相接近的方法测定了  $\text{Pu}^{239}$  的裂变宽度。在这种方法中，除了  $\Gamma_r$  值可能产生的涨落之外，在选择  $\nu_{\text{eff}}$  值时还有某些任意性。

图 8 根据文献<sup>[29,31]</sup>的数据引入了裂变宽度的积分分布。图上还与波特尔-托马斯分布作了比较，由这个比较可以看出：裂变反应只通过为数不多的道（可能只有一二个道）。反应道数的下限可以用  $2\pi\bar{\Gamma}/D$  的值来估计<sup>[2]</sup>。按照这种方法估计出的  $\text{U}^{235}$  的  $\nu \geq 1.2$ ，指出下面这一点是很重要的：在文献<sup>[4]</sup>中，对  $\text{U}^{235}$  观察到由许多共振平均得到的  $\sigma_0 \sqrt{E}$  值周期地随能量变化的关系（图 9）<sup>[31]</sup>。这表明在较宽的区域中  $\Gamma_f$  与  $D$  之间存在着关联现象，这种关联的原因目前还不清楚。

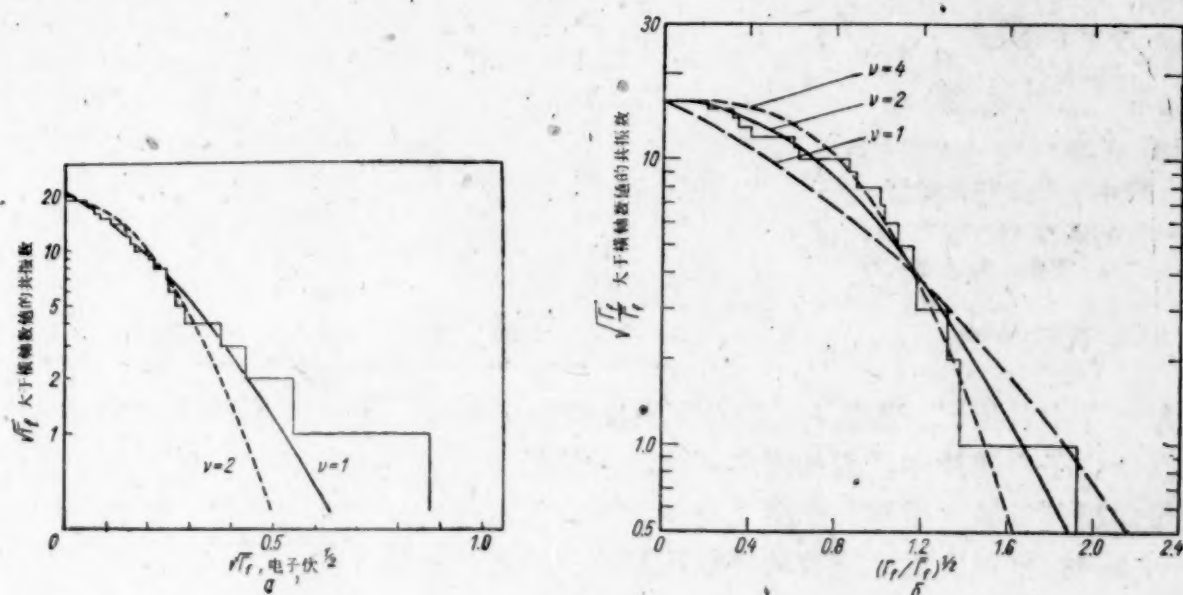
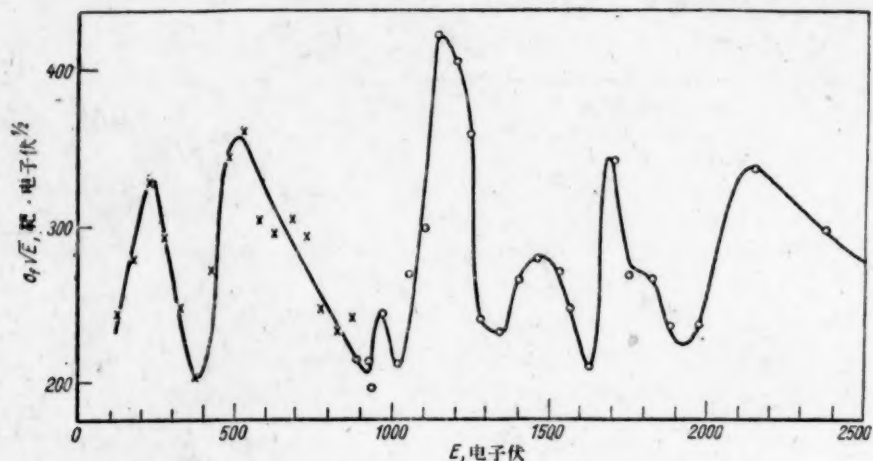


图 8  $\text{Pu}^{239}$  (a) 及  $\text{U}^{235}$  (b) 裂变宽度的积分分布  
图中引入了  $\nu = 1$ ,  $\nu = 2$  及  $\nu = 4$  的波特尔-托马斯分布



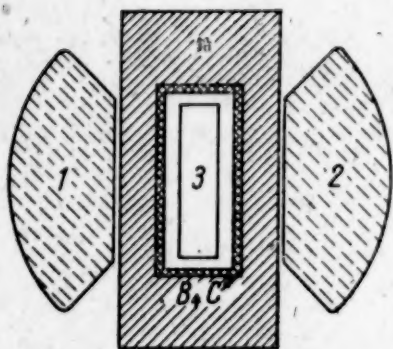
图9 按各个共振平均的  $U^{235}$  的  $\sigma_f/\sqrt{E}$ 

### 一次裂变放出的中子数

一次裂变放出的中子数随能级而变化着,而且还依赖于,例如复核的自旋。很多作者在热能到 0.3 电子伏的区间详细地研究了 this 量。文献<sup>[38-41]</sup>指出:在这个区域  $\nu$  值在 1—2% 范围内是一个常数。在文献<sup>[42]</sup>中,包含了对  $Pu^{239}$  共振区  $\nu$  值是一个常数(在 3—4% 限度内)的证实。图 10 是研究  $\nu$  值用的实验装置。在这个实验装置中,同时进行在气体闪烁计数器中裂变碎片的计数和这个计数器与另外两个次级裂变中子闪烁计数器的脉冲符合计数。图 5 引入了测量结果。

表5  $Pu^{239}$  共振区  $\nu$  值的测量结果

中子能量,电子伏	$\nu$ , 相对单位	测量误差, %
热中子	1.008	1.6
7.8	1.009	2.6
10.9	0.972	1.9
14.3	0.999	3.3
14.6	1.001	3.9
15.5	0.975	3.0
17.6	1.083	4.0
22.2	1.006	3.6
26.6	0.983	3.4
59	0.954	6.1
66	1.048	3.0
75	1.041	3.4
86	1.023	3.2
110—1700	0.991	2.7

图10 测量  $Pu^{239}$  一次裂变放出的中子数的计数装置

- 1——液体闪烁计数器 No.1;  
2——液体闪烁计数器 No.2;  
3——含有 114 毫克  $Pu^{239}$  的气体  
闪烁计数器。

文献<sup>[43-45]</sup>中曾指出:当原子核的总激发能增加 1 兆电子伏时,  $\nu$  值大约平均增大 5—6%。这是和基于中子由碎片中蒸发的假定所作的计算结果相符合的。同时,根据理论估计<sup>[1,2]</sup>,位于裂变位垒顶部的核的最初几个激发态相互间的能量差为  $\sim 1$  兆电子伏。当测量的精确度提高到 1—2% 时,可以发现可能有的能级按复核自旋态的分组。

### 有效次级中子数

量  $\nu_{eff}\phi$  与裂变截面  $\sigma_f$  及吸收截面  $\sigma_a$  的关系式

$$\nu_{\sigma\phi\phi} = \nu \frac{\sigma_f}{\sigma_c} = \nu \frac{\sigma_f}{\sigma_f + \sigma_r}$$

相互联系着。用测量次级裂变中子数的方法直接测量  $\nu_{\sigma\phi\phi}$  与能量的关系<sup>[46,47]</sup> 可以得到某些能级参量(裂变宽度和辐射宽度,如果全宽度是已知的)并检验能级间干涉的存在。这个方法并不象直接测量截面定出参量那样灵敏地依赖于选择器的分辨率,因为  $\nu_{\sigma\phi\phi}$  对能量的依赖性远小于截面对能量的依赖性。通常总是用厚度较大的样品进行测量;这样可以大大提高效率。应该指出,在这儿没有一般应用裂变室时所存在的  $\alpha$  粒子的本底限制。

可以用硫化锌闪烁探测器<sup>[19]</sup>,也可以用液体闪烁计数器<sup>[29]</sup>来记录次级中子。后者具有较高的效率(数量级8—10%),其缺点是对  $\gamma$  射线灵敏。在这项工作中所得到的各个结果之间定性的符合表明,应用液体闪烁体是完全可以的。现在已经有可能制造出对  $\gamma$  射线灵敏度非常小的高效率液体闪烁裂变中子探测器。许多有机闪烁体(芪及某些液体)的发光有两部分,它们在时间上差异很大。文献<sup>[48,49]</sup>指出,较慢那部分,发光的强度强烈地依赖于射线的本性;这就使得有可能分开中子脉冲和  $\gamma$  本底的脉冲。

$\text{Pu}^{239}$  在共振区的  $\nu_{\sigma\phi\phi}$  已经仔细地研究过。这是因为这个同位素的自旋很小 ( $I = \frac{1}{2}$ ) 使人们感到很大兴趣,并且因为  $\text{Pu}^{239}$  在所有裂变同位素中能级间距最大。在文献<sup>[50]</sup>中测定了按各个能级平均起来的  $\nu_{\sigma\phi\phi}$  的数值;在文献<sup>[37,23,19]</sup>中研究了共振区内  $\nu_{\sigma\phi\phi}$  的详细情况。

在截面小的区域内测量  $\nu_{\sigma\phi\phi}$  的困难在于对散射的校正。因此在两个共振之间,数据的精确度很低。在这种情况下,为了独立地测定  $\nu_{\sigma\phi\phi}$ ,常常要测量全截面  $\sigma_c$  与裂变截面  $\sigma_f$ ,最后再

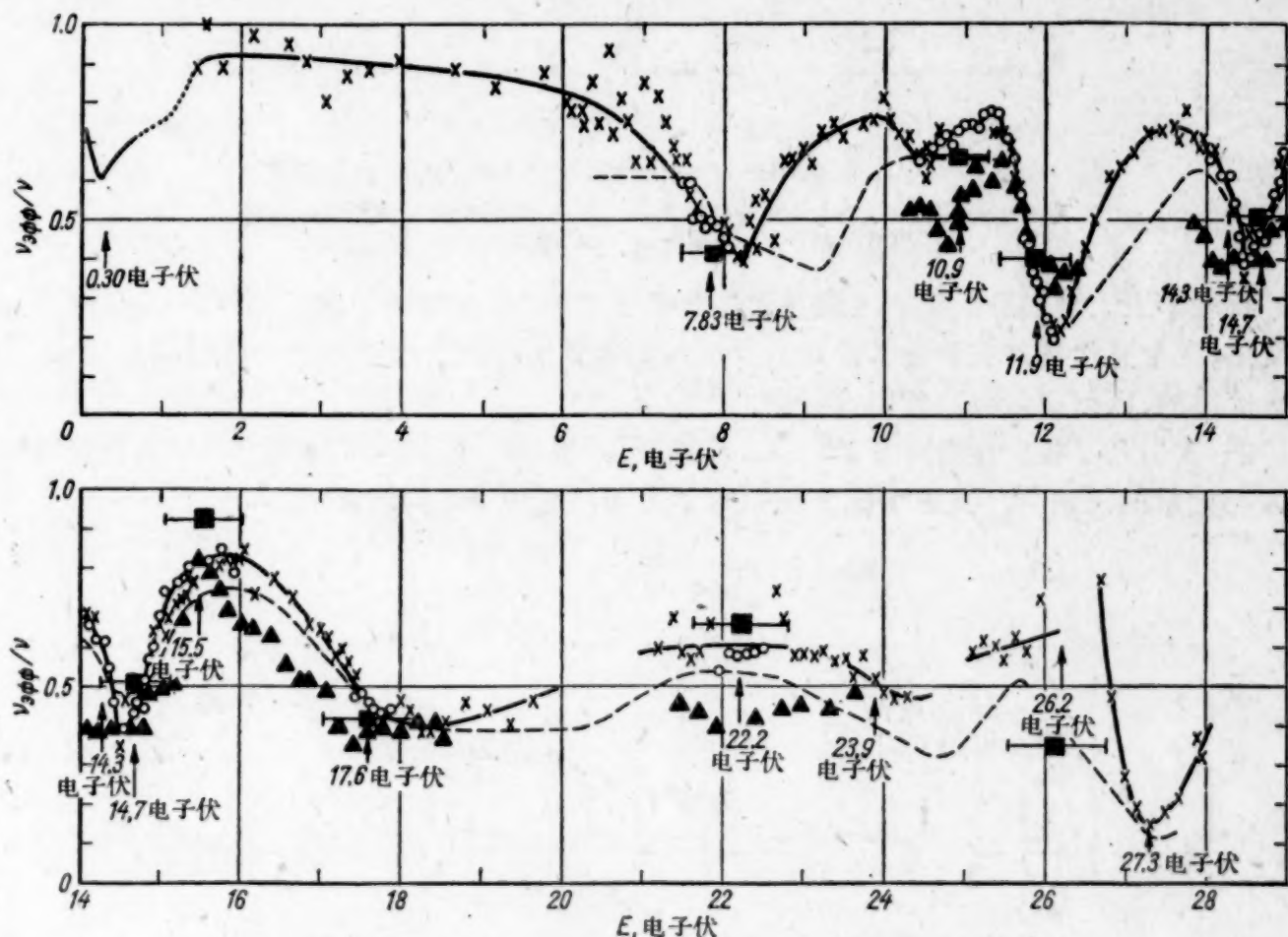


图 11  $\text{Pu}^{239}$  在共振区域比值  $\nu_{\sigma\phi\phi}/\nu$  与中子能量的关系

○——直接测量<sup>[29]</sup>; ×——由截面计算<sup>[29]</sup>; ———文献<sup>[37]</sup>的数据; ■——文献<sup>[30]</sup>的数据  
(将 7.8 电子伏的共振重新归一化到  $\nu_{\sigma\phi\phi}/\nu_{\sigma\phi\phi T} = 0.58\%$  的结果<sup>[19]</sup>) ▲——文献<sup>[19]</sup>的数据。



由以下关系式中计算出  $\nu_{\phi\phi}$

$$\nu_{\phi\phi} = \frac{\sigma_f}{\sigma_s - \sigma_f},$$

其中  $\sigma_s$  是散射截面。图 11 引入了文献<sup>[19,29,50,37]</sup>的测量结果，图上还提供了由截面测量计算出的点<sup>[29]</sup>。比起  $\text{Pu}^{239}$  来， $\text{U}^{233}$  的  $\nu_{\phi\phi}$  只是在非常狭的能量间隔内测量过。图 12 引入的文献<sup>[23]</sup>在 0.01 到 10 电子伏区内  $\text{Pu}^{239}$  及  $\text{U}^{233}$  的  $\nu_{\phi\phi}$  与能量的关系的详细测量表明： $\nu_{\phi\phi}$  在单个共振的范围内变化得很快。这可以证明在共振能级间存在着非常明显的干涉。然而，正象从图 12 上看到的那样，图中实线所表示的用广义公式得到的  $\nu_{\phi\phi}$  能量过程的计算结果与实验仅仅是定性地符合。

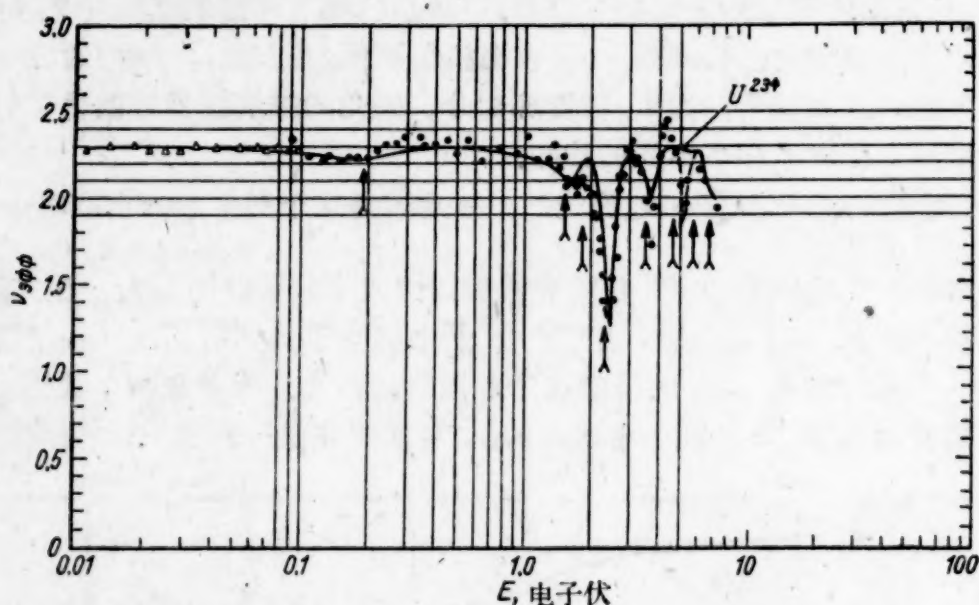


图 12  $\text{U}^{233}$  在 0.01—10 电子伏区域内  $\nu_{\phi\phi}$  与能量的关系

●——MTR 反应堆上得到的初步数据 △——伯鲁克海文实验室的数据。  
实线是根据广义公式计算的。图中箭头表示共振位置

物理学上未被划分的热能区域是属于共振区域的；在靠近这个区域的地方  $\nu_{\phi\phi}$  产生显著的变化，这个变化是与有着各种参量的共振的影响分不开的。由于在这个区域测量  $\nu_{\phi\phi}$  是有实际价值的，因而测量也进行得很仔细。

图 13 引入了各个作者对  $\text{Pu}^{239}$   $\nu_{\phi\phi}$  直接测量的结果，也引入了根据测得的截面计算出的  $\nu_{\phi\phi}$  与能量的关系<sup>[27]</sup>。在这个图上还引用了量  $\alpha$ ，它与  $\nu_{\phi\phi}$  的关系如下：

$$\nu_{\phi\phi} = \frac{1}{1 + \alpha}; \quad \alpha = \frac{\sigma_a - \sigma_f}{\sigma_f}.$$

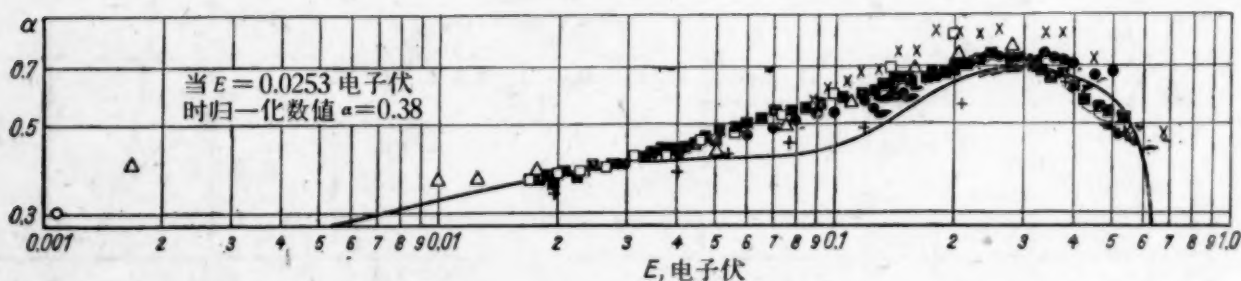


图 13  $\text{Pu}^{239}$  在 0.001 到 1.0 电子伏能量范围内  $\alpha$  与能量的关系

□——伯鲁克海文实验室数据<sup>[41]</sup>；○——哈佛实验室数据；×——伯鲁克海文实验室数据<sup>[41]</sup>；  
●——汉福特实验室数据<sup>[51]</sup>；■——阿贡实验室数据<sup>[52]</sup>；△——哈佛实验室数据<sup>[53]</sup>；  
+——文献<sup>[46]</sup>的数据。实线是由截面计算出的。

在文献<sup>[19]</sup>中用  $\text{Pu}^{239}$  薄样品测出的  $\nu_{\text{eff}}$  与能量的关系实际上和从截面的测量计算出的结果相符合。在能量为 0.3 电子伏的共振点, 所有作者测到的  $\nu_{\text{eff}}$  的结果 (差别在 1% 内) 都要比热能区域小 20%; 当能量为 0.07—0.15 电子伏时, 各个文献的结果之间有些差别。

图 14 给出了  $\text{U}^{235}$   $\nu_{\text{eff}}$  测量结果的比较<sup>[26]</sup>。这儿也引入了由截面计算出的  $\nu_{\text{eff}}$  与能量之间关系的結果。

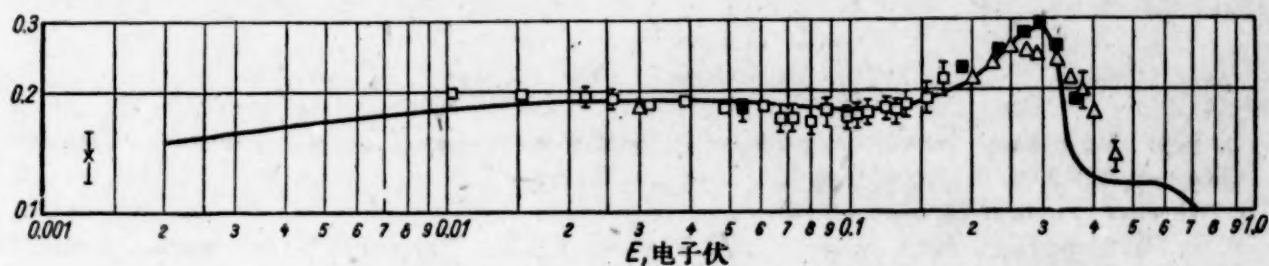


图 14  $\text{U}^{235}$  在能量为 0.001 到 1.0 电子伏区域内  $\alpha$  与能量的关系:

□——伯鲁克海文实验室数据<sup>[41]</sup>;  $\triangle$ ——汉福特实验室数据;  
■——MTR 反应堆上得到的数据<sup>[54]</sup>

### 结 论

尽管目前所作的测量精确度还比较高, 但还不能严格描述中子与核相互作用的所有方面。广义公式<sup>[22]</sup>可以足够完善地解释一系列效应, 但计算值与实验值还不能精确相符<sup>[24]</sup>。也许, 这与推导公式时假定裂变过程只有唯一的反应道有关。从这个观点出发, 文献<sup>[35]</sup>的结果是很重要的。曾经将文献<sup>[21]</sup>的数据和另一个广义公式进行了比较, 这个广义公式用到的假设条件和文献<sup>[22]</sup>的不同: 考虑了为数不多的能级的干涉, 而对反应道却不附加任何限制条件。得到的结果与实验的符合虽然还是很满意, 但也还没有得到精确的定量的符合。

根据前面所述可见, 关于截面中非共振项的产生仍然是一个明摆着的问题。认为引用了广义公式之后这个问题就可以自动成功地得到阐明是没有根据的<sup>[24]</sup>。在热能区域, 需要用非共振项的存在来解释  $\text{U}^{233}$  截面的下降部分以及  $\text{U}^{235}$  和  $\text{Pu}^{239}$  的大部分截面。非共振项也是两个共振之间截面的主要部分。图 15 和 16 引入了  $\text{U}^{233}$  及  $\text{Pu}^{239}$  的  $\sigma_a \sqrt{E}$  值; 虚线表示非共振项的值<sup>[31]</sup>。直接测量  $\text{U}^{233}$   $\nu_{\text{eff}}$  表明<sup>[23]</sup>: 在两个共振之间裂变截面比吸收截面高 90%; 在共振边缘比值  $\sigma_f/\sigma_a$  显著地下降。对  $\text{Pu}^{239}$  的截面的观察也得到相似的图景, 在能量为 0.3 和 7.85 电子伏的共振之间, 比值  $\sigma_f/\sigma_a$  为 0.9<sup>[29]</sup>, 可是在 0—30 电子伏区域内所有的能级中, 只有 15.5 电子伏那个特别宽的共振 ( $\Gamma \sim 1$  电子伏) 的  $\nu_{\text{eff}}$  值接近这个数值。也许我们所研究的是直接裂变的过程, 例如类似于剥裂过程。

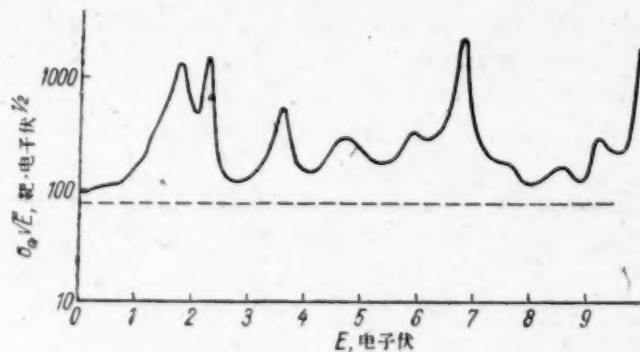


图 15  $\text{U}^{233}$  在能量为 0—10 电子伏区域内的  $\sigma_a \sqrt{E}$  值  
虚线表示非共振项的贡献。

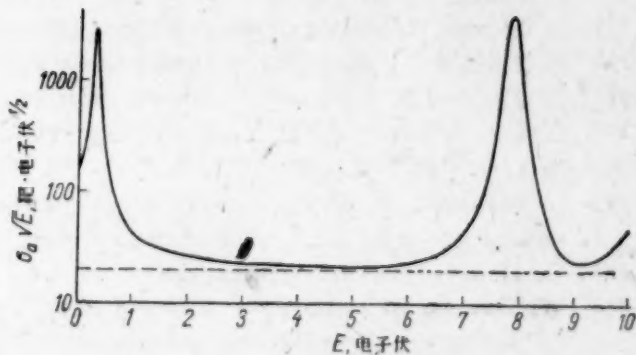


图 16  $\text{Pu}^{239}$  在能量为 0—10 电子伏区域内的  $\sigma_a \sqrt{E}$  值  
虚线表示非共振项的贡献。



研究激发核各个不同能级的裂变碎片产额与质量的关系,研究裂变的 $\gamma$ 射线,测定能级的自旋等,可以更好地了解 $\gamma$ 辐射及裂变过程。但是在这方面,目前只有得到初步结果的第一批文献<sup>[56,57]</sup>。

过去曾研究了几十个共振能级。在最近的将来,当选择器的分辨本领提高后,可以得到更大量的共振参量。这对于弄清裂变宽度及辐射宽度分布的图景是特别重要的。目前的数据显然是还不够的。

### 参 考 文 献

- [1] О. Бор: Материалы международной конференции по мирному использованию атомной энергии (Женева, 1955), т. 2. М., Изд-во АН СССР, 1958, стр. 175.
- [2] J. Wheeler: *Physica*, **22**, 1103 (1956).
- [3] В. В. Владимирский, А. А. Панов, И. А. Радкевич, В. В. Соколовский: *Атомная энергия*, **III**, № 11, 444 (1957).
- [4] Д. Дж. Юз: *Атомная энергия*, **4**, вып. 1, 26 (1958).
- [5] H. Feshbach, C. Porter, V. Weisskopf: *Phys. Rev.*, **96**, 448 (1954).
- [6] V. Weisskopf: *Rev. Mod. Phys.*, **29**, No. 2, 174 (1957).
- [7] E. Wigner: *Phys. Rev.*, **70**, 15 (1946).
- [8] E. Wigner: *Phys. Rev.*, **70**, 606 (1946).
- [9] E. Wigner, L. Eisenbud: *Phys. Rev.*, **72**, 29 (1947).
- [10] T. Teichman, E. Wigner: *Phys. Rev.*, **87**, 123 (1952).
- [11] G. Breit, E. Wigner: *Phys. Rev.*, **49**, 519 (1936).
- [12] R. Wood: *Phys. Rev.*, **104**, 1425 (1956).
- [13] R. Wood, H. Landon, V. Sailor: *Phys. Rev.*, **98**, 639 (1955).
- [14] E. Melkonian, W. Havens, L. Rainwater: *Phys. Rev.*, **92**, 702 (1953).
- [15] F. Seidle, D. Hughes, H. Palevsky, J. Levin, W. Kato, N. Sjostrand: *Phys. Rev.*, **95**, 476 (1954).
- [16] J. Marion, L. Bollinger: *Bull. Amer. Phys. Soc., Ser. II*, **3**, 103 (1958).
- [17] В. Сейлор: Материалы Международной конференции по мирному использованию атомной энергии (Женева, 1955), т. 4. М., Изд-во АН СССР, 1957, стр. 239.
- [18] L. Bollinger: Proc. Intern. Conf. on the Neutron Interaction with the Nucleus. New York, September 1957.
- [19] В. В. Владимирский, И. В. Кирпичников, А. А. Панов, И. А. Радкевич, С. И. Сухоручкин: Тр. Второй международной конференции по мирному использованию атомной энергии (Женева, 1958). Т. 1—Ядерная физика. М., Атомиздат, 1959, стр. 504.
- [20] C. Porter, R. Thomas: *Phys. Rev.*, **104**, 483 (1954).
- [21] Дж. Блатт, В. Ф. Вайскопф: Теоретическая ядерная физика. М., Изд-во иностр. лит., 1955.
- [22] C. Reich, M. Moore: *Phys. Rev.*, **111**, 929 (1958).
- [23] R. Fluharty, M. Moore, J. Evans: Доклад № 645, представленный США на Вторую международную конференцию по мирному использованию атомной энергии (Женева, 1958).
- [24] F. Shore, V. Sailor: *Phys. Rev.*, **112**, 191 (1958); F. Shore, V. Sailor: Доклад № 648, представленный США на Вторую международную конференцию по мирному использованию атомной энергии (Женева, 1958).
- [25] D. Hughes, J. Harvey: Neutron Cross Sections, New York, McGraw-Hill Book Co., BNL-325 (1955).
- [26] D. Hughes, R. Schwartz: Neutron Cross Sections, US AEC, BNL-325, Suppl. I (1957).
- [27] D. Hughes, R. Schwartz: Neutron Cross Sections, US AEC, BNL-325, 2nd. ed. (1958).
- [28] В. В. Соколовский, В. В. Владимирский, И. А. Радкевич, А. А. Панов: *Атомная энергия*, **II**, № 2, 129 (1957).
- [29] L. Bollinger, R. Cote, J. Le Blanc, G. Thomas: Доклад № 687, представленный США на Вторую международную конференцию по мирному использованию атомной энергии (Женева, 1958).
- [30] С. И. Сухоручкин: Диссертация, 1956.
- [31] W. Havens, E. Melkonian: Доклад № 655, представленный США на Вторую международную конференцию по мирному использованию атомной энергии (Женева, 1958).
- [32] N. Landen: *Phys. Rev.*, **100**, 1414 (1955).
- [33] H. Goldstein: Proc. Intern. Conf. on the Neutron Interaction with the Nucleus. New York, September 1957.
- [34] V. Pilcher, J. Harvey, D. Hughes: *Phys. Rev.*, **103**, 1342 (1956).

- [35] C. Egger, C. Huddleston: *Nucleonics*, **14**, No. 4, 34 (1956).
- [36] A. Sayres, C. Wu: *Rev. Scient. Instrum.*, **28**, No. 10, 758 (1958).
- [37] F. Farley: *J. Nucl. Energy*, **3**, No. 1—2, 33, (1956).
- [38] В. И. Калашникова, В. И. Лебедев, А. А. Микаэлян, М. И. Певзнер: *Атомная энергия*, № 3, 11 (1956).
- [39] B. Leonard, E. Seppi, W. Friesen: *Bull. Amer. Phys. Soc., Ser. II*, **1**, 8 (1956).
- [40] J. Auclair, H. Landon, M. Jacob: *Compt. rend.*, **241**, 1935 (1955).
- [41] Г. Палевский, Д. Юз, Р. Циммерман, Р. Эйзберг: *Атомная энергия*, № 4, 71 (1956).
- [42] L. Bollinger: Conf. on Neutron Physics by Time-of-Flight (Gatlinburg, 1—2/XI 1956).
- [43] В. И. Калашникова, Л. А. Микаэлян, В. П. Захарова, В. И. Лебедев, А. Краснушкин, П. Е. Спивак, М. И. Певзнер: Сессия АН СССР по мирному использованию атомной энергии (заседания отд. физ.-матем. наук). М., Изд-во АН СССР, 1955, стр. 161.
- [44] Р. Личмэн: Материалы международной конференции по мирному использованию атомной энергии (Женева, 1955), т. 2. М., Изд-во АН СССР, 1957, стр. 225.
- [45] В. И. Калашникова, В. И. Лебедев, П. Е. Спивак: *Атомная энергия*, II, № 2, 18 (1957).
- [46] С. Я. Никитин, С. И. Сухоручкин, К. Г. Игнатьев, Н. Д. Галанина: Сессия АН СССР по мирному использованию атомной энергии (заседания отд. физ.-матем. наук). М., Изд-во АН СССР, 1955, стр. 87.
- [47] Г. Палевский: Материалы Международной конференции по мирному использованию атомной энергии (Женева, 1955), т. 4. М., Изд-во АН СССР, 1957, стр. 366.
- [48] G. Wright: *Proc. Phys. Soc.*, **69B**, 358 (1956).
- [49] F. Brooks: Proc. First Northwest Univ. Conference on Liquid Scintillation Counting; R. Owen: Proc. 6-th Scintillation Counter Symposium. Washington, 1958 (см. перевод: Р. Оуэн: *Атомная техника за рубежом*, № 3, 32, 1959).
- [50] П. Р. Кирпичников, В. В. Огороков, С. И. Сухоручкин: *Атомная энергия*, II, № 3, 247 (1957).
- [51] E. Seppi, B. Leonard, W. Friesen: *Bull. Amer. Phys. Soc., Ser. II*, **1**, 249 (1956).
- [52] R. Cote, L. Bollinger, J. Le Blanc, G. Thomas: *Bull. Amer. Phys. Soc., Ser. II*, **1**, 187 (1956).
- [53] H. Skarsgard, C. Kenward: *J. Nucl. Energy*, **6**, 212 (1958).
- [54] J. Smith, E. Magleby: *Phys. Rev.*, **100**, 1266A (1955).
- [55] E. Vogt: *Phys. Rev.*, **112**, 203 (1958).
- [56] R. Regier et al: *Bull. Amer. Phys. Soc., Ser. II*, **3**, 6 (1957).
- [57] L. Roeland, L. Bollinger, G. Thomas: *Bull. Amer. Phys. Soc., Ser. II*, **2**, 352 (1957); L. Roeland, L. Bollinger, G. Thomas: Доклад № 551, представленный США на Вторую международную конференцию по мирному использованию атомной энергии (Женева, 1958).



## 鐳 ( $\text{Ra}^{226}$ ) 的半衰期

戈爾什科夫 (Г. В. Горшков)  
格里特欽科 (З. Г. Гритченко)  
伊林斯卡婭 (Т. А. Ильинская)  
庫茲涅索夫 (Б. С. Кузнецов)  
希曼斯卡婭 (Н. С. Шимаиская)

由于  $\text{Ra}^{226}$  經常采用为放射性标准制品, 并广泛地应用在医疗、技术以及制备中子源等各个方面, 所以对这个同位素半衰期的测定是具有重要意义的。这里援引了一些文献上的数据, 并介绍了应用量热計法进行精密测定这个数值的原有的实验工作。

对三个平衡鐳制品进行了热效应的测量, 得出  $\text{Ra}^{226}$  的比放射性数值为  $(3.71 \pm 0.02) \cdot 10^{10}$  次蜕变/秒 1 克  $\text{Ra}^{226}$ , 与此相当的半衰期是  $1577 \pm 9$  年。量热测量是在灵敏度为  $\sim 2 \cdot 10^{-4}$  瓦的双静定量热計中进行的。放射性制品中所含鐳的成分, 是由  $\text{RaBr}_2$  盐的直接称量决定, 而盐的純度則用光谱法来加以检验。

1898 年皮耶和瑪麗亞·居里所发现的鐳, 在放射性元素中占着特別重要的地位。在很长的一段时间中, 在放射性領域內, 鐳几乎是用来进行无数的各式各样的测量和研究的唯一的放射性物质。尽管后来有人工放射性同位素的采用, 但即使在今天, 鐳制品的用途仍然是非常广阔的: 在物理上用来制取实验室的中子源和强大的  $\alpha$  粒子源; 在医学上用来进行内、外的居里疗法; 而在技术上則用来进行  $\gamma$  探伤和放射性测井。

鐳的衰变常量很小, 所以可以方便地采用为放射性的标准源。到目前为止, 在大多数的电离测量中都应用鐳的标准制品, 但遺憾得很,  $\text{Ra}^{226}$  半衰期  $T$  的测定却不具备足够的精确性。这样, 給許多原始的和复制的国际标准样品引入天然衰变的修正带来很大的困难。应当用微分电离室(在这里鐳經常被采用为恒定的辐射源)进行测量, 以及在其他测量和計算中都同样要求知道  $\text{Ra}^{226}$  半衰期的精确数值。

許多文献中談到  $\text{Ra}^{226}$  的半衰期和比放射性(1 秒內 1 克  $\text{Ra}^{226}$  所放出来的  $\alpha$  粒子数)的数值之間存在着简单的关系式:  $Z = 1.847 \cdot 10^{-21} T^{-1}$ 。这些文献大部分是在 1908—1928 年之間完成的。在表 1 中引入了这些研究工作的結果。在这些文献中, 有的直接测定了  $\text{Ra}^{226}$  的  $Z$  和  $T$  的数值; 有的是根据該文献中的数据可以計算出这二个数值。从表中可以看到: 不同文献中所获得的  $Z$  和  $T$  的数值相差得很大, 达到 15—20%<sup>1)</sup>; 显然, 这个范围大大地超过了作者所可能产生的誤差。

在表 1 中, 根据测量方法和发表日期把所有的文献加以分类。因为  $\text{Ra}^{226}$  的半衰期太长, 不可能采取任何方法进行該元素衰变曲綫的直接测量; 所以在所有这些文献中都是采用各种間接的方法来测定  $T$  的数值。通常, 对已知一定数量的鐳, 在单位時間中所放出来的  $\alpha$  粒子数进行直接或間接的計算, 实际上应用了关系式:

1) 在表 1 中  $Z$  和  $T$  的数值是根据最新最正确的物理常数重新进行計算的。

表1 不同作者所获得的  $\text{Ra}^{226}$  的比放射性  $\alpha$  和半衰期  $T$  的数据

作者	发表年代	文献	所获得的数据		所采用的方法
			$Z \cdot 10^{10}$ 蜕变/秒1 克 $\text{Ra}^{226}$	$T$ , 年	
达尼斯, 杜安(J. Danysz, W. Dane)	1912	[1]	3.15	1860	1. 测量已知数量 $\text{Ra}^{226}$ 在单位时间内所放出来的 $\alpha$ 粒子的电流
卢瑟福, 盖革(E. Rutherford, H. Geiger)	1914	[2]	3.45	1695	
爱德若夫斯基(H. Iedzeyowski)	1928	[3]	3.48	1680	
布莱迪克, 凯夫(H. Braddick, H. Cave)	1928	[4]	3.65	1605	
博尔特伍德(B. Boltwood)	1908	[5]	2.94	1990	2. 在镭的溶液 ( $\text{Th}^{230}$ ) 测定 $\text{Ra}^{226}$ 的累积速度
基特曼(B. Keetman)	1908	[6]	3.22	1820	
麦耶, 史维德纳(St. Meyer, E. Schweidler)	1913	[7]	3.36	1740	
格列基奇, 福因(E. Gleditsch, E. Föyn)	1916	[8]	3.17,	1845,	
			3.54	1655	
拉乌逊, 麦耶(R. Lawson, St. Meyer)	1916	[9]	3.36	1740	
格列基奇(E. Gleditsch)	1919	[10]	3.46,	1690,	
			3.54	1655	
格列基奇, 福因(E. Gleditsch, E. Föyn)	1932	[11]	3.46	1690	
格列基奇, 福因(E. Gleditsch, E. Föyn)	1935	[12]	3.46	1690	
迪尤尔(J. Dewar)	1910	[13]	3.60,	1625,	3. 测量已知数量 $\text{Ra}^{226}$ 所分离出来的氮的体积
			3.87	1510	
博尔特伍德, 卢瑟福(B. Boltwood, E. Rutherford)	1914	[14]	3.49	1675	
沃滕斯坦因(L. Wertenstein)	1928	[15]	3.49	1675	
冈瑟(P. Gunther)	1939	[16]	3.65	1605	4. 直接测量 $\text{Ra}^{226}$ 或平衡 $\text{Ra}^{226}$ 制品所放出来的 $\alpha$ 粒子数
卢瑟福, 盖革(E. Rutherford, H. Geiger)	1908	[17]	3.57	1640	
赫斯, 拉乌逊(V. Hess, R. Lawson)	1918	[18]	3.72	1575	
盖革, 维尔纳(H. Geiger, A. Werner)	1924	[19]	3.40	1720	
盖革, 维尔纳(H. Geiger, A. Werner)	1924	[20]	3.48	1680	
沃德, 温·威廉斯, 凯夫(F. Ward, C. Wynn-Wilhams, H. Cave)	1929	[21]	3.66	1600	
科曼, 艾姆斯, 塞德莱特(P. Kohman, D. Ames, J. Sedlet)	1949	[22]	3.61	1622	
西邦(W. Sebaoun)	1956	[23]	3.62	1617	5. 测量 $\text{Ra}^{226}$ 制品的 $\alpha$ 粒子所引起的电离电流
居里, 约里奥(I. Curie, F. Joliot)	1928	[24]	3.65	1605	
赫斯(V. Hess)	1912	[25]	3.77	1555	6. 量热测量法
沃特逊, 汉德逊(S. Watson, M. Henderson)	1928	[26]	3.64	1610	
迈特纳, 奥特曼(L. Meitner, W. Ortmann)	1930	[27]	3.68	1590	
戈尔什科夫, 希曼斯卡娅(Г. В. Горшков, Н. С. Шимонская)	1956	[28]	3.72	1575	
本文作者	1957	—	3.71	1577	

$$T = \frac{\ln 2N}{\frac{dN}{dt}}$$

对  $\text{Ra}^{226}$  的比放射性进行测量时, 经常会遇到一些特殊的困难: 一方面要对  $\alpha$  粒子绝对计数而另一方面则要确定被测量的镭的重量(称量)。表中所列举的每一种方法, 照例, 都具有其



特殊的缺点。例如在方法1和5中与必需制备薄而均匀的RaC层、估计其放射性的数值、以及由于放射性制品本身衰变得很快和不能精确地知道电离常数(在方法5中)会造成一定的误差等困难相联系着。应用在镭的溶液中测定 $\text{Ra}^{226}$ 累积速度的方法(方法2)所得到的结果显然包含着某种降低所取得的数值的系统误差。也许,其原因可以解释为:在实验中所应用的矿石年代不够久,或者在其中破坏了镭和镭之间的平衡(由于在地壳中的蕴藏条件等原因所引起的)。

按镭制品中氡的积累测定Z和T(方法3)会遇到分离和定量测量小体积气体的很大困难。

在核的常数表中,最后几项所引入的Z和T的数值是最可靠的。因为它们是采用直接计算镭制品中所放出来的 $\alpha$ 粒子(方法4)而得到的。不久以前,文献[22]和[23]就是应用这个方法在最近完成的。文献[22]的作者所应用的放射性制品,其中镭的含量是用等分部分直接称量的方法来确定的。每一个放射性制品的放射性是应用平行板 $2\pi\alpha$ -电离室进行测定的。在放射性制品上不断通过的气体电流带走大部分的氡和短寿命衰变产物。在考虑了氡的扩散和核的反冲损失条件下,对测量结果进行了复杂的计算。从很多放射性制品所获得的大量数据,取其平均值,最后得到这样的结果:Z的数值为 $3.61 \cdot 10^{10}$ 次衰变/秒1克 $\text{Ra}^{226}$ 。它相当于 $\text{Ra}^{226}$ 的半衰期为1622年。所得结果的可能误差为0.5%。基于文献[22]的结果,在大多数最近的论文中计算1克 $\text{Ra}^{226}$ 的衰变数目时,不是采用在1930年国际协会上所采用的 $Z = 3.7 \cdot 10^{10}$ 的数值<sup>[29]</sup>,而是用 $3.61 \cdot 10^{10}$ 的数值(也许,采用得太早些了)。

1956年所发表的文献[23]中,所获得的Z的数值与这个数值是很相近的。文献的作者是用闪烁谱仪对一些平衡的,复盖着厚云母层的 $\text{Ra}^{226}$ 制品进行测量的,得到了 $Z = 3.62 \cdot 10^{10}$ 次衰变秒 $\cdot$ 1克 $\text{Ra}^{226}$ 和 $T = 1617$ 年( $\pm 0.7\%$ )。由于在这个工作中所采用的 $\alpha$ 粒子计数器具有很小的几何形状,因此,就可能对具有0.15—0.20毫居里数量级的较强的源进行测量,从而消除了引入极难确定的垫片对 $\alpha$ 粒子反射修正值的必要性。与文献[22]相比,在文献[23]中所应用的方法具有重要的优点:它可以对 $\text{Ra}^{226}$ 及其派生产物所放射出来的 $\alpha$ 粒子能量进行分别的测量;同时也可以对恒定的平衡 $\text{Ra}^{226}$ 制品进行测量。

另一方面,根据 $\gamma$ 辐射间接测量制品中 $\text{Ra}^{226}$ 的含量可能是相当大的误差的原因。

应用量热法测量放射性同位素的T的实质在于测量已知重量P的同位素的热效应Q。在这种情况下,根据放射性衰变的基本公式可得:

$$T = \frac{\ln 2N}{\frac{dN}{dt}} = \frac{\ln 2p \frac{N_0}{A}}{\frac{Q}{E}},$$

式中 $N_0$ 是阿佛加得罗常数; $A$ ——相应放射性元素的原子量, $E$ ——一次衰变时在量热计中放射性元素所放出来的能量。对许多同位素来说,根据它们已知的衰变方式一般都可以精明地计算出E的数值,所以应用这个方法测定T时只需进行一次称量和一次量热计的测量就可以了;而这二个实验步骤在原则上都是可以完成得十分精确的。当然,在采用这个方法时,对放射性制品的化学纯度要求是很高的。任何少量的放射性或非放射性元素的杂质,特别是重元素的杂质,都会严重地影响测量的结果。显然,这个方法只适用于长寿命的放射性同位素,因为唯独它们才可能获得一定重量的很纯的放射性同位素。曾经采用了类似的量热测量法对 $\text{Pu}^{239[30]}$ 和 $\text{Ac}^{227[31]}$ 的衰变恒量进行了测量;某些作者还曾应用了这个方法测定了 $\text{Ra}^{226}$ 的比放射性和半衰期。他们对已经分离掉短寿命派生产物的已知数量的 $\text{Ra}^{226[25]}$ 以及与此些派生产物处于平衡态的 $\text{Ra}^{226[26,28]}$ 或累积在制品中的 $\text{Po}^{210[27]}$ 测量了其热效应。

但是遺憾得很,在所有這些工作中,對被測量的放射性制品中所包含鐳的數量,同樣是用間接的方法(一般是根據  $\gamma$  測量)來測定的。此外,量熱測量本身(1—4%)以及  $E$  數值的計算都是不夠精確的。1954 年曾試圖對二個平衡鐳制品根據熱效应的量熱測量方法來估計  $\text{Ra}^{226}$  的半衰期,制品中的含鐳量是用电离測量<sup>[28]</sup>的方法來決定的。引入了制品中  $\text{RaD}$ ,  $\text{RaE}$  和  $\text{Po}^{210}$  的積累以及鹽內,安瓿器壁和量熱計本身  $\gamma$  射綫吸收的修正,並近似地考慮了被測制品和用來進行电离測量的標準制品中  $\gamma$  射綫吸收和自吸收的不同條件后,指出:與自己短壽命派生產物——一直包括到  $\text{RaC}$ ——處於平衡態的單位重量  $\text{Ra}^{226}$  所放出來的  $\alpha$  和  $\beta$  射綫的熱效应數值等於  $130.6 \pm 1.5$  卡/小時 · 1 克  $\text{Ra}^{226}$ <sup>[28]</sup>。在計算時,所採用的衰變總能量  $E$  的數值為 25.351 兆電子伏/次衰變。這樣所得到的數值為:  $Z = (3.72 \pm 0.06) \cdot 10^{10}$  次衰變/秒 · 1 克  $\text{Ra}^{226}$  以及  $T = 1575 \pm 25$  年。

由於被測制品中鐳的含量是用間接的方法(其誤差值為 1.2%)測定的,因此所獲得的  $\text{Ra}^{226}$  半衰期值是不可能要求具有很高精確度的。為了更精確地測定  $\text{Ra}^{226}$  的半衰期,本文<sup>1)</sup>中所應用的放射性制品,其中的含鐳量是採用直接稱量的方法來確定的。並且,溴化鐳 ( $\text{RaBr}_2$ ) 的純度是用光譜法來檢驗的。這種放射性制品是按一般鐳的生產工藝流程製備的,但還必需再加上一道溴結晶的工序。放射性制品  $\text{Ra-I}$  和  $\text{Ra-II}$  都經過了十次的再結晶,而制品  $\text{Ra-III}$  則經過了十五次再結晶。

在表 2 中引入了這些制品的  $\text{RaBr}_2$  稱量結果,在焊封安瓿之前,假如對制品進行強熱(不超過 200°C)就可以保證除去鹽中的結晶水。

為了檢驗  $\text{RaBr}_2$  鹽的化學計量常數,在製備鐳制品過程中,曾在進行了所有的主要測量之后,把制品中的一個( $\text{Ra-III}$ )組成硫酸鐳,並且再重新進行稱量。溴化鐳和硫酸鐳的重量差值低於 0.5%。用溴化鐳的專門實驗也同樣可以證明:  $\text{RaBr}_2$  的化學組成並沒有改變。我們曾經取了一些劑量的  $\text{RaBr}_2$  煅燒到 600°C,然後再用硝酸銀使溴沉淀。經過煅燒和未經煅燒的  $\text{BaBr}_2$  樣品的  $\text{Br}/\text{BaBr}_2$  比值在 0.1% 以下是相等的。

在表 2 中除了稱量的結果,還引入了一些其他數據和表征個別制品的參量:焊接日期;內

表 2 鐳制品的特征數據

放射性  制 品	安瓿的焊  封 日 期	玻璃安瓿的参量,毫米					安瓿 內的 充滿 程度, 毫 米	RaBr <sub>2</sub> 的 重 量, 毫 克	RaBr <sub>2</sub> 的 密 度,克/ 厘米 <sup>3</sup>	1 毫克当量 制品的数值		1 毫克当性 量放射 制 品 与 BaBr <sub>2</sub> 重 量之間的 比值
		外 安 瓿		內 安 瓿		长 度				制 造 廠 的 數 据	全 苏 度 量 衡 科 学 研 究 所 的 数 据	
		外 直 径	內 直 径	外 直 径	內 直 径							
Ra-I	1955年 7 月 14日	4.0	3.3	7.3	6.4	70	16	274.8	2.08	158	157.0±0.7	0.5742
Ra-II	1955年 9 月 17日	4.8	3.7	6.7	5.8	71	20	305.8	1.47	176	175.6±0.9	0.5713
Ra-III	1955年10月 12日	4.4	3.6	6.35	5.35	71	18	256.3	1.45	148	147.7±0.7	0.5760

外玻璃安瓿的大小以及根據玻璃安瓿中充滿程度的粗略估計所計算出來的溴化鐳的近似密度。在表中同時還引入了製造廠和全蘇度量衡科學研究所(ВНИИМ)對這些制品進行电离測量的結果。在表的最后一欄中表示 1 毫克當量的放射性制品  $J$  (根據 ВНИИМ 的測量)和鹽的重量  $P$  之間的比值。對於純的鐳制品這個比值應該等於  $\frac{226.05}{385.88} = 0.5858$ , 所以,獲得這個比

1) 關於本項工作結果的簡短預報曾在“實驗和理論物理雜誌” 34, 576(1958)上載刊過。



值較小的結果表明:或者是在溴化鎘鹽中含有顯著量的雜質,或者是在進行電離測量時減少了制品中鎘的含量。

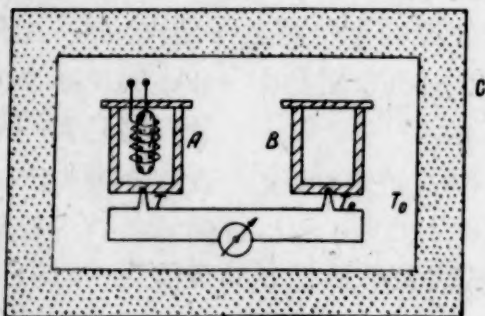


图1 双靜定量热計原理图

苏联科学院鎘学研究所采用了双靜定量热計的方法,对放射性制品的放射性强度进行了测量<sup>[32]</sup>。图1就是这类量热計的示意图,从图中可以清楚地知道这类量热計的工作原理。在保持恆温的实心外壳C的内部有二个单独的量热計圓筒A和B;在其中之一,例如A内放置着被测量的热源,它就加热圓筒。另一个圓筒B是用来作为零点温度用的,其温度值等于  $T_0$ 。在現有的量热計結構条件下,当这二个量热計圓柱筒表面处于热平衡时,

$$T - T_0 = \alpha \frac{W}{S}, \quad (1)$$

式中比例系数  $\alpha$ , 一般称为放热系数或外导热系数,它与量热計的表面性質和周围介质的热性質有关。

式(1)是从另一个更普遍的式(2)所得到的。式(2)表示在这类量热計中任意选定时刻  $t$  的温差:

$$T - T_0 = \alpha \frac{W}{S} \left( 1 - e^{-\frac{S}{ac}t} \right), \quad (2)$$

式中  $c$  表示量热計圓柱筒——被測量制品系統的热容量。从这个式子中順便指出,建立热平衡所需的時間以及每次測量的持續時間是与量热計的热容量及其表面积有关的。我們称  $\lambda_0 =$

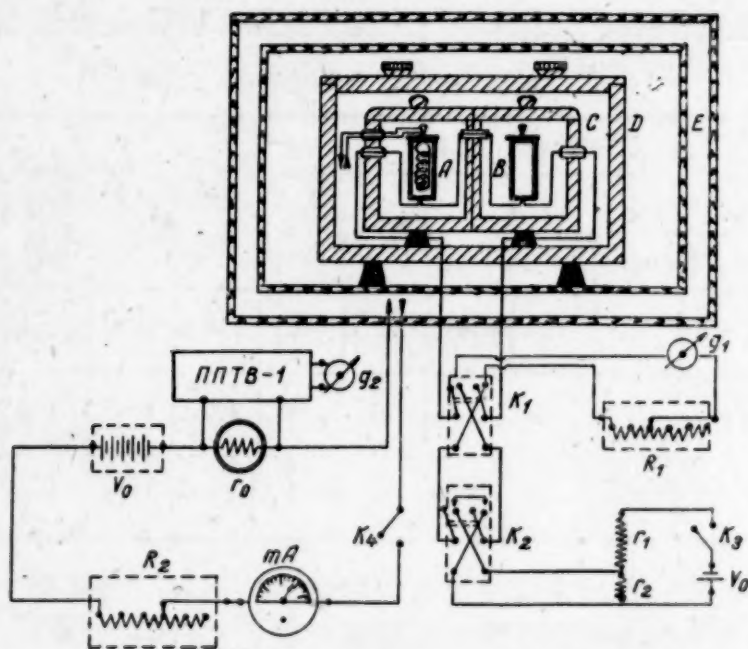


图2 本文所采用的量热計仪器裝置綫路图

A, B——量热計圓筒; C, D——銅屏; E——恆溫器。

电路图:  $g_1, g_2$ ——电流計;  $R_1, R_2$ ——“KMC-6”型的10万欧姆电阻箱;  $r_0$ ——1或10欧姆的标准电阻;  $r_1$ ——20欧姆的导綫电阻,  $r_2$ ——50万欧姆的导綫电阻, ППТБ-1——高阻电位計; mA——“MC-16”型毫安計;  $V_0$ ——惠斯登标准元件  $V$ ——2至20伏的蓄電池或干電池  $K_1, K_2, K_3, K_4$ ——开关。

$\frac{S}{ac}$  为量热计的惯性常数,在每种情况下,都是由量热计圆筒的加热实验曲线:

$$T - T_0 = f(t)$$

来决定的。

对我们所应用的量热计来说  $\lambda_0$  约等于  $0.04 \text{ 分}^{-1}$ , 因此每进行一次测量需要 2—3 小时。在后面所描述的测量中,所应用的量热计的其他一些主要性质是:量热计圆筒的内直径和外直径分别为 16 和 18 毫米;其高度为 85 毫米。这二个圆筒放在厚实的铜屏  $c$  的里面。铜屏是由二个相连的厚铜壁(壁厚约为 6 毫米)的圆筒所构成的,里面的量热计圆筒和外面铜屏之间的空隙是 3 厘米。

为了减少辐射损失热量,铜屏的内表面和量热计圆柱筒  $A$ 、 $B$  的外表面都经过抛光和镀银。铜屏  $C$  放在厚实的铜箱  $D$  内,为了避免温度的迅速变化,铜箱又放置在恒温器的里面的。图 2 就是在我們测量中所应用的量热计的线路图。放置量热装置的实验室温度应该在  $\pm 0.2^\circ\text{C}$  的范围内保持恒量。采用简单的接触温度计控制的继电器和一个或二个普通的热通风机构成的自动装置即可做到这一点。此外,在量热计的“零点”圆筒中放置着“补偿”热容量的介质,这样就可以大大地减小周围介质温度变化的影响。

二个量热计圆筒之间的温差是应用铜-康铜热电偶的热电法测定的。在图 2 上同时还包括了刻度线路和测量线路的总电路图。

开关  $K_1$  是完全由铜制成的,这样就可以消除产生热电动势的可能性。在这个开关中所采用的交叉连接,可以除去电流计导线中所产生的热以及接触电位差的影响。

开关  $K_2$  可以固定电流计的零点位置,并且根据惠斯登标准元件可以监督电流计的灵敏度;假如串联上电阻箱  $R_1$ , 就可以改变这个灵敏度;因而也就改变了测量的范围。量热计的刻度是借助于锰镍铜或镍铜合金所制成的刻度线圈用电学方法进行的。

根据“ПНТБ-1”型高阻电位计电路中标准电阻  $r_0$  上的电压降,就可以决定刻度线圈中的电流强度。在刻度量热计时确定了电流计的偏转和加热器中电流所发出的热功率的关系。图 3 所示的就是在我們所感兴趣的热效应范围(18—24 卡/小时)中的刻度曲线。

我們所采用的鐳制品所发出的热量就恰好在这个范围中。从这曲线中可以知道:量热计的灵敏度等于  $2 \cdot 10^{-4}$  瓦/毫米,当采用电压常数为  $3 \cdot 10^{-7}$  伏/毫米·米的同样的测量电流计时,这个量热计可以很稳定地工作,其灵敏度很高,约  $2-4 \cdot 10^{-5}$  瓦/毫米的数量级。我們在每一个量热计圆筒中安置着几对(5—10 对)铜-康铜热电偶,为了绝缘起见,热电偶应装在细薄玻璃管中,并用虫胶把它们固定在圆筒底部的相应小孔中。

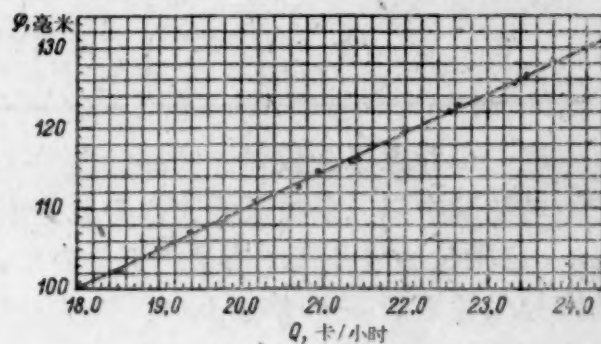


图 3 刻度曲线

曾经安置了许多专门实验研究了所用量热计装置的各种性质,测定了惯性常数  $\lambda_0$ ,研究了量热计圆筒表面反射能力的影响以及在量热计中的热传导条件。也研究了刻度曲线与量热计圆筒和外面铜屏之间空隙大小的关系;证明了:温度差的平衡数值  $T - T_0$  与被测制品的热容量、热源在量热计圆筒内的位置及其内部的热传导条件无关。为了完全消除可能产生的其他一切效应的影响,在进行量热计的刻度时,所应用的刻度加热器的线圈应尽可能维持被测制品中原有的放热和热交换条件。曾经使用这个仪器对不同数值的热效应进行过测量,并特殊地注意到它们所能达到的精确度;表明:在现有的恒温条件下,对大于 5—10 卡/小时的热效应进行



测量时,其误差约为 0.3—0.5%。测量误差的形成主要是对电流计的偏转计算不够精确以及电流计的灵敏度不够稳定。在绘制刻度曲线时,测量加热器中所产生的热功率的误差小于 0.1%。

曾对镭制品进行了三组量热测量,每二次测量之间的相隔时间约二个月。表 3 中引入了各组量热测量的结果  $Q$ ,其数值是与制品在焊封时的热效应数值  $Q_0$  相对应的,还援引了每个制品的平均值  $\bar{Q}_0$ 。在计算  $Q_0$  时,还考虑了从焊封安瓿至测量时所生成的 RaD, RaE 和  $Po^{210}$  所产生的热效应  $\Delta q_t$ 。根据最近的数据来计算这些修正值:  $Po^{210}$  的  $\alpha$  粒子能量为 5.3006 兆电子伏<sup>[33]</sup>; RaE 的  $\beta$  谱的平均能量为 320 千电子伏<sup>[34]</sup>; RaD 的衰变能量为 48.5 千电子伏<sup>[35]</sup>;这些元素的  $T$  值分别为 138.4 天<sup>[36]</sup>、5.013 天<sup>[37]</sup> 和 19.4 年<sup>[38]</sup>。

表 3 镭制品的量热测量

实 验 组 别	放 射 性 制 品								
	Ra-I			Ra-II			Da-III		
	$Q$	$\Delta q_t$	$Q_0=Q-\Delta q_t$	$Q$	$\Delta q_t$	$Q_0=Q-\Delta q_t$	$Q$	$\Delta q_t$	$Q_0=Q-\Delta q_t$
第 1 组 12—15/Ⅺ 1956 年	21.06	0.144	20.92	23.20	0.144	23.06	19.66	0.116	19.54
	21.22		21.08	23.26		23.12	19.70		19.58
	21.23		21.09	23.29		23.15	19.72		19.60
	21.25		21.11	23.42		23.28	19.92		19.80
	21.30		21.16	23.53		23.37			
第 2 组 6—9/Ⅱ 1957 年	20.31	0.164	20.65	23.09	0.168	22.92	19.57	0.141	19.43
	21.11		20.95	23.11		22.94	19.67		19.53
	21.07		20.91	23.51		23.34	19.77		19.63
	21.05		20.89	23.47		23.30	19.76		19.62
				23.37		23.20			
第 3 组, 23—30/Ⅲ 1957 年	21.08	0.183	20.90	23.42	0.190	23.23	19.63	0.159	19.47
	21.12		20.94	23.42		23.23	19.60		19.44
	21.12		20.94	23.52		23.33	19.72		19.56
	21.12		20.94						
平 均 值	—	—	$20.96 \pm 0.03$	—	—	$23.19 \pm 0.04$	—	—	$19.55 \pm 0.03$

进一步考虑了在放射性制品的盐内(自吸收)、安瓿(由壁厚为 0.5 毫米的黄铜容器所保护)的玻璃中以及量热计圆筒本身几毫米厚的铜壁中吸收了一部分  $\gamma$  射线而产生的热效应  $\Delta q_r$ 。自吸收效应是用图表法近似估计的。同时取在  $RaBr_2$  盐中  $Ra^{226}$  平衡制品的  $\gamma$  辐射有效质量吸收系数  $\mu-\sigma$ , 等于 0.65。这些计算表明:在制品本身中应该吸收掉 1.6—1.7% 的  $\gamma$  辐射总能量。

根据镭源的  $\gamma$  辐射在玻璃、黄铜和铜中的实验吸收曲线就可以估计出在相应的物质中  $\gamma$  辐射的吸收程度,从这些曲线中可以知道:在玻璃中的吸收修正为 1%,而在量热计和保护容器的铜和黄铜壁中的修正值为 3.5%。由于在平衡镭制品中  $\gamma$  辐射在总能量的组成中只占 7.0%<sup>[39]</sup>,因此吸收  $\gamma$  辐射而引起的热效应的增加仅仅为 0.43%。在表 4 的最后第二项是  $Q_{\alpha+\beta} = Q_0 - \Delta q_r$ ,即相应的镭制品中仅仅由于吸收了较易吸收的放射性辐射( $\alpha$  射线;反冲核; $\beta$  粒子以及转换电子)以及伴随转换过程的大部份伦琴射线而产生的热效应。在计算  $Q_{\alpha+\beta}$  时,还考虑了不被量热计吸收的韧致辐射能量的修正  $\Delta q_T$ ,在我们的情况下,它很小(约 0.03%),故可以忽略。

表 4 1 克 Ra<sup>226</sup> 的热效应

放射性制品	RaBr <sub>2</sub> 的重量, 毫克	杂质含 量, %	Ra <sup>226</sup> 的重量, 毫克	1 毫克 当量的 放射性 制品	热效应毫卡/小时		1 克 Ra <sup>226</sup> 的热效应 $\alpha + \beta = \frac{Q_{\alpha+\beta}}{p}$ , 卡/小时 · 1 克 Ra <sup>226</sup>
					$Q_0$	$Q_{\alpha+\beta} = Q_0 - \Delta q_{\gamma} + q_T$	
Ra—I	274.8	0.17	160.7	157.0	20.96	20.88	129.20
Ra—II	305.8	0.20	178.8	175.6	23.19	23.10	129.90
Ra—III	256.3	0.18	149.9	147.7	19.55	19.48	129.95

$$\text{平均值 } \frac{Q_{\alpha+\beta}}{p} = q'_{\alpha+\beta} = 129.70$$

根据  $Q_{\alpha+\beta}$  的数值, 我們計算了单位重量 (1 克 Ra<sup>226</sup>) 的热效应数值  $q'_{\alpha+\beta}$ , 相应的数据列在表 4 的最后一项中。

同时还考虑了所有制品的光谱定量分析结果, 根据铜火花方法所进行的分析结果表明: 在所有的三个放射性制品中, 仅仅包含着极少量的杂质; 周期表中第二族的某些元素。在所有的情况中杂质的总重量不超过放射性制品总重量的 0.2%。在计算比值  $Q_{\alpha+\beta}/p$  和  $q'_{\alpha+\beta}$  时, 我們考虑了在每一个放射性制品中所有的  $\alpha$  杂质总含量。从表 5 中可以看到; 这个比值对三个样品来说都是差不多相等的。我們所获得的数值  $q'_{\alpha+\beta}$  和  $\bar{q}'_{\alpha+\beta}$  的平均值 129.7 卡/小时 · 1 克 Ra<sup>226</sup> 之间的差异不超过 0.4%。这个数值的误差约为 0.5%。它是由量热测量误差 (0.4%)、称量误差 (0.2%) 以及各个修正系数的误差 (0.1%) 加在一起而得到的。

光谱分析的误差为 50%, 而反映在  $q_{\alpha+\beta}$  最后结果上的误差为 0.1%。

当把  $p = 0.5858$ 、 $P$ 、 $(1 - \alpha)$  的值和 1 毫克当量的放射性制品的相应值  $J$  进行比较时发现 (表 4): 前者的数值要比后者的数值大得多<sup>2)</sup> (平均约大 2%)。这样看来, 在进行电离测量时, 放射性制品中的含镭量大大地减少了。其实这是必然的结果:

首先, 因为在全苏度量衡科学研究所中进行  $\gamma$  测量时, 所应用的主要标准制品 X1 含镭量为 14.45 毫克, 这样就比我们的放射性制品中的含镭量少得多; 其次, 该标准制品并没有焊封在第二个玻璃安瓿中。假如同时还考虑到在内安瓿的厚壁中所存在的某些差别, 那末最后一个原因将在我们的制品中减少 0.5—0.7% 的含镭量。我們所进行的计算还进一步表明: 在 15 和 150 毫克的镭制品中,  $\gamma$  辐射的自吸收具有显著的差别且其数值达到 0.8%。由此可见: 数值  $J$  和  $P$  (1.3—1.6%) 之间所预计的差别, 接近于实验中所观察到的数值。

从  $q'_{\alpha+\beta} = 129.7$  卡/小时 · 1 克 Ra<sup>226</sup> 的数值中, 可以直接计算出与此有关的 Ra<sup>226</sup> 的半衰期。

表 5 中援引了不同的镭系元素在每一次衰变时所放出的能量值  $E_i$ 。因为在计算放射性制品的各种热效应时, 不同形式的放射性辐射之间的能量分布是很重要的 (为了估计放射性辐射被量热计所吸收的程度)。所以在表 5 中还援引了  $\alpha$  辐射 (考虑了反冲核的能量)、 $\beta$  辐射、转换电子以及与辐射转换过程伴生的伦琴射线所产生的能量值  $E_{ik}$ 。在这个表中同时还列入了每一个镭系元素的  $\gamma$  辐射总能量, 其数值是根据 Ra; RaB RaC 和 RaC' 的  $\gamma$ -谱中, 每一条谱线

1) 对 1 克 Ra<sup>226</sup> 的  $\alpha$  和  $\beta$  辐射所产生的热效应, 我們所获得的数值  $\bar{q}'_{\alpha+\beta}$  要比文献 [39] 中的数值  $q'_{\alpha+\beta} = 130.5$  卡/小时 · 1 克 Ra<sup>226</sup> 少一些小。在文献 [41] 中应用了微量热计对三个国际镭标准制品进行了比较; 穿过 1.84 毫米厚的铅时, 1 克 Ra<sup>226</sup> 的辐射热效应数值为 130.2 卡/小时, 这应该是和  $q_{\alpha+\beta} = 128.3$  卡/小时 1 克 Ra<sup>226</sup> 的数值相当的。

2) 直接从 Ra—III 所制成的镭制品 RaSO<sub>4</sub> 中镭的重量与 1 毫克当量制品之间也存在着同样的差值 (表 2)。考虑了制品中杂质含量的镭的重量为 148.2 毫克, 而 1 毫克当量的  $I$  制品的含镭量等于 145.3 毫克当量, 所以这二个数值的差值, 仍然和以前一样, 约等于 2%。

在文献 [42] 中详细地叙述了在电离测量时, 苏联的国家标准镭制品和被测制品中由于吸收了  $\gamma$  辐射而形成的系统地减少含镭量等问题。



表 5  $\text{Ra}^{226}$  系的元素一次衰变所放出的平均放射性辐射能

元 素	一次衰变时的平均能量(千电子伏)					
	$\alpha$ 辐射, $E_\alpha$	$\beta$ 粒子, $E_\beta$	转换电子和 伦琴射线 $E_e, E_x$	$\gamma$ 量子, $E_\gamma$	$E_{\alpha+\beta} = E_\alpha + E_\beta +$ $E_e + E_x$	$E_{\alpha+\beta+\gamma} = E_{\alpha+\beta} +$ $E_\gamma$
Ra	4854.1	—	5.3	5.8	4859.4	4865.2
Rn	5585.3	—	—	0.4	5585.3	5585.3
RaA	6110.1	—	—	—	6110.1	6110.1
RaB	—	220	70.1	179.4	290.1	469.5
RaC	1.7	650	13.2	1598	664.9	2262.9
RaC'	7825.3	—	—	—	7825.3	7825.3
RaC''	—	0.2	—	1.0	1.2	1.2
$\Sigma E_i$	24376.5	870.2	88.6	1784.1	25335.3	27119.4

注:  $E_{\alpha+\beta} = 25335.3$  兆电子伏/ $\text{Ra}^{226} \cdot 1$  次衰变;  $q_{\alpha+\beta} = 129.24$  卡/小时  $\cdot 1$  居里  $\text{Ra}^{226}$ ;  $E_{\alpha+\beta+\gamma} = 27119.4$  兆电子伏/ $\text{Ra}^{226}$  衰变;  $q_{\alpha+\beta+\gamma} = 138.34$  卡/小时  $\cdot 1$  居里  $\text{Ra}^{226}$ .

的相对强度的数据以及 1935 年的文献[39]中关于  $\text{Ra}^{226}$  平衡制品中  $\gamma$  辐射热效应的实验数据(9.1卡/小时 1 克  $\text{Ra}^{226}$ )而计算出来的。表 5 和相应的  $E_i$  能量数值表[29]的差别很小。最近的工作仅仅精确化了 RaB 和 RaC  $\beta$  谱的平均能量值;这些制品中的转换电子数以及某些其他的数据有一些改变。和自己短寿命派生产物处于平衡态时, 1 居里  $\text{Ra}^{226}$  容易吸收辐射的能量为  $E_{\alpha+\beta} = 25.335$  兆电子伏/ $\text{Ra}^{226}$  和  $q_{\alpha+\beta} = 129.24$  卡/小时  $\cdot 1$  居里  $\text{Ra}^{226}$  (1 居里 =  $3.7 \cdot 10^{10}$  次衰变/秒)。显然,  $E_{\alpha+\beta}$  和  $q_{\alpha+\beta}$  数值的误差不大于 0.3%。因为, 产生大部分能量的  $\alpha$  粒子能量值其精确度不低于 0.1 甚至 0.05%, 测量  $\beta$  谱的平均能量和转换电子能量的误差要大得多。可能这个误差值不小于 3—5%。但由于在镭制品的总能量平衡中, 这部分能量总共只占 3.8%, 所以由于这些数值的不精确所引起的误差将不超过 0.2%。

根据上述  $q_{\alpha+\beta} = 129.24$  卡/小时  $\cdot 1$  居里  $\text{Ra}^{226}$  的数据, 对  $\text{Ra}^{226}$  来说我们可以求得  $Z = (3.71 \pm 0.02) \cdot 10^{10}$   $\alpha$  粒子/秒  $\cdot 1$  克  $\text{Ra}^{226}$  和  $T = 1577 \pm 9$  年。

我们所得到的  $Z$  和  $T$  的数值和国际协会上所采用的数值 ( $z = 3.70 \cdot 10^{10}$  次衰变/秒  $\cdot 1$  克  $\text{Ra}^{226}$ ;  $T = 1580$  年)很相近。但却与文献[22]和[23]中的数值有显著的差别 ( $z = (3.61 - 3.62) \cdot 10^{10}$  次衰变/秒  $\cdot 1$  克  $\text{Ra}^{226}$ ;  $T = 1617 - 1622$  年)。为了弄清楚类似差别的原因, 应用这些文献中曾经采用过的方法以及应用其他可能的方法对这些重要数值进行再次的测定是很有意义的工作。

作者对参加量热测量和部分计算工作的马尔蒂诺夫 (Ю. С. Мартынов) 深表谢意; 同样感谢斯米尔诺夫 (Б. К. Смирнов) 保证了镭制品的制备工作, 斯达利克 (И. Е. Старик) 和齐夫 (Д. М. Зив) 提出了宝贵的意见, 并讨论了本文的结果。

邹 雅 周 廉译

#### 参 考 文 献

- [1] J. Danysz, W. Duane. *Compt. rend.*, 155, 500 (1912).
- [2] E. Rutherford, H. Geiger. *Philos. Mag.*, 28, 320 (1914).
- [3] H. Iedziewski: *Ann. phys.*, 9, 128 (1928).
- [4] H. Braddick, H. Cavé: *Proc. Roy. Soc.*, A121, 367 (1928).
- [5] B. Boltwood: *Amer. J. Sci.*, 25, 493 (1908).
- [6] B. Keetman: *Jahrb. Rad. Elect.*, 6, 271 (1909).
- [7] St. Meyer, E. Schweidler: *Wien. Ber.*, 122 1091 (1913).

- [8] E. Gleditsch, E. Föyn: *Amer. J. Sci.*, **41**, 112 (1916).
- [9] R. Lawson, St. Meyer: *Wien. Ber.*, **125**, 723 (1916).
- [10] E. Gleditsch: *Arch. Math. Naturwidenskab.*, **36**, 110 (1919).
- [11] E. Gleditsch, E. Föyn: *Amer. J. Sci.*, **24**, 387 (1932).
- [12] E. Gleditsch, E. Föyn: *Amer. J. Sci.*, **29**, 233 (1935).
- [13] J. Dewar: *Proc. Roy. Soc.*, **A83**, 404 (1910).
- [14] B. Boltwood, E. Rutherford: *Philos. Mag.*, **22**, 586 (1911); **28**, 320 (1914).
- [15] L. Wertenstein: *Philos. Mag.*, **6**, 17 (1928).
- [16] P. Gunther: *Z. phys. Chem.*, **A185**, 367 (1939).
- [17] E. Rutherford, H. Geiger: *Proc. Phys. Soc.*, **A81**, 141 (1908).
- [18] V. Hess, R. Lawson: *Wien. Ber.*, **127**, 405 (1918).
- [19] H. Geiger, A. Werner: *Z. Phys.*, **21**, 187 (1924).
- [20] H. Geiger, A. Werner: *Tätigkeitsber. Phys. Techn. Reichsamt.*, **47** (1924).
- [21] F. Ward, C. Wynn-Williams, H. Cave: *Proc. Roy. Soc.*, **A125**, 713 (1929).
- [22] P. Kohman, D. Ames, J. Sedlet: *NNES*, **14B**, 1675 (1949).
- [23] W. Sebaoun: *Ann. phys.*, **1**, 680 (1956).
- [24] I. Curie, F. Joliot: *Compt. rend.*, **187**, 43 (1928).
- [25] V. Hess: *Wien. Ber.*, II a, **121**, 1419 (1912).
- [26] S. Watson, M. Henderson: *Proc. Roy. Soc.*, **A118**, 318 (1928).
- [27] L. Meitner, W. Ortmann: *Z. Phys.*, **60**, 143 (1930).
- [28] Г. В. Горшков, Н. С. Шияманская: *Атомная энергия*, № 5, 86 (1956).
- [29] M. Curie, A. Debierne etc: *Rev. Mod. Phys.*, **3**, 427 (1931).
- [30] J. Stout, W. Jones: *Phys. Rev.*, **71**, 582 (1947).
- [31] Н. С. Шияманская, Е. А. Яшугина: *Атомная энергия*, № 5, 133 (1956).
- [32] Н. С. Шияманская: *Тр. Радиового ин-та АН СССР*, **7**, 198 (1956).
- [33] G. Briggs: *Rev. Mod. Phys.*, **26**, 1 (1954).
- [34] J. Zlotowski: *Phys. Rev.*, **60**, 483 (1941).
- [35] C. Wu: *Phys. Rev.*, **91**, 319 (1956).
- [36] J. Eichelberg, K. Jordann, S. Orr, J. Parks: *Phys. Rev.*, **96**, 719 (1954).
- [37] J. Robert, J. Tobailen: *J. Phys. et radium*, **17**, 440 (1956).
- [38] J. Tobailen: *J. Phys. et radium*, **16**, 235 (1955).
- [39] J. Zlotowski: *J. Phys. et radium*, **6**, 242 (1935).
- [40] M. Fred, N. Nachtrieb, F. Tomkins: *J. Opt. Soc. America*, **37**, No. 4, 279 (1940).
- [41] W. Mann: *J. Res. Nat. Bur. Standards.*, **53**, 270 (1954).
- [42] Г. В. Горшков, Ф. М. Караваев, Н. С. Шияманская: *Измерительная техника*, **3**, 52 (1959).



# 簡 報

## 分 段 的 反 應 堆 系 統<sup>1)</sup>

杜鮑夫斯基 (Б. Г. Дубовский)

分段的反应堆系统是一个高能量负荷临界堆(点火中子源)和相联的次临界段(中子增殖段)的組合体。在临界堆和第一个次临界段的边界上,同样在次临界段的每个边界上都没有中子閥門,它只允許中子向一个方向移动。中子閥門由对热中子是黑体的  $U^{235}$  层、鎳层(采用鈇层或极貧鈇层更有利)和慢化剂层組成。允許中子从鈇向慢化剂移动。鈇层靠近临界堆或前一个次临界段。次临界段的增殖系数由其次临界度所决定。

从次临界段逃出的絕大多数中子不能通过中子閥門向反方向流过,因为中子在慢化区内被慢化和在吸收层內被吸收。

本文与鮑尔斯特 (Борст)<sup>2)</sup> [1] 文章互不依賴的,在本文內叙述了收斂系統 (конвергент-ронная система) 中分开次临界系統的中子閥門,这个收斂系統應該消除在事故状况下反应堆功率增长的不可控制的可能性。为了提高中子閥門的有效性在鎳层附近加一薄水层或其他含氫物質层更好,因为氫对分裂能譜快中子的散射截面要比对慢中子小得多,氫层按中子閥門允許的方向放过快中子和将阻碍慢中子和热中子落到吸收层中。这样,水层当以快中子对一个方向点火时就具有了閥門性質。所以在吸收层中被吸收的中子数将減少很多。欧尔落夫 (Орлов В. В.) 所进行的計算表明,当水层約为 2 厘米时中子通过閥門的系数可能达到 0.9。必須指出,中子閥門可以“联接”任何类型的反应堆,其中包括快中子和中能中子堆。次临界段的能量释出使分裂同位素的燃耗深度增加很多。为了說明这一点,这里給出分段反应堆系統的必要参数,此分段反应堆系統有与第一个原子能电站相同的柵格<sup>3)</sup>:

柵格增殖系数	1.38
中子总漏失, %	28
通过側面中子几何漏失, %	12
通过中子閥門和参加次临界段增殖的临界反应堆中子百分数, %	10
次临界段的有效增殖系数 $K_{eff}$ , 当次临界段工作的功率等于临界反应堆功率时	0.9

通过考虑次临界装置形状的影响(环状段)而減少装載量或者通过在柵格中装載燃烧过的放热元件的办法可以使次临界段的有效增殖系数等于 0.9。由于后备反应性在原子电站反应堆的一个燃烧周期中为 0.03,因此燃料的燃耗深度可以增加 1—2 倍。在次临界段的能量释出可以在  $K_{eff} < 1$  时进行,为了得到极大的热中子通量,这种情况允許采用分段反应堆的系統。真的,在与临界堆內的中子增殖和漏失参数值相同时,次临界段中的热利用系数可能由于結構材料的增加而随  $K_{eff}$  数值而減少。这样,就存在在相同热負荷的情况下增加热中子通

1) 本文曾在 1957 年苏联部长會議所属和平利用原子能总局物理研究所学术委员会物理組会上报告过。

2) 中子閥門于文献[2]中同样危險。

量的可能性。对原子电站反应堆的栅格来说， $K_{eff}$  从 1 减至 0.7 可使热中子通量增加约二倍。

为了得到极大热中子通量，采用“收敛”的分段反应堆系统是有利的，这里外层环状临界点火反应堆向相邻内层次临界段用中子点火，而这个次临界段又向其相邻的中央段点火。在这种“收敛”分段反应段系统中中子阀门允许中子从边区向中心移动。对于在脉冲中得到极高中子通量的脉冲工作情况，分段反应堆系统的使用有着很大前途。

最后，向克拉辛(Красин)、鲍达连科(Бондаренко)和盖拉谢夫(Герасев)对本工作给予关心和给予有价值的建议而表示感谢。

### 参 考 文 献

- [1] L. Borst: *Phys. Rev.*, **107**, 905 (1957).
- [2] В. Г. Дубовский, А. В. Камаев, Е. Ф. Макаров: *Атомная энергия*, II, № 3, 279 (1957).
- [3] А. К. Красин, В. Г. Дубовский, Е. Я. Доильницын, Л. А. Маталин, Е. И. Инютин, А. В. Камаев, М. Н. Ланцов: *Атомная энергия*. № 2,3 (1956).

## 重水密度的实验研究<sup>1)</sup>

里夫金(С. Л. Ривкин)

温度达 300°C，压强达 100 公斤/厘米<sup>2</sup>时的重水密度用定容微压表研究。试验液体要在已知温度和大气压力下装进微压表内，因为在上述条件下液体密度很容易测出（精确度约达 0.003%<sup>[1]</sup>）。根据微压表的体积和液体的密度得出液体在微压表内的原始量。然后将装有液体的微压表放在高压恒温器内。微压表的体积利用将液体封闭在毛细管内的水银来固定。加热时液体就膨胀。如果压力增加到规定的数值并从微压表内放出部分液体，可以恢复封闭液体的水银的原有平面。将微压表放出的那一部分液体数量称过以后，就能得到试验液体的密度。此时要算进微压表体积因温度变化而变化的相应修正量以及位于恒温器以外的微压表毛细管，也就是所谓中介体积内的液体数量变化的修正量。

图 1 是实验装置的示意图。加压锅由其下部和上部的厚壁管子用法兰盘连接组成，不锈钢制的带有盖板和底板的空心圆柱体微压表就置于锅内。微压表底板上焊有二根内径为 0.3 毫米的不锈钢毛细管。其中一根经阀门 5 同微压表的供水系统相连，并经阀门 7 同排出管相连。另一根通过转接管与玻璃毛细管用白金焊住（表示水银平面之用）。玻璃毛细管伸至为微压表封闭试验液体用的水银座内。白金焊接处要置于恒温器以外，这样水银也就全部处在接近室温的温度范围以内。

重水在微压表内受到热倍加器(M 和 B 瓶)系统通过阀门 8 和控制供氮速度的观察段 16 向加压锅放出的氮气的压缩。进入加压锅的氮气不断从水银座里将水银挤至微压表并压缩重水到所需压力。这样一来，使微压表避免了单向压力。

加压锅上部装有恒温器，它是由铜制的主体和二个端接部分组成，恒温器上装有由稳压电源供电的电热器。

微压表体积通过 12 次单独测量所得之平均值在温度为 20°C 时测定为  $118.160 \pm 0.005$  厘

1) 本文是 1957 年全苏热工研究所科学技术会议上的报告。



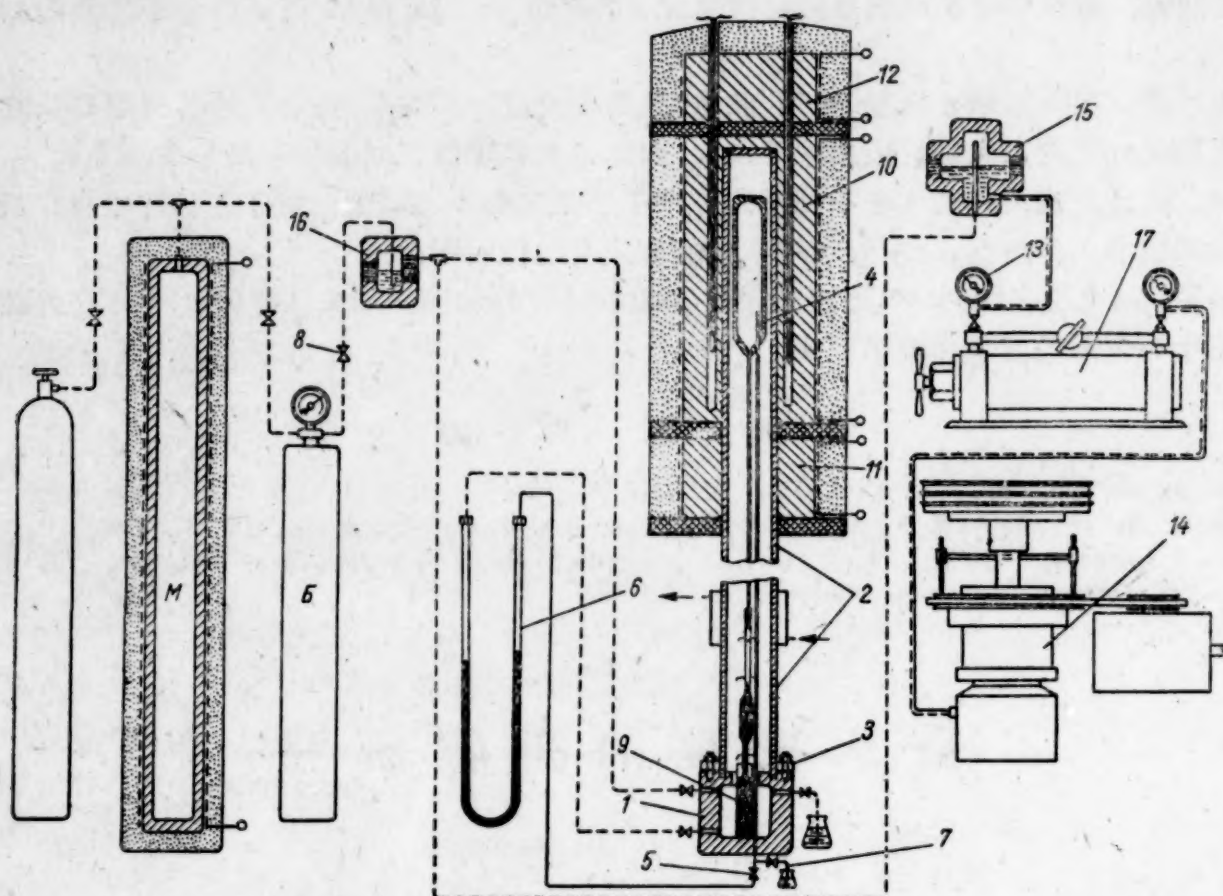
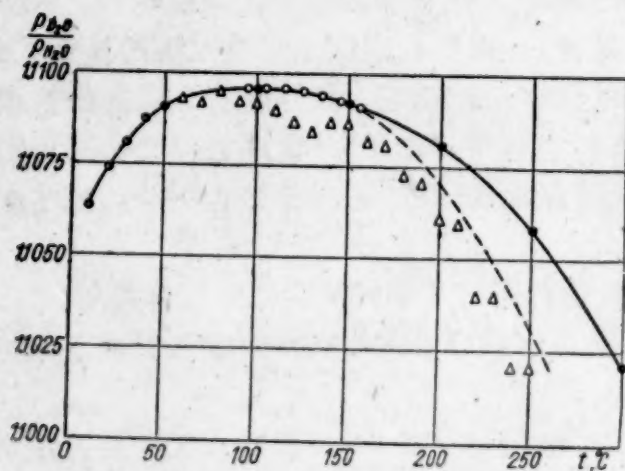


图 1 实验装置示意图

1—下部加压锅；2—加压锅管子；3—法兰盘连接；4—微压表；5—阀门；6—微压表的供水系统；7—排出阀；8—供氮阀；9—水银座；10—恒温器主体；11—下部恒温器；12—上部恒温器；13—弹簧压力计；14—活塞压力计；15—断路容器；16—向加压锅供氮速度观察段；17—油压机；M和B—热倍加器瓶。

米<sup>3</sup>。另外一个仅在某些实验中使用的微压表之体积为  $104.448 \pm 0.005$  厘米<sup>3</sup>。

装 D<sub>2</sub>O 的微压表不恒温(中介)部分的体积约为其测量部分体积的 0.12%。中介体积的主要部分是处在室温范围以内,而且在这个体积内 D<sub>2</sub>O 的数量变化在实验中任何条件下都小于 1%。因此上述这个情况,即便不考虑它的数量变化,也不会使误差  $> 0.001\%$ 。中介体积在过渡温度(从恒温器温度到室温)范围以内只有微压表体积的 0.02%,完全有把握考虑得到的。

图 2 D<sub>2</sub>O 和 H<sub>2</sub>O 密度比与温度的关系

●——本文数据；○——文献[1]的数据(在温度  $-25^\circ\text{C}$  时  $\rho_{D_2O}$  等于 1.10448 克/厘米<sup>3</sup>)；○——文献[4]的数据；△——文献[5]的数据；-----文献[6]的数据外推。

处于平衡状态时,试验液体的温度等于恒温器的温度,可以用精确度  $\pm 0.01^\circ\text{C}$  的白金电阻温度计测量。压力用 0.2 级标准弹簧压力计和活塞压力计测定,这二个压力计通过断路容器和油压机同加压锅相连。

进行主要实验以前,用 H<sub>2</sub>O 做实验来检查装置。温度为  $100^\circ\text{C}$  时对 H<sub>2</sub>O 密度测量所得的结果以精确度 0.01% 与已知数据相一致。D<sub>2</sub>O 密度是在等温线 50, 100, 150, 200, 250 和  $300^\circ\text{C}$  以及压强达 100 公斤/厘米<sup>2</sup> 的情况下测出的。D<sub>2</sub>O 密度的各等温线在研究的压力范围之内都和 H<sub>2</sub>O 一样是直线。实验结果表明,在实验规定的精确度

下,压力对  $D_2O$  和  $H_2O$  密度的影响是相同的,也就是說这二种密度之比不受参数研究范围以内的压力的影响。

图2和表格载有  $D_2O$  和  $H_2O$  密度比与温度的关系。 $H_2O$  密度值取自文献[2,3]。对可能发生的误差分析表明,  $D_2O$  密度测量的最大偏差不会超出 0.01—0.03% 的范围(最后的数字适用于 300℃ 等温线)。外推点在相应连接曲线的各等温线上的误差在 0.005% 范围以内,这样就可以证实测量结果复验同样良好,偶然误差极小。

图2还载有我們所取得的结果同文献[4]的数据(95—160℃)和文献[5]的数据(35—250℃)之对照。我們的数据与文献[4]的数据之间误差不超过 0.01%。文献[5]的结果离我們研究的结果那就很远了;偏差随温度升高而加大,当温度为 250℃ 时达到 0.35%。这个偏差可以用文献[5]所做的密度测量不够精确的原因来解释,按作者本人的意见,测量误差在  $\pm 0.2\%$  (室温)至  $\pm 0.6\%$  (高温)范围以内。在文献[6]中也指出了文献[5]的数据不太可靠并认为文献[4]利用外推数据所取得的  $D_2O$  和  $H_2O$  密度比值较正确。文献[6]进行外推时考虑了文献[5]的实验数据并且使密度比曲线平行于贯穿这些实验数据的曲线。从图2可以看出,文献[6]的外推值与我們的数据要比文献[5]的数值来得相近,但偏差在温度为 250℃ 时仍达到 0.25%。因此我們的测量不能证实文献[6]的外推法。图2未引入文献[7]和[8]的实验数据(温度为 100℃ 时),这些数据恰好与我們的数据完全一致。

图2和表格可以用作测定  $D_2O$  在压强达 100 公斤/厘米<sup>2</sup>和温度达 300℃ 时的密度,表格对  $H_2O$  亦适用。

表  $D_2O$  和  $H_2O$  密度比与温度的关系

$t, ^\circ C$	$\rho_{D_2O}/\rho_{H_2O}$	$t, ^\circ C$	$\rho_{D_2O}/\rho_{H_2O}$
50	1.10904	180	1.10862
60	1.10930	190	1.10834
70	1.10944	200	1.10802
80	1.10950	210	1.10772
90	1.10953	220	1.10740
100	1.10955	230	1.10704
110	1.10955	240	1.10660
120	1.10951	250	1.10610
130	1.10943	260	1.10552
140	1.10933	270	1.10484
150	1.10920	280	1.10405
160	1.10905	290	1.10315
170	1.10855	300	1.10210

### 参 考 文 献

- [1] И. Киршенбаум: Тяжелая вода. М., Издво иностр. лит., 1953.
- [2] F. Keyes: *Proc. Amer. Acad. Arts and Sci.*, **68**, 505 (1933).
- [3] L. Smith: *Proc. Amer. Acad. Arts and Sci.*, **69**, 137 (1934).
- [4] U. Grossman-Doerth: *Z. Naturforsch.*, **A10**, 799 (1955).
- [5] J. Heiks, M. Barnett, L. Jones, E. Orban: *J. Chem. Phys.*, **58**, 488 (1954).
- [6] E. Whalley: *The Thermodynamic and Transport Properties of Heavy Water. Joint Conference on Thermodynamic and Transport Properties of Fluids* (1957).
- [7] T. Chang, L. Tung: *Nature*, **163** 737 (1949).
- [8] R. Schroder, K. Wirtz: *Z. Naturforsch.*, **A6**, 220 (1951).



## 重水粘滞性的实验研究

基姆洛脱(Д. Л. Тимрот) 舒俊斯卡娅(К. Ф. Шуйская)

研究重水粘滞性的文献目前为数不多。其中如文献[1]取的温度范围最大并且用拉伐契克(Лавачек)方法进行的看来不能算是完全可靠。文献[2]中采用的是毛细管方法获得了最有把握的结果,但研究的温度范围较窄,只达  $125^{\circ}\text{C}$ 。

本实验是按基姆洛脱(Д. Л. Тимрот)所研究的,以前研究  $\text{H}_2\text{O}$  粘滞性<sup>[3,4]</sup>也曾用过的方法进行。粘滞性用毛细管方法测量。毛细管两端的压力差借助于环形天平形成和测量,天平还兼作测量通过毛细管的液体消耗量之用。

实验装置示意图载于图1。环形天平乃是用直径30毫米的管子按圆弧形以半径400毫米折弯而成。环形天平的弯管借助二根管子与中央柱体部分相连,中央柱体部分是用法兰盘同直径20毫米的中央管连接;毛细管就放在这根管子里。

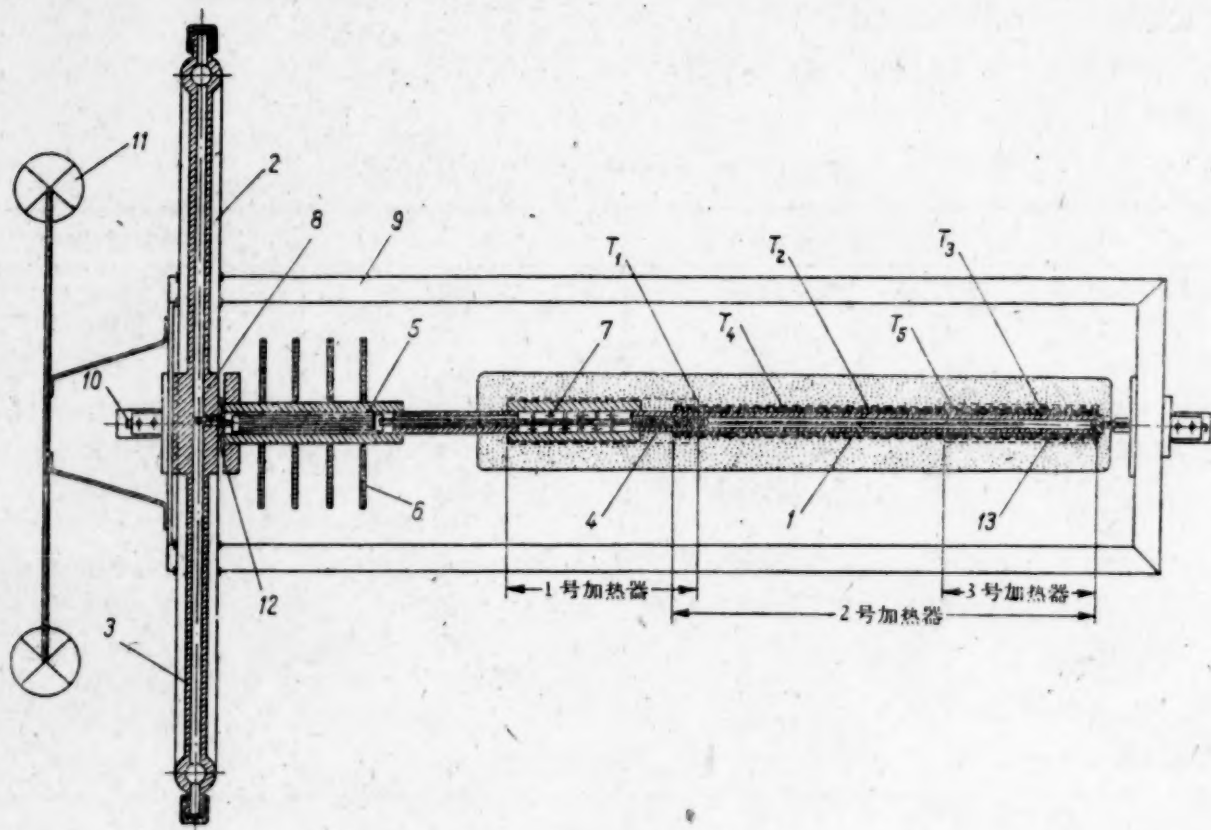


图1 实验装置示意图

- 1——毛细管; 2——天平环形管; 3——天平连接管; 4——中央管; 5——冷凝器; 6——圆铜板;  
7——隔板; 8——中央柱体部分; 9——框架; 10——角架; 11——荷重盘; 12——铜垫;  
13——铜柱体;  $T_1, T_2, T_3, T_4, T_5$ ——热电偶填充处。

装置上所有各主要构件都用不锈钢制作。置放毛细管的那一部分中央管还需套在铜柱体内,它们用来平衡温度的。铜柱体上绕有三个镍铬加热器:一个主加热器(放在柱形体整个长度上)和二补偿加热器(补偿向管子两端跑热之用)。加热器供以稳定交流电。用五个热电偶使实验段长度上的温度场温度均匀。温度以精确度  $\pm 0.1^{\circ}\text{C}$  测量。毛细管长度上温度场的均匀以及试验过程中温度的恒定,在温度为  $100^{\circ}\text{C}$  以内以精确度  $\pm 0.2^{\circ}\text{C}$  保持,对于比较高的

温度应以精确度  $\pm 0.5^\circ\text{C}$  保持。

测量前天平要平衡,也就是说天平重心要与系统旋转的轴心相重合,为此要有专用的调节荷重块。为测定修正荷重的数值,试验要用二个不同的荷重块在同一温度和同一压力下进行。修正荷重的数值不超过主要荷重数值的 5%。

实验以前,装置上为测定天平造成的落差和液体流量做好刻度。连接管的阻力修正量在不用毛细管的专门实验中测定,未超过 0.5%。选择形成落差的荷重值是考虑到毛细管内的液体流动是分层的;所以此时的荷重值可在 400—460 克的范围内调整。

不锈钢毛细管有 329.5 毫米长,内径 0.546 毫米,外径 2 毫米。为了不致使毛细管在长度方向折弯,它被置放在直径 6 毫米与它同样材料的厚壁管子里。

粘滞系数按普哈捷依尔(Пуазейль)方程式,采用加盖伯黑-科爱脱(Гагенбах-Куэрт)动能修正量根据实验数据算出。这个修正量不能超过粘滞系数值的 1.5%。在计算粘滞系数时,还考虑了下列各修正量:天平自转行程修正量  $x_1$ , 连接管阻力修正量  $x_2$ , 毛细管尺寸因温度不同而变化的修正量  $x_3$ 。

最后的修正量按下列公式可得

$$L_t = L_0(1 + 0.151 \times 10^{-4}t + 0.95 \times 10^{-3}t^2 - 0.5 \times 10^{-11}t^3)$$

代入刻度结果并算进修正量之后,方程式可得下式

表 1  $\text{D}_2\text{O}$  粘滞性实验数值

$t, ^\circ\text{C}$	$p, \text{公斤/厘米}^2$	$p, \text{公斤} \cdot \text{秒}^2/\text{米}^4$	$G_1, \text{克}$	$\tau_1, \text{秒/毫米}$	$*G_2, \text{克}$	$\tau_2, \text{秒/毫米}$	$\nu \cdot 10^8, \text{米}^2/\text{秒}$	$\mu_{\text{D}_2\text{O}} \cdot 10^6, \text{公斤} \cdot \text{秒}/\text{米}^2$	$\mu_{\text{H}_2\text{O}} \cdot 10^6, \text{公斤} \cdot \text{秒}/\text{米}^2$	$\mu_{\text{D}_2\text{O}}/\mu_{\text{H}_2\text{O}}$
15.2	46.0	113.0	400	8.84	200	17.94	130	147	117	1.256
16.0	47.5	113.0	100	36.88	50	80.00	128	144	114	1.263
16.5	47.9	113.0	400	8.50	200	17.52	123	139	113	1.230
18.1	97.2	113.2	200	15.68	100	30.27	122	138	109	1.266
18.3	97.5	113.2	400	7.78	200	15.46	117	132	107	1.234
18.3	97.5	113.2	200	15.48	100	30.32	118	134	107	1.252
18.8	99.0	113.2	200	15.32	100	29.86	118	134	106	1.264
19.1	55.0	113.0	400	7.88	200	16.18	115	130	105	1.238
19.2	51.5	113.1	400	7.62	200	15.17	114	130	105	1.238
20.6	57.0	113.0	400	7.38	200	14.70	110	125	101	1.238
47.4	70.8	113.1	200	8.45	100	16.92	62.4	70.6	59.0	1.197
56.0	75.8	112.0	200	7.69	100	15.97	54.9	61.5	51.3	1.199
68.3	89.7	111.2	200	5.95	100	11.43	45.5	50.6	42.7	1.185
96.9	100.0	109.2	100	8.34	50	16.26	31.4	34.3	30.0	1.143
98.7	103.1	109.1	100	8.51	50	17.11	31.0	33.8	29.4	1.150
101.0	120.0	109.0	100	8.75	50	18.23	30.9	33.7	28.7	1.174
109.2	100.0	108.2	150	4.92	75	9.16	29.0	31.4	26.9	1.167
148.7	86.0	104.3	80	7.10	40	13.53	21.5	22.4	19.4	1.155
201.2	111.2	98.3	80	5.38	40	10.10	16.0	15.7	14.0	1.121
205.3	242.0	99.8	80	6.14	40	13.20	16.1	15.9	14.1	1.128
206.4	53.6	97.1	80	6.00	40	12.94	15.6	15.2	13.6	1.118
246.7	321.8	93.7	80	5.44	40	11.30	14.4	13.5	12.1	1.116
247.2	325.0	93.6	80	5.43	40	11.30	14.4	13.5	12.1	1.116
288.0	111.5	84.7	60	5.85	30	10.71	13.2	11.2	10.1	1.109

\* 小荷重  $G_2$  实验中只考虑  $x_1$  修正量。



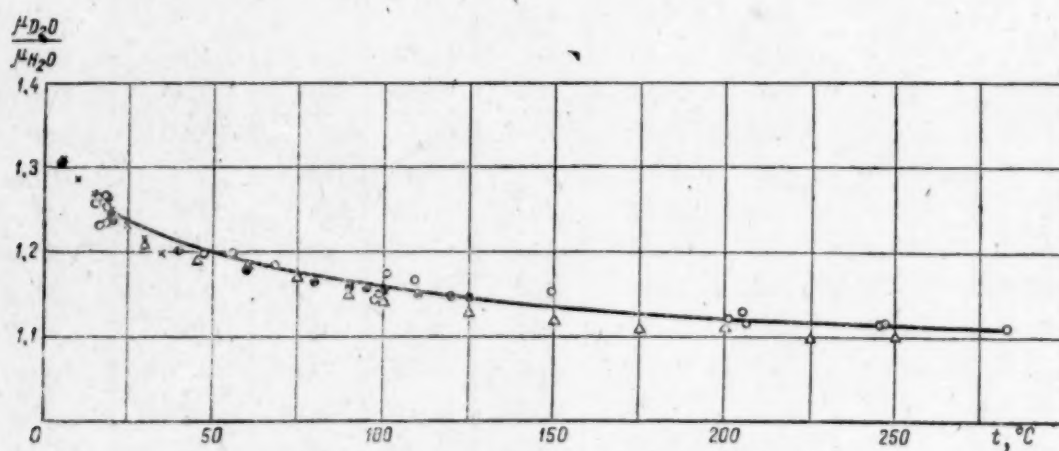
$$\nu = 0.03769[G_1 + (x_1 - x_2)] \frac{\tau_1}{\alpha} - 467.8 \frac{\alpha}{Q\tau_1} + x_3,$$

式中:  $\nu$ ——粘滞运动系数(米<sup>2</sup>/秒);  $G_1$ ——主要荷重值(克);  $\tau$ ——液体在 1 毫米刻度上的流动时间(秒/毫米);  $Q$ ——试验液体密度(公斤·秒<sup>2</sup>/米<sup>4</sup>);  $\alpha = \gamma_p/\gamma_0$ ——D<sub>2</sub>O 的可压缩性系数;  $\gamma_p$ ——温度为 20℃, 试验压力下 D<sub>2</sub>O 比重;  $\gamma_0$ ——温度为 20℃ 及一个大气压下(天平进行刻度时的条件) D<sub>2</sub>O 比重。D<sub>2</sub>O 密度值  $Q$  取自文献[5]。

表 2 D<sub>2</sub>O 在饱和压力时的粘滞性平均值

$t, ^\circ\text{C}$	$\mu_{\text{D}_2\text{O}} \cdot 10^6$ , 公斤·秒/米 <sup>2</sup>	$\mu_{\text{D}_2\text{O}}/\mu_{\text{H}_2\text{O}}$	$t, ^\circ\text{C}$	$\mu_{\text{D}_2\text{O}} \cdot 10^6$ , 公斤·秒/米 <sup>2</sup>	$\mu_{\text{D}_2\text{O}}/\mu_{\text{H}_2\text{O}}$
15	140.5	1.258	150	21.6	1.137
20	127.7	1.247	160	20.0	1.133
30	103.3	1.228	170	18.8	1.130
40	80.7	1.212	180	17.6	1.128
50	67.1	1.199	190	16.5	1.125
60	56.9	1.188	200	15.6	1.123
70	48.8	1.179	210	14.9	1.122
80	42.4	1.172	220	14.2	1.119
90	37.4	1.165	230	13.6	1.118
100	33.4	1.159	240	13.1	1.117
110	30.4	1.153	250	12.5	1.115
120	27.8	1.148	260	12.0	1.113
130	25.4	1.143	270	11.5	1.110
140	23.4	1.139	280	11.1	1.109

以室温至 283℃ 和压强 45—325 公斤/厘米<sup>2</sup> 的范围在上述装置中对 D<sub>2</sub>O (100%) 的粘滞性进行了测量。实验表明, 在所测量的温度和压力范围内, 压力对 D<sub>2</sub>O 粘滞性的影响可与 H<sub>2</sub>O 同等看待。

图 2 各个作者在 D<sub>2</sub>O 粘滞性方面取得的实验数据

○——本文的数据; ●——文献[2]的数据; △——文献[1]的数据; ×——文献[7]的数据。

表 1 载有我们所得的 D<sub>2</sub>O 粘滞性实验数值。表 2 引入 D<sub>2</sub>O 在饱和压力时的粘滞性平均值。实验误差分析表明, 我们测量中最大误差为 ±2%。从数据中可以看出, D<sub>2</sub>O 粘滞系数与 H<sub>2</sub>O 粘滞系数的比是随温度增长而减小; 譬如在 20℃ 时它就等于 1.24, 而在 280℃ 时为 1.11。

H<sub>2</sub>O 粘滞性从文献[6]中的表格内取得。

图 2 载有我们的数据与其他研究者的结果之比较。文献[2]中所得的  $\mu_{\text{D}_2\text{O}}/\mu_{\text{H}_2\text{O}}$  比值与我

們的数据一致,精确度达1%。文献[1]中的数值平均小于我們的数值2%,并且随着温度的升高誤差加大。图2还載有文献[7]的結果。

### 参 考 文 献

- [1] J. Heiks, M. Barnett, L. Jones, E. Ordan: *J. Chem. Phys.*, **58**, 488 (1954).
- [2] R. Hardy, R. Cottington: *J. Chem. Phys.*, **17**, 509 (1949).
- [3] Д. Тимрот: Изв. Всес. теплотехн. ин-та, № 3, (1940).
- [4] А. Хлопкина: Диссертация, МЭИ, 1954.
- [5] С. Л. Ривкин: *Атомная энергия*, **7**, вып. 5, 457 (1959).
- [6] Таблицы термодинамических свойств воды и водяного пара. М., Госэнергоиздат, 1958.
- [7] N. Lewis, T. Macdonald: *J. Amer. Chem. Soc.*, **55**, No. 11, 4730 (1933).

## 重水热容量的实验研究<sup>1)</sup>

里夫金(С. Л. Ривкин)\* 叶果洛夫(Б. Н. Егоров)

重水热容量用絕热单流量热計的方法在封閉的循环系統<sup>2)</sup>內进行了研究。图1为实验装置示意图。循环齿輪泵將  $D_2O$  汲入流量表,重水由那儿进入热交换器的管間空間,并在其中加热到規定的温度,然后进入置于恆溫器內的測量量热計。重水从量热計出来,就流到热交换器的管子里,在这里被逆行重水流初步冷却,接着通过冷却器后又回到循环泵。装置中的压力

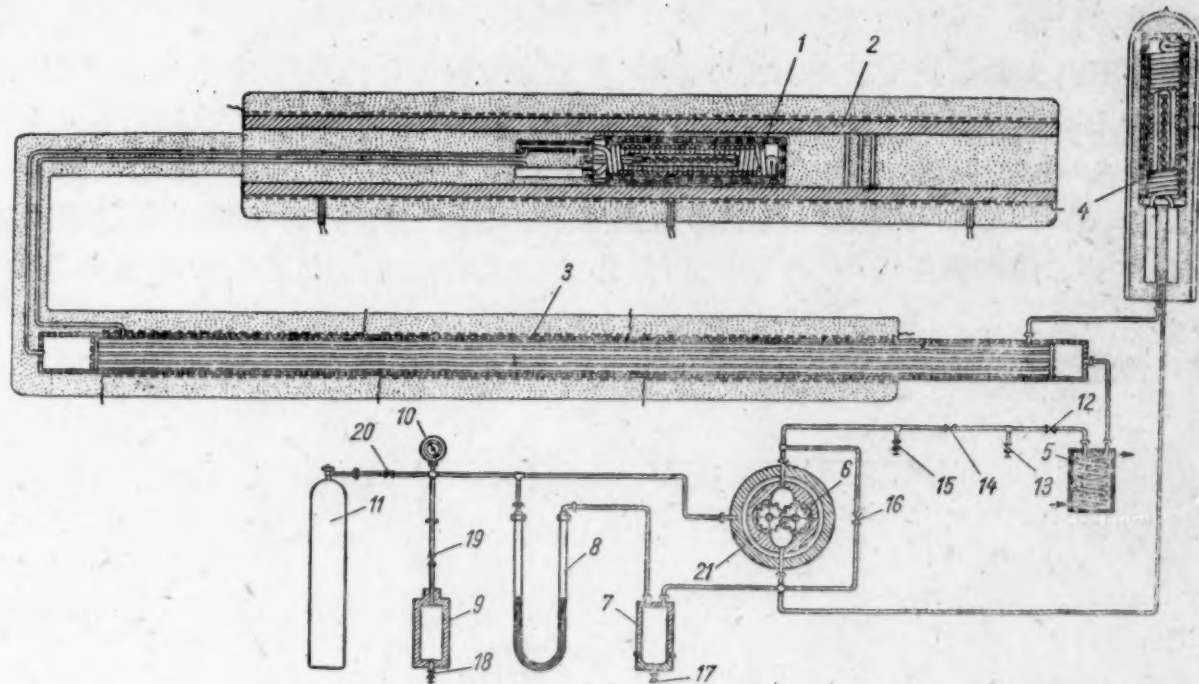


图 1 实验装置示意图

- 1——測量用絕热量热計; 2——恆溫器; 3——热交换器; 4——热流量表; 5——冷却器;  
 6——循环齿輪泵; 7——水銀捕集器; 8——U形管; 9——瓶; 10——标准弹簧压力計;  
 11——氮氣瓶; 12——調节閥門; 13—20——高压閥門; 21——高压容器。

1) 本文曾于1957年全苏热工研究所科技會議上报告过。

2) 这种方法在全苏热工研究所研究 $H_2O$ 和蒸汽在高压高温下的热容量时曾采用过<sup>[1,2]</sup>。为进行本实验研究构造了新的实验装置,它与以前的截然不同。



是由氮氣瓶向水銀封閉的系統放出的氮氣形成。而系統也因此就可以使裝置中的液體及高壓容器內的气体都能獲得同一壓力。循環泵及其傳動裝置(異步電動機)都裝在高壓容器內,這樣循環泵就避免了單向高壓。

採用異步電動機傳動的循環泵能使  $D_2O$  在循環系統內得到固定的流量(在 0.1—0.2% 之間),而無需專門的流量調節器。測量量熱計要做成雙綫蛇形管的式樣,蛇形管端焊上熱電偶的套管。蛇形管內有置在石英骨架上的鎳鉻加熱器,加熱器由大容量蓄電池供電。蛇形管上套着二個平衡溫度用的銅柱體;它們之間裝着一個遍布于量熱計整個表面的多端差動式熱電偶熱量表。這樣一來,熱量表的示度就能和量熱計與周圍介質的總的熱交換相適應。量熱計的絕熱性是通过調節恆溫器達到的,也就是說要使熱量表的示度等于(或接近)零。熱量表還用來測量通常不大的、無補償的熱流通過量熱計外殼的情況。量熱計內  $D_2O$  升高的溫度用裝在測量套管里的鎳鉻——鋁合金差動式熱電偶測量。進入量熱計的水之溫度亦由這個熱電偶測量。

為了測定液體的流量利用了測熱法,其主要內容大致表述如下:在循環系統內裝一個絕熱量熱計,  $D_2O$  以接近室溫的溫度被吸入量熱計內。這是在室溫下  $D_2O$  的熱容量比較容易知道,而且此時壓力對熱容量的影響也較小,能夠計算的,所以  $D_2O$  的流量通過測量量熱計內的水所獲得的熱量以及量熱計內的水相應升高的溫度便可以獲得。熱流量表的裝法同測量量熱計一樣。為了使量熱計以及其周圍介質的熱交換降低到最低限度,量熱計應包以絕熱層并置于(Дюар)容器內。流量表內水升高的溫度用鎳鉻——鋁合金五端熱電偶測量。利用了  $D_2O$  在大氣壓下及 10—15°C 溫度範圍內可靠的熱容量實驗數據<sup>[3]</sup>來測定水的流量。壓力影響(溫度為 20°C, 壓強為 100 公斤/厘米<sup>2</sup>時為 0.4%)按照  $H_2O$  的數據來考慮。壓力由 0.2 級標準彈簧壓力計測量。

進行主要的實驗以前要在差動式熱電偶(參照標準白金電阻溫度計)、流量表的熱量表和測量量熱計上面做好刻度。裝置的可靠性在用  $H_2O$  所作實驗中來檢查和調整,當然  $H_2O$  的物理性能要以高一級的精確度,在更大的壓力與溫度範圍內進行研究。我們在溫度為 60—250°C 時、壓強為 50 公斤/厘米<sup>2</sup>下所測得的  $H_2O$  的熱容量數值同文獻[4]的數據相符,精確度達 0.2—0.3%。 $D_2O$  熱容量在等壓綫 50 和 100 公斤/厘米<sup>2</sup>以及在相應壓力下自 50°C 至接近飽和溫度下測出。

進入測量量熱計的重水之溫度以精確度 0.01—0.02°C 保持不變。量熱計出口與入口處的

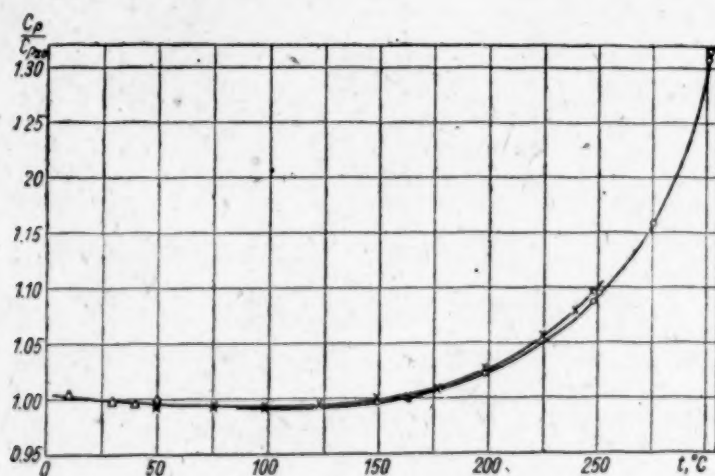


圖 2  $D_2O$  熱容量的實驗數據

×——本文數據(用于 50 公斤/厘米<sup>2</sup>); ○——本文數據(用于 100 公斤/厘米<sup>2</sup>);  
△——文獻[3]的數據(用于 1 公斤/厘米<sup>2</sup>)。

温度差为 4—8℃, 测量量热计的加热器放出的热量从 40—70 仟卡/小时不等, 测量量热计与其周围介质的热交换修正量在 0.01—0.1 仟卡/小时以内。D<sub>2</sub>O 通过量热计的流量约为 8 公斤/小时。

整理实验数据时, 算出了 D<sub>2</sub>O 在测量量热计的平均温度与相应压力下的热容量同 D<sub>2</sub>O 在流量表的平均温度与同样压力下的热容量之比:

$$\frac{(C_p)_{p,t}}{(C_p)_{p,t_p}} = \frac{(Q_u + q_u)\Delta t_p}{(Q_p + q_p)\Delta t_u},$$

式中  $Q_u$  和  $Q_p$ ——量热计和流量表的加热器所排出的相应热量;  $q_u$  和  $q_p$ ——量热计与其周围介质的热交换修正量 (按热量表示度确定);  $\Delta t_u$  和  $\Delta t_p$ ——量热计引入和排出套管间的温度差。上述比例接着就可引用到温度为 20℃ 的 D<sub>2</sub>O 热容量上面去, 不过要参照文献[3]的数据把对流量表内水的平均温度偏离 20℃ 的修正量 (不大于 0.2%) 计算进去。

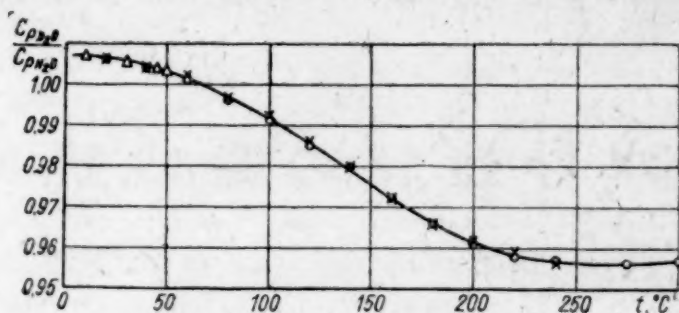


图 3 D<sub>2</sub>O 和 H<sub>2</sub>O 热容量比

图 2 载有实验结果。图中可以看出, 各实验点对平滑曲线的偏离不会超过 0.2%。

根据文献[3]的实验数据, 并设压力对温度为 20℃ 的 D<sub>2</sub>O 热容量的影响与 H<sub>2</sub>O 相同 (50 公斤/厘米<sup>2</sup>时为 0.2%), 我们算出了 D<sub>2</sub>O 的实际热容量 (见表)。然后根据温度 (图 3) 确定压强 50 和 100 公斤/厘米<sup>2</sup>下 D<sub>2</sub>O 和 H<sub>2</sub>O 的热容量之比。

表  $C_{pD_2O}/C_{pH_2O}$  之比和 D<sub>2</sub>O 实际热容量的数值

$t, ^\circ\text{C}$	$C_{pD_2O}/C_{pH_2O}$	$C_{pD_2O}$ 在 50 公斤/厘米 <sup>2</sup> 下	$C_{pD_2O}$ 在 100 公斤/厘米 <sup>2</sup> 下
40	1.006	1.002	1.000
20	1.004	0.998	0.996
60	1.002	0.996	0.993
80	0.997	0.996	0.995
100	0.992	0.995	0.992
120	0.986	0.996	0.992
140	0.980	0.998	0.994
160	0.972	1.004	1.000
180	0.966	1.014	1.008
200	0.962	1.030	1.023
220	0.958	1.051	1.043
240	0.957	1.083	1.073
260	0.957	1.130	1.116
280	0.957	—	1.178
300	0.958	—	1.294

$C_{pD_2O}/C_{pH_2O}$  之比看来不受压力的影响 (在试验范围内)。这个比随温度的增长而减小 (20℃ 时 1.006, 而当 250℃ 时 0.956)。当接近温度 250℃ 时比例就到了最小限度 (到 300℃ 仍



保持不变)。参照  $H_2O$  热容量的数据,图 3 可利用来计算  $D_2O$  的热容量。分析表明,我們测量的热容量之最大誤差不超过 0.8%。

图 2 載有我們研究的結果与文献[3]的数据(10—15°C)的比較。图中可以看出,文献[3]的热容量之温度变化过程与我們所取得的温度过程完全一致。

文献[5]所确定的热容量数值,在温度 10—125°C 内小于我們的热容量数值。两者之間的偏差达 1—1.2%。

### 参 考 文 献

- [1] Д. Л. Тимрот, Н. Б. Варгафтик, С. Л. Ривкин: Изв. Всес. теплотехн. ин-та, № 4, 1 (1948).
- [2] А. М. Сирота, Д. Л. Тимрот: Теплоэнергетика, № 7, 16 (1956).
- [3] A. Cocke, A. Ferguson: *Philos. Mag.*, 29, 185 (1940).
- [4] W. Koch. *Forsch. Geb: Ingenieurwesen*, A, 5, 138 (1934).
- [5] A. Eucken: *Actuelle probleme der Physikalische Chemie*, Akademie-Verlag. Berlin, 1953.

## 重 水 导 热 性 的 实 驗 研 究

伐耳加弗基克(Н. Б. Варгафтик) 奥列丘克(О. Н. Олещук)  
貝略柯夫(П. Е. Белякова)

重水导热性的研究到目前为止还只限于极窄的温度范围以内。在文献[1]中第一次获得  $D_2O$  导热性在 10—60°C 温度范围内的实验数据。在文献[2]中載有温度 2°C (过冷液体)—80°C 范围内的导热性测量結果。实验表明,  $D_2O$  导热性是随温度的增长而增长,不过这种增长比起  $H_2O$  导热性的增长要微弱得多。本文的目的是要想在广得多的、直至临界温度的范围内来研究  $D_2O$  的导热性。这些数据为使用  $D_2O$  的核反应堆作热力计算时所必不可少的。

为了测量导热系数  $\lambda$  采用了加热金属絲的方法,这种方法早先在类似的测量<sup>[3]</sup>中已有采用。在本实验研究中这种方法用作绝对测量。实验装置的基本元件为石英测量管(图 1),它置于不銹鋼加压鍋内。沿着管子的軸綫紧拉一根細白金絲兼作加热器与电阻温度计。测量管以及加压鍋内都充滿試驗液体。加热器的热流通过試驗液体沿径向流向管壁。白金电阻温度计繞在管子的外管壁上。借助测量段长度上的补偿加热器使加压鍋内保持等温。加压鍋里面的测量管子的所有导綫相互都用石英細管絕緣,借以保証它們具有良好的絕緣性。

为避免热流对流,試驗液体层的厚度  $\delta$  考虑了尽量小些。管子內径  $D = 1.044$  毫米,白金絲直径  $d = 0.096$  毫米,  $\delta = 0.474$  毫米。测量段长度(电位导綫之間的距离)  $l = 79$  毫米。管子外径为 2.35 毫米。测量管內的白金加热器由放在测量段以外的短的石石英細管加以定位。定位檢驗要在特制的光学台上用显微鏡来做。白金加热器偏心的平均值为 0.02 毫米。計算表明,如果測定  $\lambda$  时利用同軸柱体的公式

$$\lambda = \frac{Q \ln \frac{D}{d}}{2\pi l \Delta t}$$

并且不考虑已有的偏心率,那么誤差仅为 0.07%。

由于水的导电率是随温度的增长而增长的,所以必須弄清楚,这是否会使测量結果失真,这是因为加热器和管壁上的电阻温度计是置于試驗液体之中的。为了闡明这个問題,对水的

各种导电率  $\lambda$  进行了测量(使用 NaCl 溶解于水的方法)。实验在 20°C 下进行。在这些实验中取得的天然水的各种导电率  $\lambda$  一直达到  $6 \cdot 10^{-4}$  欧姆 $^{-1}$ ·厘米 $^{-1}$ (这个数值与水在  $t \approx 360^\circ\text{C}$  时的导电率相符),但实际上只在 0.5% 以内,同蒸馏水的数值  $\lambda$  一致。这样,实验就证明了,该装置基于加热金属丝原理的构造完全适用于(从导电观点看来)测量直到接近临界温度(在任何情况下直到  $t \approx 360^\circ\text{C}$ )的水的  $\lambda$ 。

为了研究起见,我们取了无任何杂质的  $\text{D}_2\text{O}$ 。除气的  $\text{D}_2\text{O}$  在真空下充入装置。所有的电测量皆在 ППТБ-1 电位计上进行。压力用标准压力计测量。兼作电阻温度计的白金加热器,要试验一下在游丝作用下的应力,所以加热器还必须根据装在测量管外管壁上的电阻温度计进行校准。在实验过程中还要不止一次地进行校准。大多数情况下,与第一次校准的误差都不超过 0.02°C。特别要注意消除对流。在同轴柱体之间间隙内进行热交换实验的结果表明,当  $G, P, < 1000$  时,热量的转移只能靠热传导的方式进行<sup>[4,5]</sup>。这些结论仅限于指使用直径较大而间隙不很小的柱体所进行的实验。最新的研究表明,当间隙很小(柱体垂直放置),那么  $G, P,$  值在 1700—2000 的范围内<sup>[6,7]</sup>。  $G, P,$  值在我们的实验中(表 1 1—24 项)小于 1000,在其余各次实验中各为 1070, 1130, 1460, 1880 和 1760。

这就可以不把自然对流的修正量计算进去,但是假使象文献[5]那样,甚至于把这种修正量考虑在内,它也将小于 1%。为了查明压力对  $\lambda_{\text{D}_2\text{O}}$  的影响,在  $t = 100^\circ\text{C}$  时将压强增加到  $P = 150$  公斤/厘米 $^2$ 和在  $t = 225^\circ\text{C}$  时压强增加到  $P = 200$  公斤/厘米 $^2$ 进行了补充实验。实验结果表明,  $\lambda_{\text{D}_2\text{O}}$  同压力的关系如同对  $\text{H}_2\text{O}$ <sup>[8]</sup>一样。测定  $\lambda_{\text{D}_2\text{O}}$  时需考虑到白金加热器两端放热的修正量,在我们的实验中等于是 0.2%。各次实验中压力  $P$  都大于饱和压力  $P_s$ 。表 1 引入的各次实验数值  $\lambda$  都属于饱和线上的。对于某几次实验来说,不得不把过压修正量计算在内( $P > P_s$ )。

计算表明,实验数据最大误差不超过 0.8%。饱和线上的实验结果载于图 2 上。各试验点

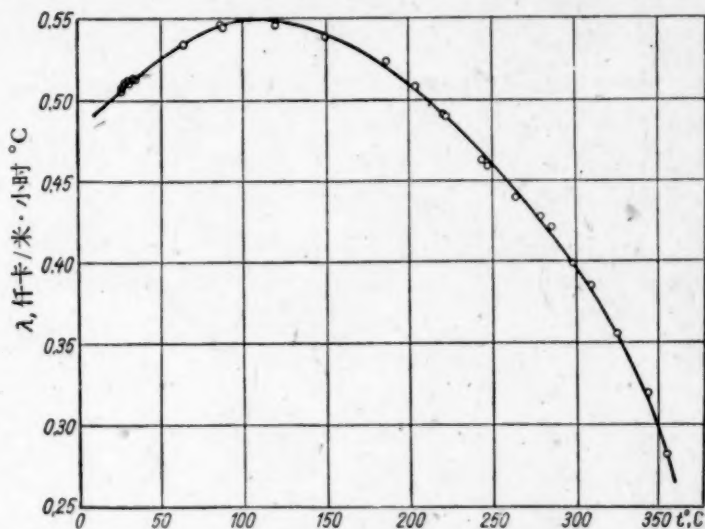


图 2  $\text{D}_2\text{O}$  导热性在饱和线上的实验数据

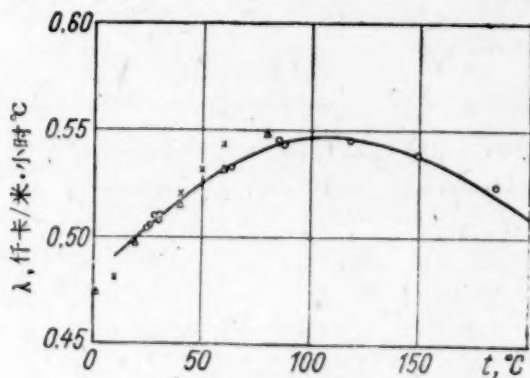


图 3  $\text{D}_2\text{O}$  导热性在饱和线上的实验数据之比较

○——本文数据; △——文献[2]的数据;  
×——文献[1]的数据(95% $\text{D}_2\text{O}$ +5% $\text{H}_2\text{O}$ )。

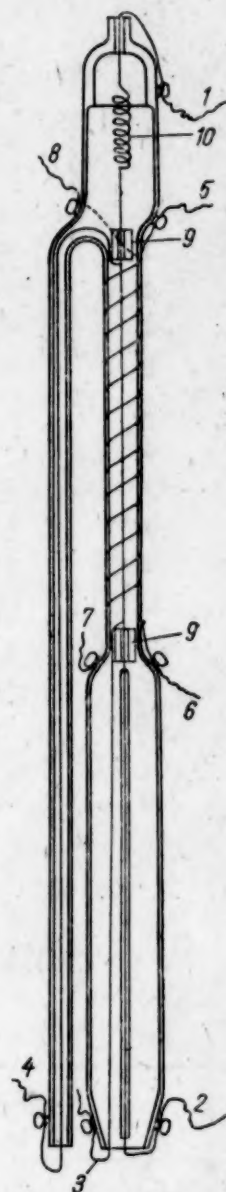


图 1 石英测量管简图:

1,2——内电阻温度计(加热器)电流导线; 3,4——内电阻温度计电位导线; 5,6——外电阻温度计电流导线; 7,8——外电阻温度计电位导线; 9——金属丝定位用石英细管; 10——鎢游丝。



表 1 在飽和綫上  $D_2O$  导热性的实验数据

$P$ , 公斤/厘米 <sup>2</sup>	$\Delta t$ , 管壁上的 温度差 $^{\circ}C$	$\Delta t$ , 液体, $D_2O$ 层 内温度差 $^{\circ}C$	$Q$ , 仟卡/小时	$\lambda$ , 仟卡/米· 小时	$t$ , $^{\circ}C$	附 注
1	1.16	7.87	0.8282	0.506	25.3	
1	0.84	5.61	0.5909	0.507	25.5	
1	0.86	5.84	0.6155	0.507	25.6	試驗后进行測量 $t = 149^{\circ}C$
1	0.83	5.62	0.5930	0.507	26.0	
1	0.86	5.76	0.6117	0.511	28.1	
1	0.88	5.90	0.6281	0.512	28.8	試驗后进行測量 $t = 220^{\circ}C$
1	1.17	7.87	0.8365	0.511	29.6	
1	0.85	5.68	0.6032	0.511	29.8	試驗后进行測量 $t = 310^{\circ}C$
1	1.19	7.92	0.8461	0.514	32.9	
1	1.19	7.94	0.8470	0.513	34.3	試驗后进行測量 $t = 355^{\circ}C$
1	1.20	7.92	0.8772	0.533	64.1	
15	1.03	6.62	0.7510	0.546	85.9	
15	1.38	8.94	1.0104	0.544	88.2	
15	1.25	8.16	0.9269	0.546	118.7	
17	1.26	8.50	0.9522	0.539	149.1	
33	1.26	8.92	0.9732	0.324	185.7	压力修正量0.2%
33	1.26	9.25	0.9812	0.509	204.0	
33	0.79	6.13	0.6258	0.490	220.4	
33	1.24	9.62	0.9835	0.491	221.8	
37	0.79	6.61	0.6364	0.463	243.6	
37	0.94	7.88	0.7537	0.460	246.9	
71	0.51	4.55	0.4187	0.441	264.4	压力修正量0.4%
67	0.52	4.83	0.4290	0.427	279.1	
75	0.52	4.87	0.4277	0.422	286.4	
114	0.54	5.32	0.4463	0.399	299.3	压力修正量1.0%
129	0.51	5.36	0.4343	0.385	310.3	
133	0.44	5.04	0.3734	0.355	325.3	压力修正量0.4%
207	0.27	3.40	0.2393	0.319	344.3	压力修正量5.8%
208	0.11	1.52	0.0950	0.282	355.2	压力修正量6.0%

表 2 在飽和綫上  $D_2O$  导热系数的平均值

$t$ , $^{\circ}C$	$\lambda$ 仟卡/米·小时·度	$t$ , $^{\circ}C$	$\lambda$ 仟卡/米·小时·度	$t$ , $^{\circ}C$	$\lambda$ 仟卡/米·小时·度	$t$ , $^{\circ}C$	$\lambda$ 仟卡/米·小时·度
10	0.492	110	0.548	210	0.503	310	0.382
20	0.501	120	0.547	220	0.493	320	0.365
30	0.510	130	0.545	230	0.483	330	0.346
40	0.518	140	0.543	240	0.472	340	0.325
50	0.525	150	0.540	250	0.461	350	0.300
60	0.532	160	0.536	260	0.449	360	0.265
70	0.538	170	0.530	270	0.437	—	—
80	0.543	180	0.524	280	0.424	—	—
90	0.546	190	0.518	290	0.411	—	—
100	0.548	200	0.511	300	0.397	—	—

对平均曲綫的偏差在 0.4% 范围以內。最大数值是以  $t \approx 110^{\circ}C$  时算得的。图 3 載有我們的数据同其他作者的数据之比較。文献[1]中所得的数值  $\lambda$  有些偏高(在那里使用的是含 95%  $D_2O$ )

的水)。文献[2]中提出的数据极其与我們的相近,  $t=80^{\circ}\text{C}$  的試驗除外(这个温度在他們的試驗中是极限温度)。根据我們所取得的試驗数据編制了  $10-360^{\circ}\text{C}$  温度范围内  $\lambda_{\text{D}_2\text{O}}$  系数在飽和綫上的平均值表 2。为了測定  $\lambda_{\text{D}_2\text{O}}$  同压力的关系, 可利用  $\text{H}_2\text{O}$  試驗<sup>[3,8]</sup>的結果。

### 参 考 文 献

- [1] F. Meyer, M. Eigen: *Z. Naturforsch.*, **8a**, H. 800, S 500 (1953).
- [2] A. Challoner, R. Powell: *Proc. Roy. Soc.*, **238**, No. 1212, 90 (1956).
- [3] Д. Л. Тимрот, Н. Б. Варгафтик: *Ж. техн. физ.*, № 13, 1063 (1940).
- [4] F. Kraussold: *Forsch. Geb. Ingenieurwesens*, **B5**, H. 4, 186 (1934).
- [5] М. А. Михеев: Основы теплопередачи. М. Госэнергоиздат, 1956.
- [6] E. Schmidt, W. Leidenfrost: *Forsch. Geb. Ingenieurwesens*, H. 21, 176 (1955).
- [7] Р. В. Шянгарев: Диссертация, Всес. теплотехн. ин-т, 1952.
- [8] Таблицы термодинамических свойств воды и водяного пара. М., Госэнергоиздат, 1958.

## 电解分离稀土元素放射性同位素

薩馬利也娃(А. Г. Самариева)

稀土元素的电解沉积通常在乙醇<sup>[1]</sup>、丙酮醇<sup>[2]</sup>和其他非水电解质<sup>[3]</sup>中进行。从前,我們研究了由弱酸性水溶液中电解分离鈾系元素(鈷、鈾、鐳、釷、鐳)的定量方法<sup>[4]</sup>。所找到的条件成为这一电解沉积分离稀土元素放射性同位素工作的依据。

在研究电解分离稀土元素时,使用了与  $\text{Pr}^{144}$  成平衡的  $\text{Ce}^{144}$  和  $\text{Ho}^{166}$ 。每一同位素的純度由测量半衰期( $T$ )来检查。将其氧化物溶解在盐酸、硝酸、氯酸、硫酸,或草酸中。 $\text{Ce}^{144}$  的浓度为  $4 \times 10^{-4}$  微克/毫升,  $\text{Ho}^{166}$  为  $10^{-6}-10^{-8}$  微克/毫升;载体含量为  $0.0025-0.04$  毫克/毫升。氢离子浓度为  $10^{-1}-10^{-4}$  克分子浓度,含有  $10^{-5}-10^{-8}$  克分子浓度的緩冲混合物。

稀土元素的电解分离是在普通的电解槽中进行的,該槽是由不大的鉑盘(阳极)和具有工作表面  $1 \text{ 厘米}^2$  厚度为  $0.25$  毫米的被加长的鉑質花瓣状物(阴极)构成的。此槽不同于玻璃电解槽或有机玻璃电解槽,它可以在很小的放射性同位素浓度及任何 pH 值的电解液中进行工作而沒有放射性同位素吸附在壁上而造成的明显的损失。使用了轉速为  $80-100$  轉/分的轉动阴极来攪动溶液。在电解过程中,放射性元素在花瓣状阴极的两面同时析出。电解沉积物  $\beta$  放射性的测量是在普通的 Б-2 型装置上进行的,测量时精确的保持了几何条件的固定。

为找出电解分离稀土元素的最佳条件,研究了每种放射性同位素产率对阴极电流密度及电解液 pH 值的依賴关系。也研究了对不同酸在不同电解液 pH 值下,这些元素的电解机构。

已查明,稀土元素在水溶液中的近阴极区处通常是被水解的。因此,首先必須查明 pH 对电解过程的影响;  $\text{pH} = 1-4$  时,可以用蒸餾水稀释原始溶液的办法做到,而  $\text{pH} = 5-8$  时,則須用氨水中和原始溶液的办法达到。在图 1 中列出了所得結果。可以看出,在  $\text{pH} = 2-5$  时,由溶液中电解分离鈷已定量地实现了,而鐳仅在  $\text{pH} = 2.5-3.2$  的区間内,实现定量分离, pH 值增大时,鐳可能被水解。

在图 2 中給出了稀土元素产率与阴极电流密度的依賴关系的数据。可見鈷能在很寬的电流密度区間内被定量地分出(实际是由  $25$  到  $100$  毫安/厘米<sup>2</sup>),而此时鐳及鐳則在  $100-150$  毫安/厘米<sup>2</sup> 析出。电解上述同位素时,电流密度为  $100$  毫安/厘米<sup>2</sup> 为最佳条件。



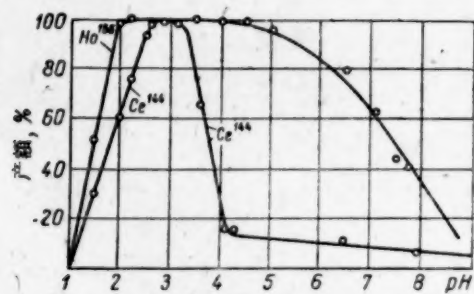


图 1 铈和钐的电解分离与溶液 pH 的依赖关系  
电流密度 100 毫安/厘米<sup>2</sup>, 电解时间 2 小时

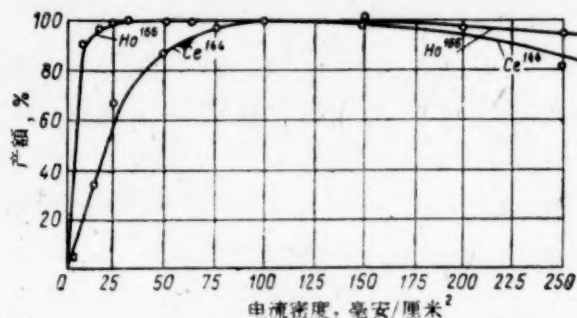
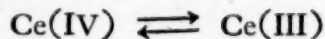


图 2 铈和钐的电解分离与阴极电流密度的依赖关系  
钐离子浓度 10<sup>-3</sup> 克分子浓度, 电解时间为 2 小时

电解分离铈和钐的机构的研究结果在图 3 中列出: 有趣的是经过 1.5—2 分钟后, 在阴极上沉积钐的电解过程实际上就停止了, 而此时铈和钐的定量分出则须 1.5—2 小时。可以设想, 在电解铈时, 在近阴极区以



的转化过程进行着氧化还原反应。此一反应减慢了铈在阴极上电沉积的过程。钐的电沉积速度, 主要决定于离子迁移率。

因为钐和铈的电解分离机构有很大不同, 探查钐和铈的电沉积速度将如何随 pH 而改变是很有意义的。在图 4 和图 5 中列出了使用钐和铈的相应实际结果。由所得曲线可看知, 甚至在 pH=5.3 时, 大部分钐(约 80%)仍处于离子状态, 并沉积在阴极上, 而铈即使当 pH=4.7

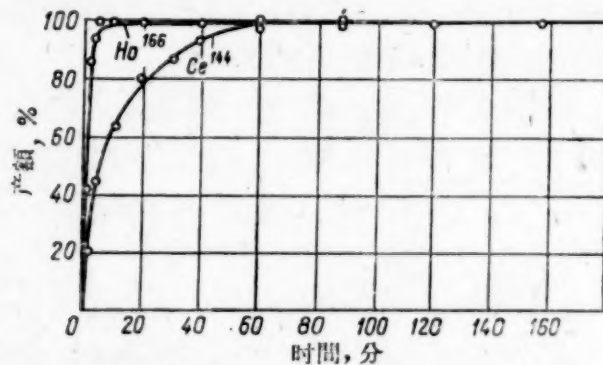


图 3 铈和钐的电解分离与实验时间的依赖关系  
钐离子浓度为 10<sup>-3</sup> 克分子浓度, 电流密度为 100 毫安/厘米<sup>2</sup>

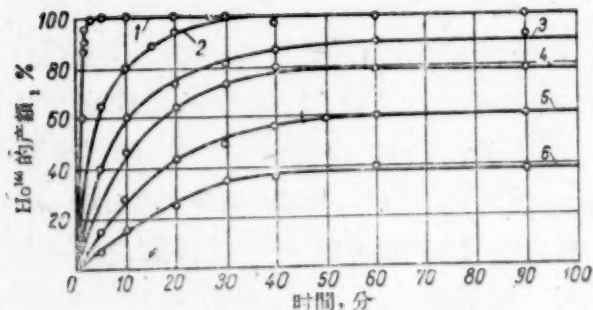


图 4 钐的电解分离速度与溶液 pH 值的依赖关系  
电流密度为 100 毫安/厘米<sup>2</sup>  
pH 等于: 1—3.05; 2—2.0; 3—5.3;  
4—6.5; 5—7.3; 6—8.1.

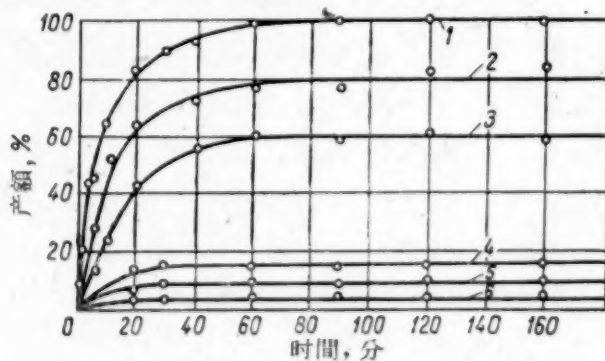


图 5 铈的电解分离速度与溶液 pH 的依赖关系  
电流密度为 100 毫安/厘米<sup>2</sup>  
pH 等于: 1—2.8; 2—2.1; 3—1.8;  
4—4.7; 5—6.5; 6—8.0.

时,几乎全部( $>80\%$ )被水解。因此利用該方法可以探察到溶液被大量稀释时,放射性同位素的性状。

可以使用草酸和任一无机酸中(盐酸、氯酸、硝酸、硫酸)作为电解液,因为无論是鈦还是鈾,在最佳条件下:氫离子浓度为  $10^{-3}M$ , 电流密度为 100 毫安/厘米<sup>2</sup> 电解时间为 1.5—2 小时,都能定量地分出。在此条件下实验的精密密度为  $\pm 3\%$ 。

在表中叙述了 3—5 次实验的平均值。

由不同酸中电解分离 ( $Ce^{144} + Pr^{144}$ ) 和  $Ho^{166}$

酸	产 率 %	
	( $Ce^{144} + Pr^{144}$ )	$Ho^{166}$
HCl	98.7	100.2
HClO <sub>4</sub>	97.8	99.6
HNO <sub>3</sub>	100.6	97.4
H <sub>2</sub> SO <sub>4</sub>	没进行实验	96.9
H <sub>2</sub> C <sub>2</sub> O <sub>4</sub>	“	90.4

上述的电沉积方法即可以用于稀土元素的化学分析方面,也可在研究同位素組成时用来制备薄膜。

### 参 考 文 献

- [1] G. Seaborg, A. Whall: The Chemical Properties of Elements 94 and 93; G. Seaborg, J. Katz. The Transuranium Elements. Division IV—Plutonium Project Record, 14B, Research Papers, Part I, Paper I. 6, p. 25. New York, McGraw-Hill Book Co., 1949.
- [2] В. Б. Дедов, В. Н. Косяков: Материалы Международной конференции по мирному использованию атомной энергии (Женева, 1955), т. 7. М., Изд-во АН СССР, 1958, стр. 452.
- [3] F. Todt. Z. phys. Chem., 113, 329 (1924).
- [4] А. Г. Самарцева. Тр. Всесоюзной конференции по применению радиоактивных и стабильных изотопов и излучений в народном хозяйстве. Изотопы и излучения в химии. М., Изд-во АН СССР, 1958, стр. 318.

## 鈮—鋁 系 相 图

沙維茨基(Е. М. Савицкий) 蒂尔基娜(М. А. Тылкина)  
伯瓦洛娃(К. Б. Поварова)

鈮和鋁是过渡族金属元素,它的第  $d$  电子壳层沒有完全填满。表中列出了这两个元素的一些比較的数据。

关于鈮—鋁系的情况有下面一些文献的报道。在文献[1]中,用伦琴射线和显微鏡方法研究了鈮—鋁系的八个鑄态合金。含鋁 60% 到 82% 原子百分比的合金,在 1200°C 退火 72 小时后确实有  $\chi$  相( $\alpha$ -Mn 結構型)形成,它的晶格常数  $a = 9.67 \text{ \AA}$ 。含鋁接近 50% 原子百分比的合金在 1000°C 退火 120 小时后确实出現另一个中間相:  $\sigma$  相,它的晶格常数  $a = 9.72$ ;  $c = 5.07 \text{ \AA}$ ;  $c/a = 0.52$ 。已經发现鈮—鋁固溶体含 40% 原子百分比的鋁。在文献[2]中,用伦琴射线方法研究鑄态的鈮鋁合金样品只发现有一个  $\chi$  相。含鋁 75% 原子百分比的合金它的晶格常数为



铌 和 铈 数 据 的 比 较 表

特 性	铌	铈
原子半径, Å	1.45	1.37
晶格常数, Å	体心立方 ( $a = 3.294$ )	致密六角 ( $a = 2.755$ 到 $2.76$ ; $c = 4.4493$ 到 $4.458$ ; $c/a = 1.614$ 到 $1.615$ )
熔化温度, °C	2415	3170
密度, 克/立方厘米和铈相比时	8.4	21.02
原子半径的差别, %	+5.84	—

9.67 Å. 在单位晶胞中铌原子和铈原子的位置已经根据下述假定加以检验: 即化合物  $\text{Re}_{22}\text{Nb}_7$  的结构形式和其中 Re, Nb 原子无序和有序排列的座标都和  $\alpha\text{-Mn}$  的原子座标一样; 由此可以得出结论: 单位晶胞中铌原子和铈原子的位置排列基本上是有秩序的. 不久以前<sup>[3]</sup>, 用伦琴射线方法研究含铈 75% 原子百分比的铸态合金发现晶格常数为  $a = 9.638 \text{ Å}$  的  $\chi$  相, 而含铈 50% 原子百分比的铸态合金, 经 1000°C 退火后发现晶格常数为  $a = 9.78$ ,  $c = 5.11 \text{ Å}$  的  $\sigma$  相, 以及以铌为基的固溶体. 本文作者在文献 [4] 中认为铌-铈系中的  $\sigma$  相从熔化温度到温度高于 1200°C 范围内都是稳定的.

为制备合金用的铈粉的纯度为 99.8% 重量比, 它是用氢把  $\text{KReO}_4$  还原而得到的. 所用的铌是金属陶瓷体锻造的金属铌, 它的成分为: (重量比%) 钼-0.8, 钛-0.04; 硅-0.04; 铁-0.02; 铅- $2 \cdot 10^{-4}$ ; 铋- $2 \cdot 10^{-4}$ ; 其余为铌.

用铌块和铈粉配制的合金先用压力压紧成块, 再在 1700°C 烧结以保证致密性并除气完全, 这对合金的进一步熔合均匀是必需的. 制备合金的具体方法在文献 [4] 中说明.

用“沸点法”(капельный метод) 测量熔化温度, 即根据液体金属充满钻在样品上的小孔

的方法. 用光学高温计测定温度, 光学高温计上的刻度是根据在同样条件下纯金属的温度来分度的. 测温度的具体方法和装置在文献 [5], [6] 中谈到过.

用伦琴射线方法和显微镜方法进行合金的相分析, 也可测量铸态合金和在 2200°C 退火 1 小时, 2000°C 退火 5 小时, 1500°C 退火 50 小时(在高真空炉中) 以及在 1000°C 退火 600 小时(再在水中淬火) 的合金的硬度和各组成相的显微硬度进行合金的相分析.

伦琴射线分析方法是使用  $\text{CuK}_\alpha$  和  $\text{VK}_\alpha$  射线, 并用 PKД 型照相机进行的. 用一般的研磨方法磨光, 抛光再用  $\text{HNO}_3$ (浓)+ $\text{HF}$ (浓) (1:1) 的混合腐蚀剂腐蚀.

硬度用维克斯硬度计测量, 负荷为 10 公斤; 测量化学化合物区域中的脆性合金的硬度则用负荷 5 公斤. 为了鉴定组成相的结构, 在 ПМТ-3 仪器上测量它们的显微硬度, 此时负荷为 100 和 200 克. 应当指出, 在负荷为 5 公斤时的硬度值和负荷为 200 克时的

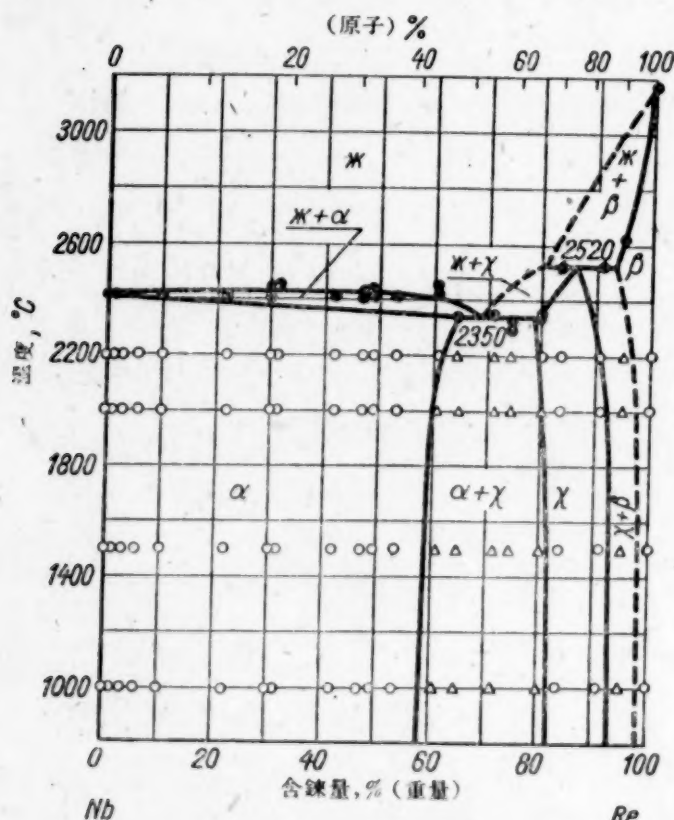
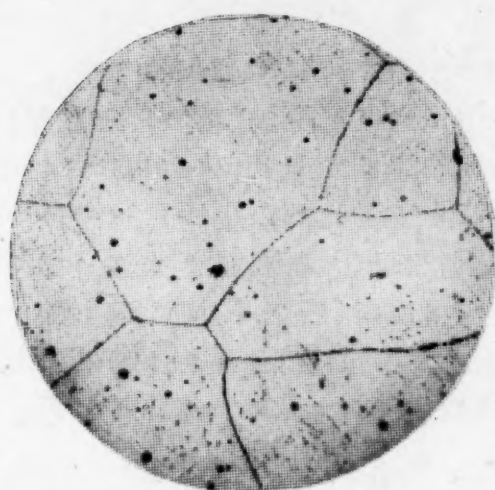


图 1 铌-铈系相图  
○——单相结构; △——双相结构; ●——熔化温度.



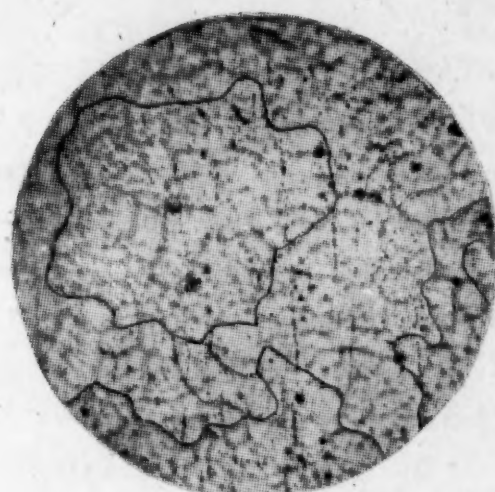
a



b



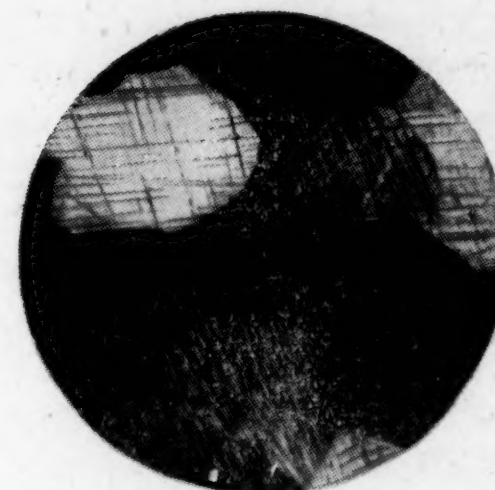
v



r



d



e

图 2 鈮-銻合金的显微结构

- a——含銻 53% 重量比, 1000°C 退火 600 小时,  $\alpha$  相;
- b——含銻 60.3% 重量比, 1600°C 退火 50 小时,  $(\alpha + \chi)$  相;
- v——含銻 71% 重量比, 1600°C 退火 50 小时,  $\chi + (\alpha + \chi)$  黄晶相;
- r——含銻 84% 重量比, 1000°C 退火 600 小时,  $\chi$  相;
- d——含銻 95% 重量比, 1000°C 退火 600 小时,  $(\chi + \beta)$  相;
- e——含銻 100% 重量比, 鑄态。



显微硬度值符合得很好。

根据上述工作所得到的铌-铈系相图见图1。各合金的显微结构列在图2中。

从相图中可以看到,铈固溶在铌中形成固溶体占了很大的区域,当达熔化强度时铈溶解在铌中约达64%重量比(46.5%原子百分比),并随温度的降低而降低;在1000℃时溶解度约56%重量比(38.50%原子百分比)。根据对含铈到53%重量比的合金的显微镜分析的数据,不论是铸态的还是经退火过的合金的晶粒都是单一的多边形颗粒(图2a)。含铈60.3%重量比的合金在温度接近熔化温度时为单相固溶体,而在较低温度时(图2,б)变成两个相,尤其在低温退火后第二相的数量显著地增多。随着含铈量的增加,这一区域的合金的熔化温度降低,熔点从纯铌的2415℃降到含铈65%重量比的合金的熔点2340℃。初生的 $\alpha$ 固溶体的晶粒是直接由熔化的合金中结晶出来的。

在2520℃时,根据包晶反应 $\lambda(\text{液体}) + \beta \rightleftharpoons \chi$ 直接从熔化的合金和从以铈为基的固溶体中生成出 $\chi$ 相( $\alpha$ -Mn结构)。 $\chi$ 相的均匀区域在温度变化时几乎不变,它含铈约82—93%重量比(或69.5—86.5%原子百分比)。 $\chi$ 相的晶格常数随含铈量的不同而改变,对含83.4%重量比(71.5%原子百分比)铈的合金而言,晶格常数为9.67Å,而含铈90.9%重量比(或82%原子百分比)的合金则为9.61Å,这和文献[1,2]的数据相当符合。在 $\chi$ 相均匀区域内的合金的显微结构见图2,г。 $\chi$ 相的结构型式和化合物 $\text{Re}_{22}\text{Nb}_7$ 相当。应当指出,在铸态时 $\chi$ 相所固有的树枝状结构甚至在很长时间的退火之后仍然不能完全消灭(1000℃退火600小时),这种扩散与过程进行的速度较小有关。 $\chi$ 相的显微硬度当负荷为200克时为1080公斤/毫米<sup>2</sup>,当负荷为5公斤时的维氏硬度为1050—1150公斤/毫米<sup>2</sup>。

在 $\chi$ 相区域和以铈为基的 $\alpha$ 固溶体区域之间还存在一个所相区域 $\alpha + \chi$ 相区。在这一区域,当含铈约为67—68%重量比(50—51%原子百分比)时在温度为2340℃时有共晶相变。

非常有趣的事实是在该区域内,用伦琴射线方法分析发现含铈64.5%重量比的铸态合金中有 $\sigma$ 相和 $\alpha$ 固溶体共存,而在含铈71.5%和74.3%重量比的合金中则 $\sigma$ 相和 $\chi$ 相及少量的 $\alpha$ 固溶体共存。象已经指出的对在铌-铈系中相对地存在的 $\sigma$ 相有各种相互矛盾的解释一样,对这一有趣的事实也存在各种相互矛盾的理解。这种分歧可以归结为由于在文献[1,3]中所研究的合金接近于平衡状态的程度不同的原因。文献[3]中认为 $\sigma$ 相是高温相,存在于从熔化温度到1200℃的温度范围内的论据并不能认为是充分的。在2200,2000,1500和1000℃退火的合金中,我们用各种研究方法进行研究并未发现有 $\sigma$ 相出现。这一区域的合金仍为 $\alpha + \chi$ 两相区域。目前正在继续比较详细地研究 $\sigma$ 相的稳定温度范围。

铈溶解在铈中形成的单相固溶体区域已经在原则上确定了。显然,在接近于熔化温度时,铈在铈中的溶解度不超过2—5%重量比。

在 $\chi$ 相区域和以铈为基的固溶体区域之间还有 $\beta + \chi$ 两相区域存在。属于这一区域的含铈95%重量比(90.5%原子百分比)的合金的显微结构见图2,б。这一区域的合金的熔化温度从2520℃(包晶转变 $\lambda(\text{液体}) + \beta \rightleftharpoons \chi$ )到纯铈的3170℃(图2,е)。以铈为基的固溶体的初生晶粒从熔化的合金中直接形成。合金的硬度从含铈90.9%重量比的合金为1100公斤/毫米<sup>2</sup>降到纯铈的300公斤/毫米<sup>2</sup>。

### 参 考 文 献

- [1] P. Greenfield, P. Beck: *J. Metals*, **8**, No. 2, 265 (1956).
- [2] Я. Немец, В. Тжебятковский: Бюллетень Польской академии наук, отд. 3, 4, № 9, 591 (1956).
- [3] A. Knapton: *J. Inst. Metals*, **87**, No. 1, 28 (1958).
- [4] Е. М. Савицкий, М. А. Тылкина, И. А. Цыганова: *Атомная энергия*, **7**, вып. 3, 241 (1959).

- [5] Н. А. Киселев: Сборник трудов Ин-та металлургии АН СССР, № 3. М., Изд-во АН СССР, 1958, стр. 268.  
[6] Е. М. Савицкий, М. А. Тылкина: Жнеорганич. хим., 3, вып. 3, 820 (1958).

## 論薄靶核反应产額增大的可能性

馬克西莫夫(М. З. Максимов)

大家知道, 当带电粒子的能量  $E_0$  相同时, 薄靶的核反应产額总是比厚靶的产額要低些. 例如,  $\text{Cu}^{65}(d, 2n)\text{Zn}^{65}$  反应, 当  $E_0 = 10$  兆电子伏以及薄靶的能量损失  $\Delta E_0 = 0.1$  兆电子伏时, 这两种产額之比等于  $\frac{\Delta B}{B} \simeq 0.05$ . 而且在两种情况下, 由于核反应所致粒子的损失极微小 ( $10^{-6} - 10^{-4}$ ), 可以忽略; 由慢化作用引起厚靶中粒子作用率的大大降低, 因为这种慢化使粒子阻滯在物質中. 而在薄靶中, 粒子則能全部通过, 仅只损失一部分能量. 可以借助于磁場把粒子引到同一个靶上, 直到初始能量耗尽为止. 虽然比放射性比厚靶的比放射性增长得快, 但是这些粒子的作用率却因同一个原因而逐渐降低. 如果每穿过一次之后, 将有  $\Delta E_0$  能量传递给粒子的話, 那么这些粒子以固定能量  $E_0 = 4.8 \times 10^5 (HR)^2 \frac{Z_a^2}{a}$  完成核轉化将穿过該靶  $\nu$  次. 此时, 物質中的能量损失和能量增量之間, 有某种共振存在. 只有选好靶子的厚度  $\Delta l_s$ , 使靶子中的能量损失等于一圈內的增量, 亦即  $\Delta E_0 = 2Z_a V_0 \cos \varphi$  ( $\varphi$ ——半径  $R$  上的加速場的相位,  $V_0$ ——加速电压差 (兆电子伏)), 那么在迴旋加速器中就可能建立起这种条件. 最好取用两个靶子, 每个厚度为  $\frac{\Delta l_s}{a}$ , 相对于加速器中心对称安置. 从比损失的关系求得

$$\Delta l_s \simeq 7 \times 10^{-3} \frac{AE_0}{aZ_a Z} \frac{2V_0 \cos \varphi}{\ln \frac{200E_0}{aZ}} \text{ 克/厘米}^2. \quad (1)$$

当遵守这个条件时, 在靶子极薄, 与稳定軌道长度相比, 加速縫的寬度很窄的情况下, 穿过的次数  $\nu$  可能很大. 但是在实际条件下,  $\Delta l_s$  不太小, 所以必須考虑粒子在靶子內的多次散射, 因为它会使束扩大, 假如磁場的聚焦作用很弱的话, 粒子就会落到室壁上. 为了估計这一效应和磁場的聚焦性質, 我們应用文献[1]的結果和公式(1), 这时穿透的有效次数的下限和相应总产額  $B_{\text{有效}} = \frac{\sigma N_0}{A} \nu_{\text{有效}} \Delta l_s$  为:

$$\nu_{\text{有效}} \simeq 3-4 \times 10^3 n \left( \frac{d}{R} \right)^2 \frac{aE_0}{ZZ_a 2V_0 \cos \varphi} \frac{\ln \frac{200E_0}{aZ}}{\ln 183Z^{-1/3}}, \quad (2)$$

$$B_{\text{有效}} \simeq (6-8) \times 10^{-4} \frac{(Hd)^2 E_0 n(E_0) \sigma(E_0)}{aZ^2 \ln 183Z^{-1/3}}, \quad (3)$$

式中  $\sigma(E_0)$ ——反应截面(靶);  $H$ ——磁場(仟奧斯特);  $n(E_0)$ ——磁場的降落指数;  $d$ ——D形盒的半高度(厘米). 由所得到的表式可作出結論, 总产額通过乘数  $E_0 n(E_0) \sigma(E_0)$  与入射粒子的能有关, 所以用加速器乘数最大的軌道工作最为有利. 显然, 在稳定軌道的区域内, 附加磁場的非均匀度及D形盒的高度, 即可增大  $\nu_{\text{有效}}$ , 因而就会增加总产額.



由公式(1)可以得出結論,在給定的軌道上,靶的共振厚度取決于相位,而相位也取決于加速器的共振條件,所以,如果取  $\Delta l_r < (\Delta l_r)_{\varphi=0}$ , 那末可以用(例如按中子射綫)調整磁場的方法充分滿足公式(1)的條件。

应当指出,雖然在薄靶中能量的損失比厚靶中小,導熱性能較次,然而因此當電流大時,沒有附加改進的靶子所預料的效应的觀察就複雜化了。最大電流的粗略計其得出

$$v_{\text{有效}} j \simeq \left\{ \frac{6}{V_0 \cos \varphi} \left( \frac{T}{1000} \right)^4 + \frac{2\lambda(T - T_0)}{S\rho} \right\}, \quad (4)$$

式中第一項與輻射相應,第二項與導熱率相應, $T$ ——靶子的絕對溫度; $\lambda$ 和 $\rho$ ——分別表示靶的導熱率( $10^{14}$ 兆電子伏/厘米·秒)和密度(克/厘米<sup>3</sup>); $S$ ——束的面积; $j$ ——起始電流。

對於  $H = 15.5$  仟奧斯特; $V_0 = 0.1$  兆電子伏; $n = 0.25$ ;  $\varphi = 60^\circ$ <sup>[2]</sup> 的迴旋加速器和銅靶,則有  $\Delta l_r = 2.2$  毫克/厘米<sup>2</sup>,  $v_{\text{有效}} = 24$ ;  $v_{\text{有效}} j = 200-300$  微安及  $\frac{B_{\text{有效}}}{B} \approx 1-2$ , 亦即薄靶的產額比厚靶的產額略大,而比放射性甚至要相差數百倍。

利用薄靶可以增大核反應的產額而不需要磁場,其方法是把靶子一個放置在另一個的後面,因為在這種情況下,可利用某種共振方法補償每個靶子的能量損失。此處散射效應實際上較小,熱負荷不大。

當利用低能粒子時,例如當按  $D-D$ ,  $D-T$  及其它反應獲得中子時,入射粒子能量不大( $\leq 0.5$  兆電子伏),上述方法會特別適用,因為當能量很小時,  $\Delta B/B \simeq 1$ , 所以如果以前的條件都遵守的話,穿透數增加(或沒有磁場的靶子數目)是完全有利的。

最後作者對普柳頓(А. А. Плюто)、廖吉也夫(Н. И. Леонтьев)和德米特里也夫(П. П. Дмитриев)表示感謝,感謝他們所給予的有益的討論。

### 参 考 文 献

- [1] J. Casseles, J. Dickson, J. Howlett: *Proc. Phys. Soc.*, **64B**, No. 540, 719 (1951).  
[2] П. П. Дмитриев, Н. Н. Краснов, Е. Н. Хапров: *Атомная энергия*, **III**, № 7, 45 (1957).

## 能量为 14.7 兆电子伏的質子在鋁內的射程

盖恩(М. Я. Ген) 彼得罗夫(Ю. И. Пешров)

用吸收法測量質子能量經常是利用鋁的,它可以做成薄箔或具有高均勻度和純度的大塊。

文獻[1]所引的鋁內質子射程與其能量的關係對低能範圍是基于李文斯登(Livingston)和貝采(Г. Бете)的曲綫,高于15兆電子伏為斯米特(Смит)的計算。在2—4兆電子伏能量範圍內,這個關係與維里遜(Вильсон)的測量結果相符合。

更晚的文獻[2—4]和我們測量的實驗結果證明了在14.6—18兆電子伏能量範圍內計算曲綫的正確性,與其差不超過1—2%。

由  $\text{He}^3(d, p)\text{He}^4$  反應獲得質子,在與  $\text{He}^3$  離子束成  $90^\circ$  角的方向上得到的質子能量為14.7兆電子伏。加速電壓為150千伏,靶上電流保持100微安。利用重冰作靶。質子用二個接入符合綫路的正比計數器記錄。二個計數器是高為80、直徑為27毫米的、開有入射質子束的側窗(其直徑為10毫米)的黃銅圓柱體,它們并排地放在一個黃銅外殼內。計數器充以8%

的甲烷与氦的混合物,压力为 38 毫米汞柱。

质子垂直于灯丝相继地通过二个计数器。入射窗是用厚为 1090 微米的铝片密盖的。在靶与计数器之间的真空管内放置一组不同厚度的铝箔。质子流用二个独立的、类似结构的正比计数器来检查,计数器接入符合电路。

图上的测量结果表明: 能量为 14.7 兆电子伏的质子在铝内的平均射程等于  $325.7 \pm 1$  毫克/厘米<sup>2</sup>, 理论值为 330 毫克/厘米<sup>2</sup>, 确定最大可能误差值的方法从图上的几何形状来看是很明显的。质子能量是根据中子、质子、 $\text{He}^3$  和  $\text{He}^4$  质量的表值计算的。当从靶心在  $\sim 2^\circ$  角时即可看到较远一个计数器的窗孔, 它所引起的能量分散不超过  $\pm 10$  仟电子伏。质子能量的某些不确定性是由于未分离开来的  $(\text{He}^3)^+$  和  $(\text{He}^3)^{++}$  离子束轰击靶而产生的。

但是, 如果假定所有看到的质子, 其产生只与双倍带电离子有关, 则质子最大能量值不是通用的 14.7 兆电子伏, 而应是 14.73 兆电子伏。

在厚靶内质子能量的损失可以忽略, 因为能量为 150 仟电子伏的  $\text{He}^3$  离子被极薄的表面层阻止了。

如果取 1 厘米空气相当 1.5 毫克/厘米<sup>2</sup> 铝(按阻止本领), 则在我们的情况下理论预计的剥裂效应应为  $\sim 1.68\%$  [1,5], 实验得到为  $\sim 1.54\%$  (参见图)。

能量为 14.6—18 兆电子伏的质子在铝内的射程

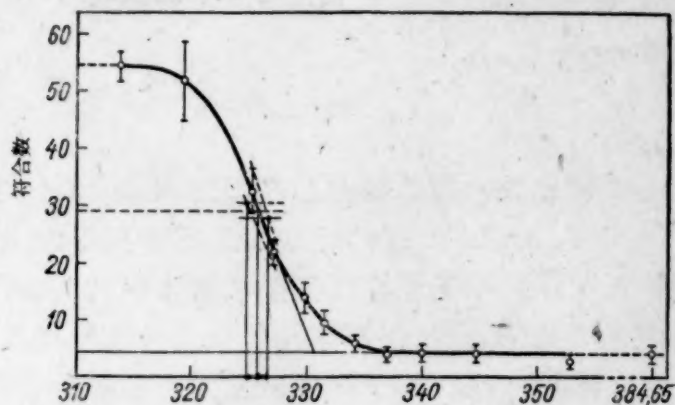
质子能量, 兆电子伏	射程, 毫克/厘米 <sup>2</sup>	参 考 文 献
14.6	325	[2]
14.7	$325.7 \pm 1$	本 文
$15 \pm 0.2$	$343.5 \pm 1\%$	[3]
$18 \pm 0.02$	$477.0 \pm 0.5$	[4]

表内引入了能量为 14.6—18 兆电子伏的质子在铝内的射程的综合实验数据。

作者向兰普斯基(О. И. Лейпунский)对工作的安排和讨论, 扬波里斯基(П. А. Ямпольский)一系列有益的指导, 史米尔诺夫(В. И. Смирнов)参加电子学仪器的拟制和彼茨(Л. А. Пец)在使用加速管时的帮助表示感谢。

### 参 考 文 献

- [1] Г. Бете, Ю. Ашкин: Экспериментальная ядерная физика. Под ред. Э. Сегре, т. 1, М., Изд-во иностр. лит., 1955.
- [2] J. Hatton, G. Preston: *Nature*, **164**, 143 (1949).
- [3] H. Bichsel, R. Mozley: *Phys. Rev.*, **90**, 354 (1953).
- [4] E. Hubbard, K. Mackenzie: *Phys. Rev.*, **85**, 107 (1952).
- [5] M. Livingston, H. Bethe: *Rev. Mod. Phys.*, **9**, 263 (1937).



吸收体厚度毫克/厘米<sup>2</sup>  
在铝内的质子吸收曲线



## U<sup>238</sup>, U<sup>235</sup> 及 Th<sup>232</sup> 为快中子所分裂 的緩发中子的絕對产額

馬克修金科 (Б. П. Максютенко)

被分裂物質的样品放在鍋容器中, 在快中子流中照射5分钟, 快中子流是从  $D(d, n)\text{He}^3$  及  $T(d, n)\text{He}^4$  反应的級联发生器中获得的, 然后撤到計数部分. 实验的几何条件, 計数仪器的工况以及中子源都与测量相对产額的实验[1]相同(計数率的记录例外). 在本文中记录了在一定時間間隔內(在控制器計数的单位時間內)的緩发中子的总計数率  $N_d$ .

然后, 在相当于样品的位置上放置分裂室(它有与分裂物質厚度相同的分裂层), 并测量在相同中子流中的分裂数  $N_f$ . 由于得到了  $N_d/N_f$  值, 在以后可用来計算各种元素为不同能量中子所分裂的緩发中子的絕對产額之比. 实验中所用的样品是直径 35 毫米厚 1 毫米的圓盘, 而平板分裂室的分裂物質层的直径为 35 毫米, 厚度大于分裂碎片的最大射程.

可以証明, 对薄的样品說来, 相同元素为不同能量中子所分裂的緩发中子的絕對产額之比等于

$$\frac{\mu_{E_1}}{\mu_{E_2}} = \frac{(N_d/N_f)_{E_1}}{(N_d/N_f)_{E_2}} \frac{1 + \frac{\bar{a}_{E_1}}{2} \frac{1 + \frac{\bar{a}_{E_2}}{3} \frac{\Sigma E_2 \xi_{E_2}}{\Sigma E_1 \xi_{E_1}}}{1 + \frac{\bar{a}_{E_2}}{2} \frac{1 + \frac{\bar{a}_{E_1}}{3} \frac{\Sigma E_1 \xi_{E_1}}{\Sigma E_2 \xi_{E_2}}}}{2 \cdot \frac{1 + \frac{\bar{a}_{E_1}}{3} \frac{\Sigma E_1 \xi_{E_1}}{\Sigma E_2 \xi_{E_2}}}} \quad (1)$$

式中, 符号  $E_1$  与  $E_2$  表示相应中子的能量;  $\mu$  为緩发中子的絕對产額;  $\bar{a}_E$  是考虑到分裂碎片各向异性分布的修正, 对进行分裂的相应的中子譜綫取平均值, 而且  $a = R - 1$  ( $R$  是裂片相对于中子运动方向为 0 度与 90 度时裂片产額之比);  $\xi_{E_2}, \xi_{E_1}$  是考虑到中子流的減弱以及在样品中二項碰撞的修正;  $\Sigma$  表示和  $\Sigma c_i \tau_i \times \left( e - \frac{t_1}{\tau_i} - e \frac{t_2}{\tau_i} \right)$  的縮写, 其中  $c_i$  是第  $i$  組緩发中子实验测量产額之比 ( $\Sigma c_i = 1$ );  $\tau_i$  为第  $i$  組的平均寿命;  $t_1$  与  $t_2$  为测量的始末時間 (假定样品活性达到飽和).

U<sup>235</sup> 与 U<sup>238</sup> 为相同能量中子所分裂的緩发中子的絕對产額之比  $\mu_5/\mu_8$  由如下方程决定

$$\frac{\Sigma_8}{\Sigma_{5+8}} \frac{N_{d(5+8)}}{N_{d(8)}} \frac{\xi_8}{\xi_{(5+8)}} \frac{x_8}{x_{(5+8)}} = 0.1 \frac{M_{(5+8)}}{M_8} \left[ 1 + 9 \frac{\sigma_f^{(5)} \mu_5}{\sigma_f^{(8)} \mu_8} \right] \quad (2)$$

式中下标 8 与 (5+8) 分別是 U<sup>238</sup> 与 U<sup>235</sup> (浓度为 90%) ;  $x_8/x_{(5+8)}$  为第一組緩发中子計数效率之比 (位置在該样品的中央部分), 效率的变化与自吸收有关;  $M$  表示样品的质量;  $\sigma_f^{(5)}$  与  $\sigma_f^{(8)}$  分別为 U<sup>235</sup> 及 U<sup>238</sup> 的分裂截面.

比值  $x_8/x_{(5+8)}$  由实验来确定, 光中子源 Na + D<sub>2</sub>O 及 Na + Ba (制成与样品有相同直径的圓盘) 与样品 U<sup>235</sup> 及 U<sup>238</sup> 一起放在計数部分的中央測得的.

U<sup>238</sup> 及 U<sup>235</sup> 为相同能量中子所分裂的絕對产額之比由下式确定

$$\frac{\mu_8}{\mu_2} = \frac{(N_d)_8 A_8 \sigma_2 M_2 x_2 \Sigma_2 \xi_2}{(N_d)_2 A_2 \sigma_8 M_8 x_8 \Sigma_8 \xi_8} \quad (3)$$

式中下标 8 与 2 分別为 U<sup>238</sup> 与 Th<sup>232</sup>.

还测量了 U<sup>235</sup> 为热中子及能量为 15.0 兆电子伏的中子所分裂的緩发中子絕對产額之比.

为了减少热中子流的减弱,在这些实验里所用的样品为重 0.734 克直径 35 毫米的  $U^{235}$ ,它放在铝容器中,平板分裂室由浓度 90%,厚度为 7 毫克/厘米<sup>2</sup>的  $U^{235}$  层的铝所制成。

已知  $U^{235}$  为不同能量中子所分裂的绝对产额之比以及  $U^{238}$  与  $U^{235}$  为相同能量中子所分裂的产额之比,可求出  $U^{235}$  为热中子所分裂的缓发中子绝对产额(通常为 1)。这个值也是钚的。

系数  $R$  值取自文献[2,3],能量为 2.25,3.8 及 15 兆电子伏的分裂截面之比分别取自文献[4,5,6]。应该指出,在文献[1]以及此项工作中都是指中子能量。在计算中很自然利用最大几率能量 2.4 与 2.25 兆电子伏一起,3.3 与 3.8 兆电子伏一起(参看上述反应谱的工作[7])。

缓发中子的绝对产额

中子能量 МэВ	$U^{235}$	$U^{238}$	$U^{239}$
15.0	$1.86 \pm 0.06$	$4.60 \pm 0.28$	$5.11 \pm 0.38$
3.3	$0.99 \pm 0.04$	$2.45 \pm 0.17$	$3.18 \pm 0.26$
2.4	$1.03 \pm 0.04$	$2.58 \pm 0.14$	$3.40 \pm 0.28$
热中子	1	—	—

实验结果列在表中。表中数据表明,当进行分裂的中子能量一直增加到 4МэВ 之前绝对产额不发生变化。当中子能量为 15.0 兆电子伏时输出差不多增加 2 倍。

作者感谢卡萨奇科夫斯基(О. Д. Казачковский)与斯大维斯基(Ю. Я. Ставиский)对此项工作的宝贵指导与关怀。

### 参 考 文 献

- [1] Б. П. Максютенко. Ж. эксперим: и теор. физ., **35**, 815 (1958).
- [2] R. Henkel, J. Brolley: *Phys. Rev.*, **103** 1292 (1956).
- [3] В. М. Струтинский: *Атомная энергия*, II, № 6, 508 (1957).
- [4] R. Lamphere: *Phys. Rev.*, **104**, 1654 (1956).
- [5] R. Smith, R. Henkel, R. Nobles. *Bull. Amer. Phys. Soc.*, Ser II, **2**, 196 (1957).
- [6] А. А. Березин, Г. А. Столяров, Ю. В. Никольский, И. Е. Челноков: *Атомная энергия*, **5**, вып. 6, 659 (1958).
- [7] D. Livesey, D. Wilkinson: *Proc. Roy Soc.*, **A195**, 129 (1948).

## 利用别林基-塔姆(Беленький-Тамм)平衡谱计算某些物质在单色电子束的作用下光激中子的产额

哥馬拿依 (В. И. Гомонай) 克利夫斯基 (И. Ю. Кривский)  
施高太-烏雅諾夫 (В. А. Шкода-Ульянов)

现在已经研究和建造了许多大流强的电子加速器,它们能使被加速粒子具有极不相同的能量。当电子束与加速器内部和外部的各种另件相互作用时产生了由强中子通量相伴随着的强大的  $\gamma$  辐射。在能量直到足以产生介子的范围内,光激中子的基本来源是由  $(\gamma, n)$ ,  $(\gamma, 2n)$ ,  $(\gamma, np)$  型的光核反应。在这些反应中,以  $(\gamma, n)$  反应贡献最大,它当能量数量级为 15—20 兆电子伏时具有很大的截面。由于电子束与加速器本身的另件或者与其外部的各种测量仪器(例如用来测量电子束强度的法拉弟圆筒)相互作用,电子束实际上是全被吸收了。按文



献<sup>[1,2]</sup>所給的数据,当加速电子的能量为200—600兆电子伏的加速器工作时产生的光激中子通量能够达到 $10^9$ — $10^{12}$ 中子数/秒的数量級。这些数据說明了当电子加速器(尤其是直綫型)工作时应特別注意中子防护問題的必要性。

在高中能区域,为了估計电子加速器工作时在重元素中产生的光激中子可能具有的通量值,我們可以利用所謂在A近似下的簇射理論(приближение A лавинной теории)<sup>[2,3]</sup>。这个近似的应用不應該引起大的不精确性,因为在这个近似中用到的、限制能量数值的基本不等式 $E_0 \gg E_p \gg \beta$ 是滿足的,此处 $E_0$ 为被加速的电子的能量, $E_p$ 为能够有效发生 $(\gamma, n)$ 反应的共振能量, $\beta$ 表示对給定元素的临界能量。

对于中等和輕元素,不等式 $E_p \gg \beta$ 是不滿足的。除此,現在在各种科学和技术部門中广泛利用的是帶有能量为15—20兆电子伏的电子加速器。在此情况下,为了决定光激中子的产額就必须利用簇射理論的更精确的結果,因为,例如对銅来講, $\beta$ 等于16兆电子伏, $E_p$ 为18兆电子伏,即 $E_0$ 和 $E_p$ 同数量級。本文利用別林基-塔姆(Беленький-Тамм)平衡譜<sup>1)</sup>对Pb, Cu, Al和C进行了相应的計算。在加速器工作时,这些元素是作为基本的材料被使用着的(如法拉弟圓筒、加速器內的另件、屏蔽物)。为了把得到的結果与那些Z相邻的元素相比数,我們也計算了来自U和Bi的光激中子产額。

借助于簇射理論,能够估計当光子和电子束全被吸收时产生的光激中子的数目。在单能电子束的情况下,这个量可以用下列公式表示<sup>[1,4]</sup>:

$$Q(E_0) = \frac{E_0}{\beta} \int_{\epsilon_n}^{\epsilon_0} \frac{\sigma_{\gamma, n}(\epsilon)}{\sigma_n(\epsilon)} \varphi_p(\epsilon_0, \epsilon) d\epsilon \quad (1)$$

对某些物质的临界能量及閾能

物 质	$\beta$ , 兆电子伏	$E_n$ , 兆电子伏	給出 $\sigma_{\gamma, n}(E)$ 依賴关系的文献
C	68.7	18.7 [5]	[6]
Al	36.6*	14.0 [7]	[6]
Cu	16.4	8.3	[8]
Pb	6.63*	7.3 [9]	[12]
Bi	6.54	7.4 [5]	[8]
U	5.85	5.6[10]	[8]

\* 对于Pb和Al的 $\beta$ 值亦可参考文献[4]

此处 $Q(E_0)$ 表示在能量为 $E_0$ 的单能电子束完全被吸收的情况下,每一个原始电子所产生的光激中子数; $\epsilon = 2.29E/\beta$ ;  $\varphi_p(\epsilon_0, \epsilon) = e^\epsilon = \int_{\epsilon}^{\epsilon_0} \frac{e^{-x}}{x^2} dx$ ;  $E$ 为在簇射中光子的能量; $E_n$ 为 $(\gamma, n)$

反应閾能; $\sigma_{\gamma, n}(E)$ 表示 $(\gamma, n)$ 反应截面;

$\sigma_n(E) = \sigma_{\text{电子对}}(E) + \sigma_{\text{康普顿}}(E)$ 表示光子吸收的总截面。 $Q(E_0)$ 可用积分(1)按辛卜生公式計算; $\sigma_n(E)$ 可按已知公式計算同时利用表中所列的数据。我們按文献[4]中所述的方法計算了 $\beta$ 值。对于 $Q(E_0)$ 計算的結果表于图1和图2上。

为了校检数值計算的結果,我們利用积分方程(1)对于 $\sigma_{\gamma, n}$ 的解<sup>[11]</sup>。得到了Cu, Al和C的 $\sigma_{\gamma, n}(E)$ 数值。結果发现計算的 $(\gamma, n)$ 反应截面与原始数据符合得很好,从而証实了我們所进行的計算的正确性。

1) 可参考: I. Tamm, S. Belenky, Phys. Rev. 70, 660 (1946) (譯者注)

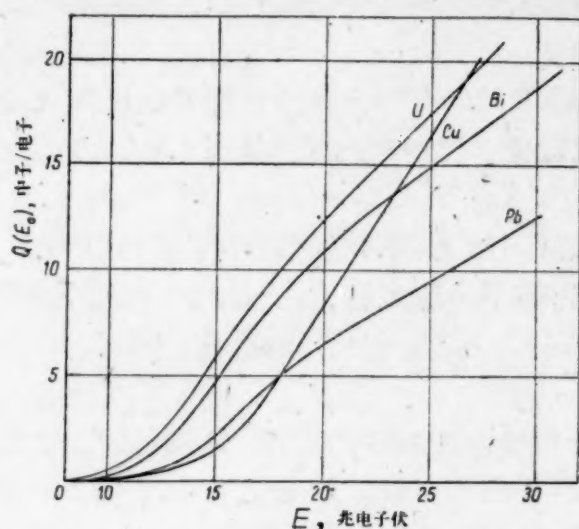


图1. 对于 Cu, Pb, Bi 和 U, 光激中子产额与入射电子能量的关系  
乘数: 对于 Cu 为  $0.25 \times 10^{-3}$  中子/电子, 对于 Pb 和 Bi 为  $0.5 \times 10^{-3}$  中子/电子, 对于 U 为  $10^{-3}$  中子/电子。

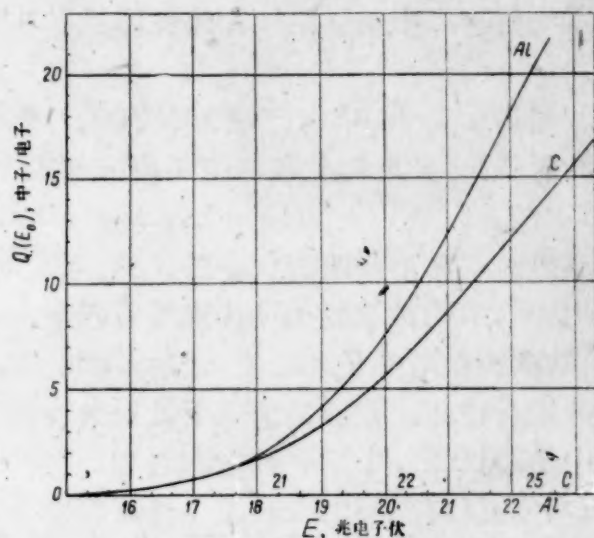


图2. 对于 Al 和 C, 光激中子产额与入射电子能量的关系  
乘数: 对于 Al 为  $0.2 \times 10^{-4}$  中子/电子, 对于 C 为  $0.8 \times 10^{-5}$  中子/电子。

作者对参与数值计算工作的巴拉巴诺夫(Н. М. Балабанов)、高派加(И. В. Гопака)、伯老哥毕哥(Г. А. Прокопенко)、雷达钦哥(Г. А. Редченко)表示感谢。

### 参 考 文 献

- [1] В. И. Гольданский, В. А. Шкода-Ульянов: *Ж. эксперим. и теор. физ.*, **28**, 623 (1955).
- [2] M. Chodorow, E. Crinston, W. Hansen, R. Kynl, B. Neal, W. Panofsky: *Rev. Scient. Instrum* **19**, 89 (1948).
- [3] Б. Росси, К. Грейзен: *Взаимодействие космических лучей с веществом*. М., Изд-во иностр. лит., 1948.
- [4] С. З. Беленький: *Лавинные процессы в космических лучах*. М., Гостехиздат, 1948.
- [5] R. Nathans, J. Halpern: *Phys. Rev.*, **93**, 437 (1954).
- [6] R. Montalbetti, L. Katz, J. Goldenberg: *Phys. Rev.*, **91**, 659 (1953).
- [7] L. Eyges: *Phys. Rev.*, **86**, 325 (1952).
- [8] Б. И. Гаврилов, Л. Е. Лазарева: *Ж. эксперим. и теор. физ.* **30**, 855 (1956).
- [9] R. Sher, J. Halpern, A. Mann: *Phys. Rev.*, **84**, 387 (1951).
- [10] B. Diffield, J. Huizenga: *Phys. Rev.*, **89**, 1042 (1953).
- [11] В. А. Шкода-Ульянов: *Всесоюзная конференция по ядерным реакциям при малых и средних энергиях*. (Москва, 1957). Краткое сообщение.
- [12] M. Elaine Toms, E. Stephens: *Phys. Rev.*, **108**, 77 (1957).

## 中子被氧, 錒和铬核散射时的能谱

高尔富曼(Ю. В. Гофман) 聶滅茲(О. Ф. Немец)  
托卡列夫斯基(В. В. Токаревский)

尽管关于中子同核的相互作用曾进行了大量的研究工作, 但测量散射中子能谱的研究数量却仍然是相当少的。研究中子能谱时可以单值的确定各能级的能量及其激发的一部分截面, 这在测量  $\gamma$ ——量子能谱时由于级联跃迁的存在是很难做到的。



本文将列出中子被铈核和铬核弹性和非弹性散射以及中子被氧核弹性散射时能谱的测量结果。

利用  $D(d, n) \text{He}^3$  反应做为中子源。氘核被加速到 150 千电子伏的能量并且使其飞向重冰做的靶子。散射体放在与中子束方向成  $13^\circ$  的位置上, 所以中子的能量是  $2.9 \pm 0.1$  兆电子伏。

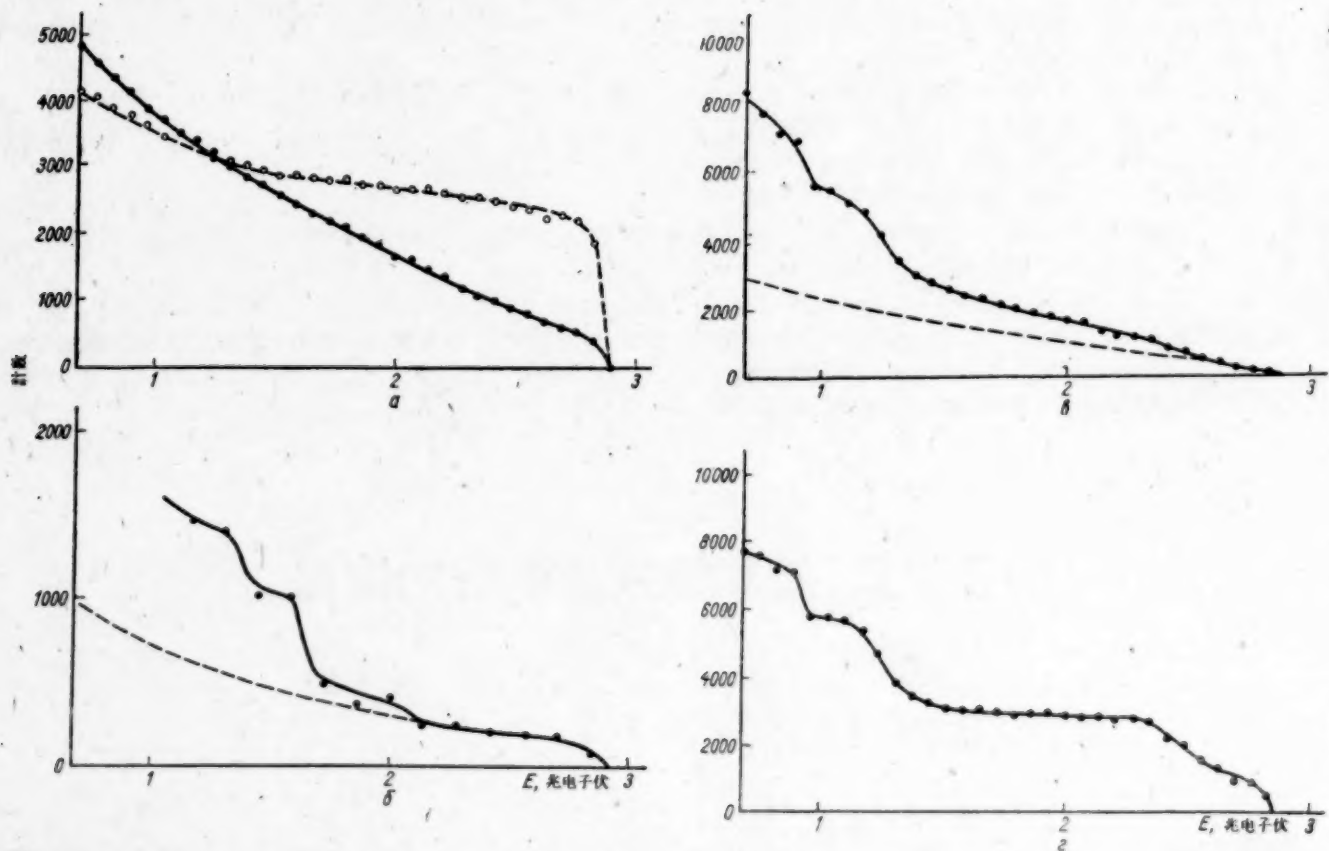
测量是在环形几何形状中进行的, 天然同位素成份的散射体被做成圆环截面的形式。铬以氧化物的形式被放置在环状薄壁容器中。测量分为四个步骤进行: 首先测直束强度, 然后测本底, 其次测散射中子的强度, 最后再测一次本底。在每组测量中仪器的稳定性根据  $\alpha$ -粒子的脉冲进行校正。在各种情况下散射角均为  $90^\circ$ 。

中子谱仪是一个同线性放大器和 50 道的振幅分析器连接起来的圆球形游离室<sup>[2]</sup>, 在文献[3]中与文献[2]不同之处是为了提高效率在游离室内充满着甲烷, 但是这在若干程度上恶化了游离室的能量分辨率。弹性和非弹性散射的横截面是根据文献[1]算出的。

在图中列出了所测得的中子在铈和铬上散射的能谱。曲线  $a$  表示中子直束的能谱虚线表示对器壁效率校正后中子直束的能谱<sup>[4]</sup>。曲线  $\delta$  则给出了中子被铈散射的能谱,  $\sigma$ ——中子被铬的氧化物散射的能谱;  $\tau$ ——同  $\sigma$ , 但考虑了器壁的影响。

由曲线  $\delta$  可见, 在铈那里发现了三个激发能级, 其能量各为 0.85, 1.33 和 1.68 兆电子伏。这些能级的激发截面分别等于  $22 \pm 2$ ,  $80 \pm 9$  和  $11 \pm 1$  毫靶/立方米。弹性散射的截面等于  $147 \pm 16$  毫靶/立方米。

在铬那里(曲线  $\sigma$  和  $\tau$ )除了在文献[5]中所找到的能量为 1.45 兆电子伏的能级外, 还发现了能量为 1.82 兆电子伏的能级。非弹性散射的相应的微分截面等于  $59 \pm 6$  和  $24 \pm 3$  毫靶/立方米, 而弹性散射截面  $-208 \pm 28$  毫靶/立方米。



中 子 能 谱

$a$ ——直束;  $\delta$ ——被铈散射的;  $\sigma$  和  $\tau$ ——被氧化铬散射的。

最后, 能量为 2.9 兆电子伏的中子在氧上弹性散射截面, 根据我們的数据, 等于  $47 \pm 5$  毫靶/立方米.

### 参 考 文 献

- [1] О. Ф. Немец: Диссертация, Институт физики АН УССР, Киев, 1954.
- [2] О. Ф. Немец, М. В. Пасечник: Сессия АН СССР по мирному использованию атомной энергии. Киев, 1958, стр. 86.
- [3] В. П. Вертебный: Диссертация, Институт физики АН УССР, Киев, 1955.
- [4] О. Ф. Немец: *Укр. физ. ж.*, 2, 101 (1957).
- [5] J. Freeman: *Progr. Nucl. Phys.*, 5, 37 (1956).

## 列宁格勒近郊大气中 $\text{Sr}^{90}$ 的沉降

什維道夫(В. Г. Шведов)    日尔金娜(М. И. Жилкина)  
 津諾維耶娃(В. К. Зиновьева)    依万諾娃(Л. М. Иванова)  
 馬卡洛娃(Т. П. Макарова)    巴夫洛娃(Н. А. Павлова)

从 1954 年开始就对列宁格勒近郊大气中沉降的  $\text{Sr}^{90}$  的量进行测定. 在 1954—1955 年当中曾根据原子核爆炸放出的总产物的观察进行了估计<sup>[1]</sup>. 计算是以文献[2]中的数据为基础.

1956 年曾对大气中沉降的放射性产物的大量样品进行了  $\text{Sr}^{90}$  的选分. 曾确定,  $\text{Sr}^{90}$  在这些样品中的平均百分数含量同在一年内沉降出的总放射性总产物中  $\text{Sr}^{90}$  的百分含量是一样的(根据文献[1]在一年内沉降出的总放射性产物中  $\text{Sr}^{90}$  的百分含量是已知的). 由此就估计出在 1956 年沉降出  $\text{Sr}^{90}$  的量.

1957 年曾对所有的沉降产物进行了放射化学分析, 这些沉降产物是借助于在底部有少量酸化水的高壁容器捕集的. 曾分离锶、钍并测定了  $\text{Sr}^{90}$  和  $\text{Ce}^{144}$  的量. 在 1957 年沉降出的  $\text{Ce}^{144}$  的量为 55.7 微居里/平方公里.

关于  $\text{Sr}^{90}$  的分析结果列于表中.

$\text{Sr}^{90}$  的 沉 降

年	一年内的沉降, 微居里/平方公里	在 1957 年 1 月 1 日沉降的残余物, 微居里/平方公里
1954—1955	1.1	1
1956	2.6	2.5
1957	3.4	3.4
在 1958 年 1 月 1 日时总计	7.1	6.9

### 参 考 文 献

- [1] В. П. Шведов, В. А. Блинов, Л. И. Геденов, Е. В. Анкудинов *Атомная энергия*. 5, вып. 5, 577 (1958).
- [2] H. Hunter, N. Ballou: *Nuclonics*, 9, No. 5, C-2 (1951).



## 停止核爆炸試驗后的放射性沉降

在捷克斯洛伐克格拉茨克拉洛夫的医学系物理教研室从1956年起就对大气沉降物的放射性进行有系统的测量(最初是与格拉茨克拉洛夫地球物理研究所及气象局协作进行的)。在核爆炸試驗停止后,我們也經常地收集放射性沉降物,現在每过二三日就按文献[1]中所述的方法收放射性沉降物。收集用的器皿有很高的边,其面积为1平方米,由塑料制成。其底部經常在一薄层水。收集来的物质按文献[1]中所述的方法进行处理。收集来的灰渣乘湿的时时移入鋁制小皿内小皿的边很低,面广3平方厘米。在灯上烤干后就置入測量 $\beta$ 放射性的仪器内。对某几个样品还用閃爍計数管測量其 $\gamma$ 放射性。

在几个月内,对信号样品的放射性下降的过程加以考察。本教研組的助教馬茨古(Ю. Мауку)所制造的能記錄讀数的自动測量装置得到了很好的結果。

从1平方米的表面上所收集来的样品的重量是比較大的(一般是每平方厘米几十毫克)。因此,必須尽可能精确地以及用尽可能多的样品数来測定 $\beta$ 射綫在样品中的自吸收作用。

将属于同一份样品的灰分逐漸而謹慎地加入鋁制小皿内,而且每1平方厘米上的重量都由3毫克/厘米<sup>2</sup>(此时自吸收作用极小)增为100毫克/厘米<sup>2</sup>或更多。在一个坐标軸上标上样品重量,而在另一坐标軸上标以每克物质的放射性,便可得到自吸收曲綫。这样,可求出每个样品的自吸收修正值。

根据用鋁箔所进行的測量結果,可近似地个内沉降物放射性的总值为175毫居里/公里<sup>2</sup>,而在到1959年4月30日为止的后三个月内,放射性总值为152毫居里/公里<sup>2</sup>。然而,更精确地办法是确定放射性沉降物的累积密度来代替简单的放射性和<sup>[1]</sup>。用图解法可以确定,沉降物在3—4个月的龄期内,平均冪指数 $n = 1.13$ ,对更久的样品 $n = 1.64$ 。因此,对超过100天的样品,可用公式

$$A = A_1 t^{-1.64} = A_1 (T - T_0)^{-1.64}$$

来计算累积放射性,式中 $A_1$ 为单位时间内的放射性, $t = T - T_0$ 是样品龄期。

核試驗的日期 $T_0$ 可用图解法(图1及图2)近似地求出来。对于信号样品,經常測量其放射性,所以求得了正真的值。对于弱放射性,采用文献[1]中的方法。

从1958年11月1日到1959年1月31日放射性沉降物的累积密度为90毫居里/公里<sup>2</sup>;而从1959年2月1日到4月30日为88毫居里/公里<sup>2</sup>。因为在三个月后,放射性从90居里/公里<sup>2</sup>降为33毫居里/公里<sup>2</sup>,那么在停止核試驗后半年,放射性沉降物的累积密度为121毫居里/公里<sup>2</sup>。

在用图解法确定 $T_0$ 及 $n$ 时,如下处理是很簡便的:任意选定的放射性 $A$ 及 $A/K$ 所对应的临时日期的差給出了縱坐标的长度,縱坐标的終点决一直綫,此直綫与時間軸的交点即为 $T_0$ ,此直綫与日期軸所成之角与 $K$ 及指数 $n$ 有关。

在文献[2]表明,放置100天后,放射性沉积物的放射性可按公式

$$A = A_1 t^{-1.60}$$

来计算。在文献[3]内,根据最新的数据,作出求出我們样品的 $\beta$ 輻射的能量。能量基本上分作两类:即0.6兆电子伏及2.1兆电子伏。在质量更大的样品中(这样的样品占多数)軟射綫实际上全被吸收了。

放射性沉降的 $\gamma$ 射綫的能量按銅片和鋁片内的吸收用閃爍計数管計来測定(0.2兆电子伏

及 0.8 兆电子伏)。

为了绝对计算  $\beta$  样品的放射性, 采用了布拉格原子核研究所剂量组[其领导是别加烏涅克 (Ф. Бегоунок)]所制备的  $\text{Sr}^{90}$  标准制品。

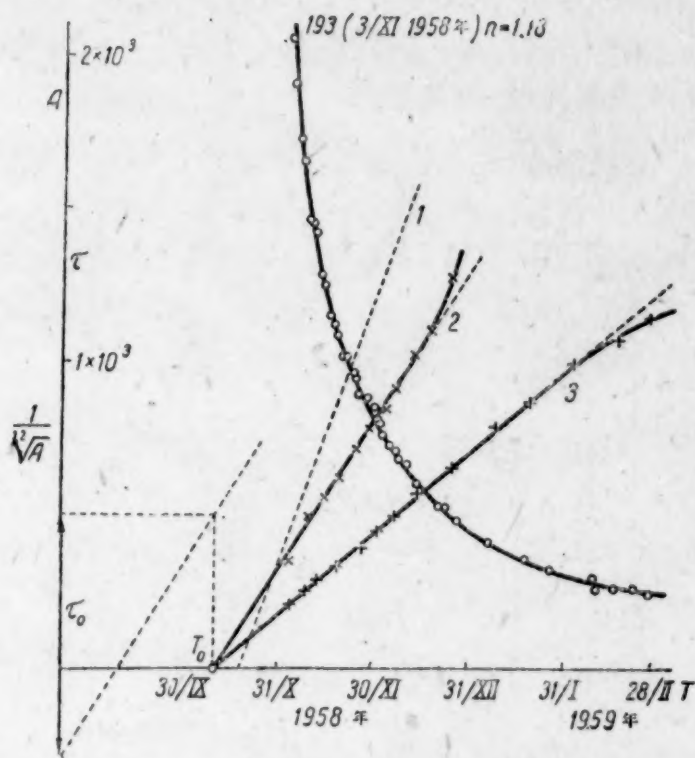


图 1 1958年11月3日放射性沉降物样品的放射性的下降

在纵坐标轴上标以放射性  $A$  (读数/分), 在横坐标轴标以日期。放射性产生的日期 (大概是 1958 年 10 月 11 日) 可是图解法确定和证实 (直线 2 及 3)。直线 1 与幂指数  $n = 1$  相适应。实际上放射性以  $n = 1.18$  的指数下降, 幂指数可根据左方的三角形由图解法确定直线 3 是与放射性  $A$  及  $A/2$  相适应的日期的差 ( $\tau$ ) 的轨迹, 直线 2 及 3 最初部分的偏离是由前一次核试验所产生的较小的附带放射性引起的。

今年 (截至 1959 年 5 月 15 日) 大气沉降物放射性的平均值约比 1958 年内的平均值约高 3 倍以上, 而比 1958 下半年的比均值约高 2 倍以上。1959 年 4 月 6 日那天所降的雨水的放射性为最高 ( $10.1 \times 10^{-9}$  居里/升)。

放射性沉降的强度的若干数据列于下表。

表 从 1958 年 11 月 1 日至 1959 年 5 月 31 日的放射性降落

时 间	每月平均强度, 毫居里/公里 <sup>2</sup>	每日平均强度, 毫居里/公里 <sup>2</sup>
1958年11月	8.1	0.27
1958年12月	104.7	3.4
1959年1月	62.1	2.0
1959年2月	75.1	2.7
1959年3月	31.5	1.0
1959年4月	45.8	1.5
1959年5月	41.6	1.3

在数日以内对放射性沉降物进行测量, 根据所得的值用简单求和法求出整月内沉降物的放射性的数值。用这样的方法所求出的半年内的沉降物放射性为 327 毫居里/公里<sup>2</sup>。每天内沉降物放射性的平均值为 1.8 毫居里/公里。1958 年 11 月的放射性值较低, 其部分原因是该



月內降落的沉积物的量不多。

从1958年11月1日至1959年1月30日这三 $\beta$ 放射性碎片的放射性下降曲线。据此可得出在2—3月的龄期内,放射性碎片的 $n = 1.5 - 1.7$ 。我們的信号放射性下降曲线(18个样品)証明,对于超过三个月的碎片, $n = 1.64$ 。仅从几个样品上观察到不正常的放射性急速下降的现象,其指数 $n = 3 - 4$ (例如1959年1月23日的样品,其放射性最初下降得非常快)。1959年4月,放射性的下降是稳定的,其幂指数 $n = 1.6$ 。在文献[4]中指出,放射性下降得所以比較快,可用放射性是由中子所产生的原因来解释。这样的放射性同位素的放射性,比放射性碎片的放射性下降得快。

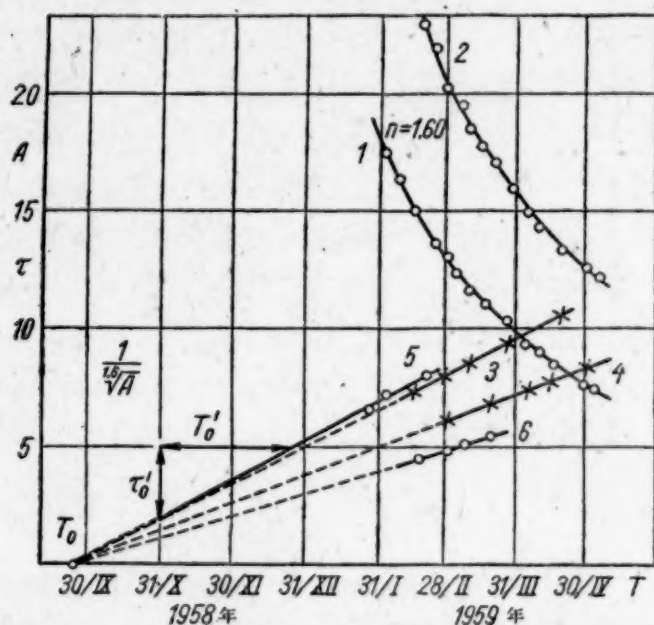


图 2 两个放射性沉降物的样品的放射性的下降(由图解法测定的 $n = 1.60$ )  
样品 1 是 1959 年 1 月 23 日取的,样品 2 是 1959 年 2 月 16 日取的。放射性的产生日期可由图解法确定,大概是 1959 年 9 月 25 日(直线 5 及 6)。通过直线 3 及 4 用图解法作了检查。

在核試驗停止后的一定時間內,留下了放射性相当强的样品,它具有固定的最小龄期,但此龄期还是够长的。又过了几个月,大部分放射性沉降物的样品往往处于可看作为孤立的放射性碎片云的形式下。在文献[5]中指出,原子云是不容易散开的。我們的大部分样品的放射性下降曲线可认为是碎片的放射性下降曲线,在此时,附带放射性(占初放射性百分率不高)开始极小,只有过几个月后才显现出来(见图 1)。

### 参 考 文 献

- [1] В. П. Шведов, В. А. Блинов, Л. И. Геденов, Е. П. Анкудинов: *Атомная энергия*, 5, вып. 5 577 (1958).
- [2] H. Hunter, N. Ballou: *Nucleonics*, 9, No. 5, C-2 (1951).
- [3] J. Malý, J. Kutzendörfer, V. Macháček, V. Kourim, V. Jeřábek: *Чехосл. физ. ж.*, 6, 661 (1956).
- [4] Л. И. Геденов: *Атомная энергия*, II, № 3, 260 (1957).
- [5] A. Sittkus: *Beit. Phys. Atmosphäre*, 30, 200 (1958).

# 用空气吸收法分析軟β輻射

茨維塔耶娃(Н. Е. Цветаева) 罗森費尔德(Л. А. Розенфельд)

現有的用金属箔(鋁或金的)吸收法分析β輻射<sup>[1-4]</sup>对測量复杂譜的軟β輻射能量(<0.3兆电子伏)是不适宜的. 对于这种軟β輻射,如果用空气作吸收剂,則可获得很好的結果.

測量空气中β輻射的吸收是在真空干燥器中进行的. 干燥器內放置样品和 T-25БФЛ 型钟罩形計数管,該計数管的云母窗厚度为 1.3—2.5 毫克/厘米<sup>2</sup>. 計数管的窗与样品之間的距离可从 1 改变到 11 厘米. 为了改变空气层的有效厚度,干燥器內的压强可从大气压改变到 20 毫米汞柱.

当样品与計数管之間的距离不超过 8 厘米时,对于同位素 C<sup>14</sup> (E<sub>0</sub> = 0.155 兆电子伏)、S<sup>35</sup> (E<sub>0</sub> = 0.167 兆电子伏)、Ca<sup>45</sup> (E<sub>0</sub> = 0.254 兆电子伏)、Co<sup>60</sup> (E<sub>0</sub> = 0.306 兆电子伏)、Tl<sup>204</sup> (E<sub>0</sub> = 0.765 兆电子伏)得到的空气吸收曲綫是严格的指数曲綫. 压强等于零时的計数率与 1 个大气压时的計数率之比  $K = J_{p=0}/J_{\text{大气压}}$  是对β輻射能量灵敏的函数;在此情况下,灵敏度随空气隙长度的增加而很快地增加(见图 1, 2).

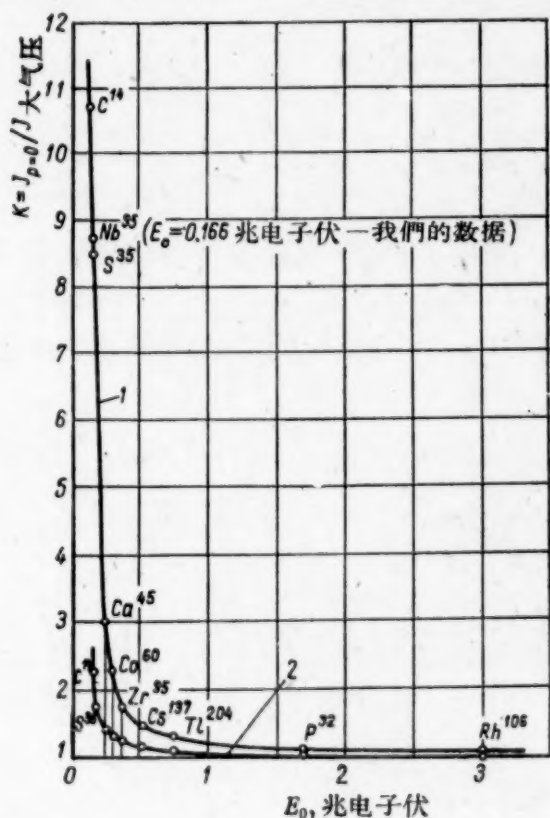


图 1 空气系数  $K$  与  $\beta$  輻射能量  $E_0$  的关系  
1——样品与計数管窗相距  $h = 5$  厘米;  
2—— $h = 3$  厘米.

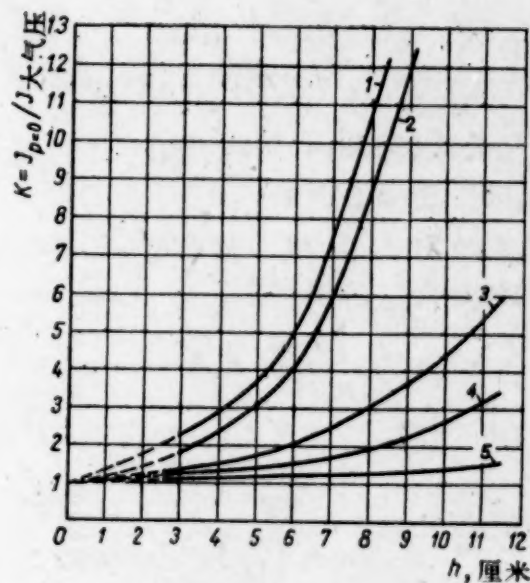


图 2 各种放射同位素的空气系数与样品到計数管窗的距离  $h$  的关系  
1——C<sup>14</sup>(0.155 兆电子伏); 2——S<sup>35</sup>(0.167 兆电子伏); 3——Ca<sup>45</sup>(0.254 Mev); 4——Co<sup>60</sup>(0.306 Mev); 5——Tl<sup>204</sup>(0.765 Mev).

当空气隙的长度  $\leq 8$  厘米时,对于双組分系統,  $\beta$  輻射的空气吸收曲綫可以表示为分析式:

$$\frac{J_{p=0}}{J_{\text{大气压}}} = \frac{J_{1\text{大气压}}}{J_{\text{大气压}}} e^{\mu_1(p_{\text{大气压}}-p)} + \frac{J_{2\text{大气压}}}{J_{\text{大气压}}} e^{\mu_2(p_{\text{大气压}}-p)}, \quad (1)$$



式中  $J_p, J_{\text{大气压}}$  是压力为  $p$  和大气压时的计数率 (脚碼 1 和 2 表示第一和第二组分);  $\mu_1$  和  $\mu_2$  是空气的吸收系数.

引入符号  $\frac{J_{1\text{大气压}}}{J_{\text{大气压}}} = x; \frac{J_{2\text{大气压}}}{J_{\text{大气压}}} = y; e^{\mu_1(p_{\text{大气压}}-p)} = K_1 \frac{p_{\text{大气压}}-p}{p_{\text{大气压}}}; e^{\mu_2(p_{\text{大气压}}-p)} = K_2 \frac{p_{\text{大气压}}-p}{p_{\text{大气压}}},$

(1)式可改写为:

$$\frac{J_{p=0}}{J_{\text{大气压}}} = x K_1 \frac{p_{\text{大气压}}-p}{p_{\text{大气压}}} + y K_2 \frac{p_{\text{大气压}}-p}{p_{\text{大气压}}}. \quad (2)$$

由(2)式出发,可以得到确定双组分系统中一个  $\beta$  辐射组分的空气吸收系数的公式:

$$K_2 = K_1 \left[ \frac{\frac{J_{p_1}}{J_{p_2}} \frac{1}{K_1 \frac{p_2-p_1}{p_{\text{大气压}}}} - 1}{1 - \frac{J_{p_3}}{J_{p_2}} K_1 \frac{p_3-p_2}{p_{\text{大气压}}}} \right] \frac{p_{\text{大气压}}}{p_2-p_1}, \quad (3)$$

式中  $p_1, p_2, p_3$  为选定的压力值, 它们满足关系  $p_2-p_1 = p_3-p_2$ ;  $J_{p_1}, J_{p_2}, J_{p_3}$  为压力是  $p_1, p_2, p_3$  时的计数率.

注意  $x + y = 1$ , 由式(2)可得确定组分含量的公式

$$y = \frac{K - K_1}{K_2 - K_1}, \quad (4)$$

式中  $K = \frac{J_{p=0}}{J_{\text{大气压}}}$  为所分析的  $\beta$  辐射的有效空气系数.

利用公式(3)和(4)研究双组分系统时, 应当选择最长的空气隙, 但不得破坏吸收曲线的指数性, 即应选择 8 厘米.

将(3)式对  $J_1, J_2$  和  $J_3$  作全微分, 将(4)式对  $K$  和  $K_2$  作全微分, 可分别得到空气系数的误差  $\Delta K$  和组分含量的误差  $\Delta y$ :

$$\begin{aligned} \Delta K_2 = & \pm \frac{p_{\text{大气压}}}{p_2 - p_1} K_2 \delta \frac{1}{y K \frac{p_{\text{大气压}}-p_3}{p_{\text{大气压}}} \left[ 1 - \left( \frac{K_1}{K_2} \right) \frac{p_2-p_1}{p_{\text{大气压}}} \right]} \times \\ & \times \sqrt{\left( \frac{1}{K_2} \right)^2 \left( \frac{p_3-p_1}{p_{\text{大气压}}} \right)^2 + (K_1)^2 \left( \frac{p_2-p_1}{p_{\text{大气压}}} \right)^2 + \left[ \left( \frac{K_1}{K_2} \right) \frac{p_2-p_1}{p_{\text{大气压}}} + 1 \right]^2}; \\ \Delta y = & \pm \frac{\Delta K (K_2 - K_1) + \Delta K_2 (K - K_1)}{(K_2 - K_1)^2}. \end{aligned}$$

为了检查本方法的可能性, 在各种参数下考察了  $\frac{E_2 \pm \Delta E_2}{E_2}$  与已知能量  $E_1$  和待测能量  $E_2$  间的关系.

图 3 给出了在不同的待测组分的百分含量(10, 20, 50, 100%) 下  $\frac{E_2 \pm \Delta E_2}{E_2} = f(E_1)$  的依赖关系. 其中  $E_2 = 0.14$  兆电子伏(如实线所示). 虚线所示者也是这个依赖关系, 但  $E_2 = 0.20$  兆电子伏且待测组分含量为 10%. 由图 3 可知, 若能量比  $\frac{E_1}{E_2} = 1.3$  且组分含量  $\geq 50\%$  时, 确定

它的能量时发生的誤差不大于15%。随着 $\frac{E_1}{E_2}$ 的增加,誤差迅速减小,当 $\frac{E_1}{E_2}=1.7$ 时誤差只有5%。在能量比 $\frac{E_1}{E_2} \geq 2$ ,即使組分含量不大时(10—20%),确定其能量的精确度可以达到10%。

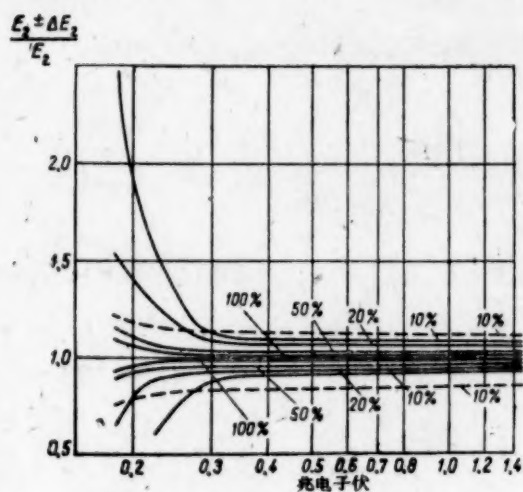


图 3 在  $E_2 = \text{常数} < E_1$  时  
 $\frac{E_2 \pm \Delta E_2}{E_2} = f(E_1)$  关系。

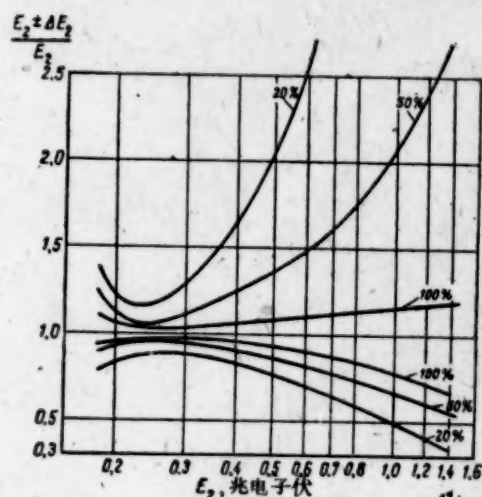


图 4 在  $E_1 = 0.14$  兆电子伏时  
 $\frac{E_2 \pm \Delta E_2}{E_2} = f(E_2)$  关系。

$\text{Ca}^{45}$  ( $E_0 = 0.254$  兆电子伏;  $K = 3$ ) 和  $\text{C}^{14}$  ( $E_0 = 0.155$  兆电子伏;  $K = 10.7$ ) 的混合物的分析結果

組分含量		分 析 結 果				測量誤差 $\delta, \%$
		$\text{Ca}^{45}$		$\text{C}^{14}$		
$\text{Ca}^{45}$	$\text{C}^{14}$	$(E_0 \pm \Delta E)$ 兆电子伏*	$y \pm \Delta y$	$(E_0 \pm \Delta E)$ 兆电子伏	$y \pm \Delta y$	
0.65	0.35	$0.28^{+0.04}_{-0.02}$	$0.60 \pm 0.03$	$0.151^{+0.009}_{-0.008}$	$0.32 \pm 0.05$	1
0.95	0.05	$0.255^{+0.015}_{-0.005}$	$0.92 \pm 0.03$	$0.130^{+0.015}_{-0.008}$	$0.04 \pm 0.01$	1
0.64	0.36	$0.265^{+0.020}_{-0.015}$	$0.65 \pm 0.03$	$0.147^{+0.008}_{-0.010}$	$0.27 \pm 0.05$	1
0.52	0.48	$0.30^{+0.10}_{-0.05}$	$0.40 \pm 0.05$	$0.147^{+0.009}_{-0.015}$	$0.50 \pm 0.10$	2

\* 由于曲線  $K = f(E_0)$  的非直線性(见图 1),  $\Delta E$  的正誤差和負誤差的絕對值不同。

当待測能量大于已知能量时,分析条件变坏。由图 4 可知,在待測組分含量不大( $\leq 50\%$ )的情形下,誤差随  $E_2$  的增加而尖銳地增加,如果  $E_2 > 0.4$  兆电子伏則用本方法确定能量已无足够的精确度;但是在这种情况下,可以用  $\beta$  輻射金属箔吸收分析法得到很好的結果,因此用本方法实在已无必要。

这样,对于具有硬的輻射本底的軟  $\beta$  輻射(能量  $< 0.3$  兆电子伏)应用空气吸收法进行  $\beta$  輻射的分析最有成效。

对于由  $\text{Ca}^{45}$  和  $\text{C}^{14}$  組成的不同比例的混合物,本方法已得到檢驗并給出很好的結果(見附表)。对于由  $\text{Nb}^{95}$  分离出来的  $\text{Zr}^{95}$  的純度进行确定,利用本方法也頗有成效。

### 参 考 文 献

- [1] E. Bleuler, W. Zunti: *Helv. phys. akta*, 19, 375 (1946).



[2] Z. Katz, A. Penfold: *Rev. Mod. Phys.*, **24**, 29 (1952).

[3] J. Harley, N. Hallden: *Nucleonics*, **1**, 32 (1955).

[4] M. Forro: *Z. Phys.*, **138**, H. 3/4, 441 (1954).

## 用鐘罩形計數管測量 $\beta$ 放射性气体的浓度

杜尔金(А. Д. Туркин) 米哈依洛夫(Л. М. Михайлов)

除了現有的測量空气中  $\beta$  放射性气体浓度的方法以外, 同时也可以利用鐘罩形計數管來測量。為了求得  $\beta$  射綫流与气体浓度的关系, 研究了鐘罩形計數管位于充滿放射性气体的圓柱形体积的底边中心时的情况(图 1)。这样的位置在一定假設条件下, 通过計算的方法有可能來測出  $\beta$  射綫流和气体浓度間的关系。这时要考虑到放射性气体的  $\beta$  輻射在空气中和鐘罩形計數管入射窗材料中的吸收。為了求得通过鐘罩形計數管的入射窗的  $\beta$  粒子流与气体浓度間的关系, 曾作了以下几个假設: 1) 放射性气体均匀地分布在整個圓柱形体积內; 2)  $\beta$  射綫的吸收按指数定律进行; 3) 不发生  $\beta$  射綫由圓柱体的壁上散射在空气中; 4) 計數管入射窗的半径与圓柱形体积的半径有这样一个相互关系:  $\frac{R}{r} \leq 5^{[1]}$  (在这条件下計數管可認為点探测器)。

根据这些假設通过鐘罩形計數管入射窗的  $\beta$  粒子流之表达式可写成底下这个形式:

$$N = qS \int_0^N \int_0^R \int_0^{2\pi} \frac{dv \cos \theta}{4\pi l^2} e^{-\mu \left( l + \frac{t}{\cos \theta} \right)}, \quad (1)$$

或

$$N = qS \frac{1}{K}, \quad (2)$$

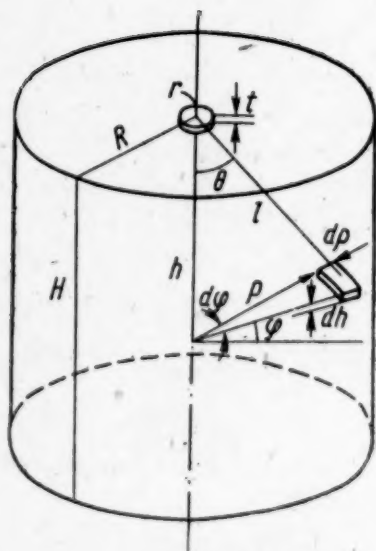


图 1  $\beta$  射綫流和浓度間关系的計算

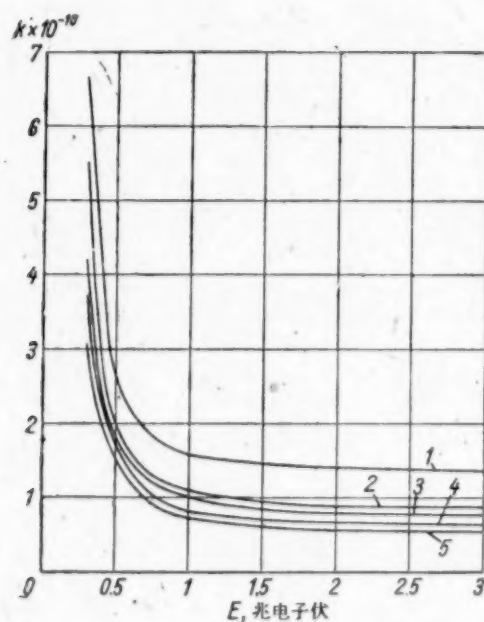


图 2 过液系数  $k$  与放射性气体  $\beta$  射綫譜的最大能量之間的关系

1— $H=20$  厘米,  $R=10$  厘米; 2— $H=30$  厘米,  $R=15$  厘米; 3—电离室  $\Pi 3-20$ ; 4—电离室  $\Pi 3-70$ ; 5— $H=50$  厘米,  $R=25$  厘米。

式中  $q$ ——在被測量體積中的氣體  $\beta$  比放射性(居里/升);  $S$ ——計數管入射窗的面積(厘米<sup>2</sup>);  $t$ ——計數管入射窗的厚度(毫克/厘米<sup>2</sup>);  $\mu$ —— $\beta$ 射綫衰減的質量系數(厘米<sup>2</sup>/毫克);  $k$ ——過渡系數。

圖 2 引入了鐘罩形計數管入射窗的厚度為 5 毫克/厘米<sup>2</sup>時  $\beta$  輻射能量等於 0.3—3 兆電子伏的 5 個圓柱形體積的過渡系數  $k$  的值,在利用上述一個圓柱形體積時,空氣中  $\beta$  放射性氣體的濃度可由已知的  $\beta$  輻射譜的最大能量通過計數率的測量和解方程式

$$q = \frac{kN}{S} \eta \quad (3)$$

來確定。式中  $\eta$ ——被測量氣體的衰變圖修正<sup>[2]</sup>。這時相對於  $E_\beta$  值的系數  $k$  值可從圖 2 中求得。

實際上  $N$  值是經過 2 次計數率的測量而求出的:第一次測量  $N_1$  是在計數管入射窗的屏蔽用厚度為 1—1.5 克/厘米<sup>2</sup> 的輕材料時進行的;第二次測量  $N_2$  在同一个幾何形狀下進行,但沒有屏蔽。在這種情況下通過計數管入射窗的  $\beta$  粒子流  $N$  等於差數  $N = N_2 - N_1$ 。對於  $\beta$  輻射能量為 1.46 兆電子伏,曾實驗檢驗過系數  $k$  的計算值,實驗中的點源  $\text{Sr}^{90}$  放在垂直於鐘罩形計數管(T-20 型計數管,入射窗的厚度為 5 毫克/厘米<sup>2</sup>)中心軸的方向上。計數率的測量是與源和計數管入射窗之間的距離以及  $\beta$  粒子流的入射角有關。均勻地充滿已知濃度的  $\beta$  放射性氣體的圓柱形體積被作為這個實驗的模型。測量的精確度為 3%。利用這種方法所得到的系數  $k$  值與計算值最大相差為 10%。

### 參 考 文 獻

- [1] К. А. Петржак, М. А. Бак: Ж. техн. физ., XXV, вып., 4, 636 (1959).  
[2] Ж. Г. Гусев: Справочник по радиоактивным излучениям и защите, М., Медгиз, 1956.

## 放射源內多次散射对剂量率值的影响

高尔什柯夫(Г. В. Горшков) 卡久柯夫(В. М. Кодюков)

非點源在實際應用中要比點源廣泛得多。在一般情況下非點源的劑量率值是與比放射性、 $\gamma$  輻射譜的組分、源的幾何形狀以及輻射體的材料有關。在源的體積足夠大時, $\gamma$  射綫在源中的衰減會引起次級  $\gamma$  射綫的產生。在文獻[1]中引入了關於幾何形狀最簡單的源初級  $\gamma$  射綫的產額數據。本文實驗研究了源內多次散射对劑量率值的影响。利用高為 1.0 米、直徑為 1.5 米的圓柱體和文獻[2]所描述的截頭圓錐體作為非點源。圓柱體中充滿着膠體金  $\text{Au}^{198}$  ( $E_1 = 0.411$  兆電子伏)和  $\text{Zn}^{65}$  鹽 ( $E_1 = 1.12$  兆電子伏)的水溶液。劑量率可由空氣當量電離室來測量,此電離室沿着垂直於圓柱體母綫的軸移動。截頭圓錐體中盛滿着  $\text{Na}^{24}$  鹽 ( $E_1 = 1.38$  兆電子伏,  $E_2 = 2.76$  兆電子伏)、 $\text{Zn}^{65}$  鹽 ( $E = 1.12$  兆電子伏)和膠體金  $\text{Au}^{198}$  ( $E = 0.411$  兆電子伏)的水溶液;放射性層的厚度可以在 2 到 100 厘米之間變化,劑量率同樣是用空氣當量電離室來測量。

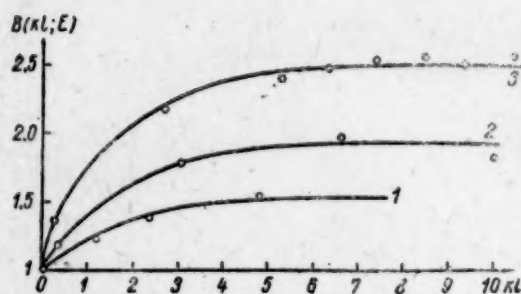
截頭圓錐體的劑量率可按下面公式來計算:

$$p = \frac{2\pi K_r q}{k} [1 - \cos\psi_0 - \phi(kl) + \cos\psi_0 \phi(kl \sec\psi_0)],$$



式中  $K_r$ —— $r$  常数;  $q$ ——比放射性;  $k$ ——源的衰减系数, 为了考虑多次散射公式中引入了积累因子  $B(kl, E)$ :

$$p_{\text{实验}} = \frac{2\pi K_r q}{k} B(kl, E) [1 - \cos\psi_0 - \phi(kl) + \cos\psi_0 \phi(kl \sec\psi_0)].$$



非点源内散射辐射的积累因子与源的厚度和  $\gamma$  射线能量的关系:

1—— $\text{Na}^{24}$ ,  $E_1 = 1.38$  兆电子伏,  $E_2 = 2.76$  兆电子伏; 2—— $\text{Zn}^{65}$ ,  $E = 1.12$  兆电子伏; 3—— $\text{Au}^{198}$ ,  $E = 0.411$  兆电子伏

在圆柱体的实验中, 当探测器和源的距离足够大时, 就没有发现  $B$  值与距离的关系。图中引入了由实验获得的  $B(kl, E)$  与放射层厚度的关系。从图中可以看出: 1) 当能量不超过 6 千电子伏时,  $B(kl, E)$  与辐射体的能量和放射层的厚度有关; 2) 在  $kl > 6$  时  $B(kl, E)$  与放射层的厚度无关, 而仅与辐射体的能量有关; 3)  $B(kl, E)$  随着  $\gamma$  射线能量的减小而增加。

因此, 当  $kl < 6$  时在计算中必须考虑到源内的多次散射, 而当  $kl > 6$  时, 则可以认为源是无穷厚, 此时源的剂量率可按式来计算:

$$p = \frac{K_r q}{k} B(E) \Omega_0,$$

式中  $\Omega_0$ ——对源所张的立体角。

### 参 考 文 献

- [1] Г. В. Горшков: Гамма-излучение радиоактивных тел. Л., Изд-во ЛГУ, 1956.  
[2] Г. В. Горшков, В. М. Кодюков: Атомная энергия, 5, вып. 7, 71 (1958).

## 从电子感应加速器中引出电子的静电方法

沃罗比耶夫(А. А. Воробьев) 科农诺夫(Б. А. Кононов)

从电子感应加速器<sup>[1-3]</sup>中引出电子的静电方法, 较之磁性的方法具有一定的优越性。利用电场能够很容易在一小段电子的路程上得到相当大的电子的偏移。偏转电场能够被限制到这样的程度, 以致一直到电子进入偏转系统——电容器时加速电子的轨道没有畸变。同时为了扩大加速循环末端的轨道, 不需要附加的线圈和强的脉冲电路。电容器的高度可以作成比在加速循环末端轨道扩大时的电子束的垂直面高。

偏转电容器的大小和结构由电子感应加速器的电子束的参数决定, 亦即由电子束的高度和在轨道扩大时电子束的螺旋轨道的间距决定。有关电子束的必要数据可以利用由氯化钾(KCl)或者氯化钠(NaCl)的块晶体制成的试探电极得到。试探电极安置在垂直于电子束轨道的不同半径上。涂晶体的密度与轰击晶体的电子的数目成比例, 这样便可以研究电子在电子束截面上的分布(用显微光度仪测量变黑的光密度)。汤姆斯基工程学院内能量为 15 兆电子伏的电子感应加速器中电子的空间分布示于图 1。电子束的高度不超过 9 毫米, 当离开晶体的边缘时, 电子的数目很快减少。进行立体图的图解积分时, 可以估计电子在偏转电容器极板上的损失和选择极板间的距离(图 2)。在与磁场的降落指数  $n = 1$  相符合的半径  $R = 160$  毫米上的螺旋轨道的间距等于 2 毫米, 而当半径  $R = 165$  毫米时增加到 2.5 毫米。如果采用半径

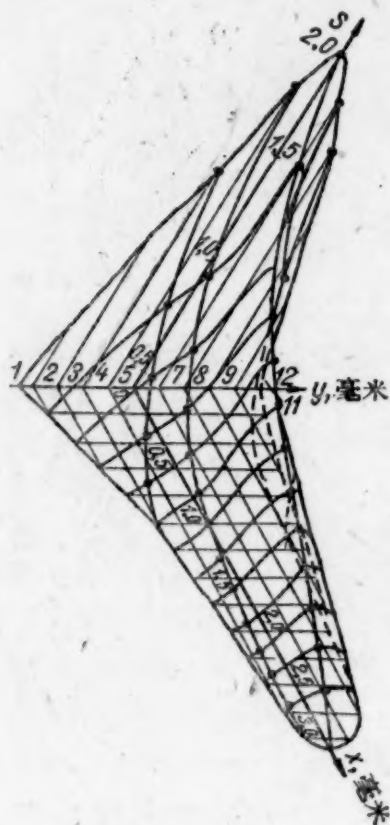


图 1 晶体在电子感应加速器室内照射后测光度的结果

$s$ ——晶体变黑的光密度; $x$ ——距晶体边缘的距离(在加速器的中心方向); $y$ ——电子束的垂直坐标( $y = 6$  相当于加速器的中间平面)。

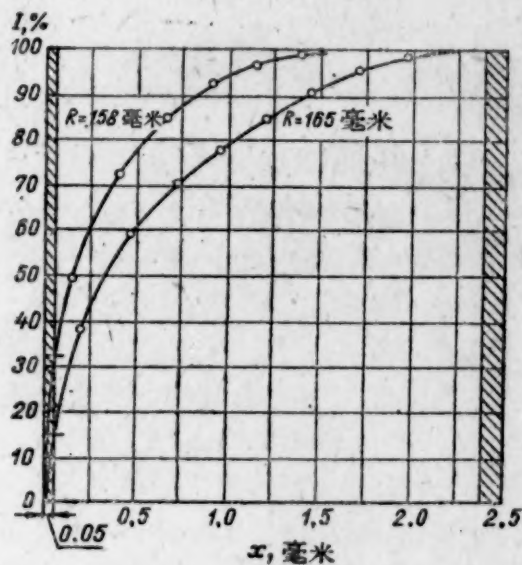


图 2 当电容器的截止板安置在半径  $R = 158$  和  $R = 165$  毫米上时,电子束的电流  $I$  在  $x$  轴上的分布曲线(这是确定螺旋线的间距和电子在电容器的截止板上的损失时所必要的)。

电容器电极的截面划有斜线。

$R = 160-165$  毫米的数值范围,那末当截止板的厚度为  $0.05$  毫米时损失是  $16\%$ ,而引出电子的效率大约等于  $\sim 80\%$ 。

根据电子在电子束截面中的分布,能量为  $15$  兆电子伏的电子感应加速器上的偏转电容器是如图 3 所示的那样制成的。由不锈钢制的导架之间的紧拉截止板(钽箔的厚度为  $50$  毫米)接地。用不锈钢制成的另一块极板置于高压下,为了增加间隙中的耐电强度,极板的边缘要弄成圆形和磨光。对于偏转具有能量为  $15$  兆电子伏的电子来说,工作电压不超过  $40$  千伏也就足够了。偏转电容器安装在玻璃座子上。

当选择供给偏转电容器的电压的时候,必需要考虑到电容器的漏洩电场能够扰乱注入时的电子轨道。此种扰动强到这样的程度,以致当从平衡轨道外面安装注入器时,若电容器上的电压已为  $\sim 2$  千伏,就要破坏加速状态的俘获过程。电容器被屏蔽时,当极板上的电压到  $6$  千伏时,能够使电子感应加速器正常工作。当电压更高时,例如  $9$  千伏时,加速状态下所俘获的电子数目极少(小于额定值的  $1/1000$ )。使屏蔽复杂化,当电容器上的电压在几十千伏时在引出端当然能够得到足够的辐射强度。此种情况下加速电子在电容器中的损失增加,因而引出电子的效率减小。摒弃电容器用的直流电压或交流电压电源而采用脉冲电源是合理的。

脉冲电压发生器没有特殊的要求,只要脉冲具有所需要的幅度,而在加速电子打在电容器上时电压保持不变。我们曾经研究过两种脉冲发生器:第一种脉冲发生器中,形成线经过闸流放向脉冲变压器放电,第二种脉冲发生器中,线路电压用具有快速饱和的铁心(高压峰值变压器)的昇压变压器供电。如果需要用电子在不同加速循环时脱下的方法改变引出电子的能量,



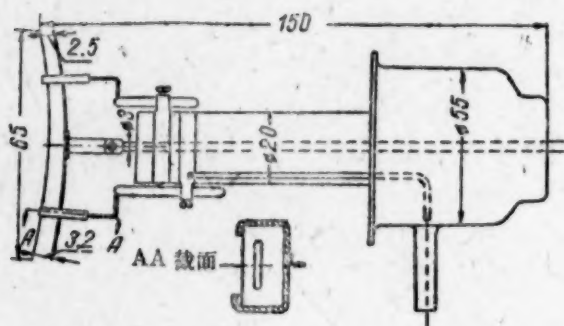
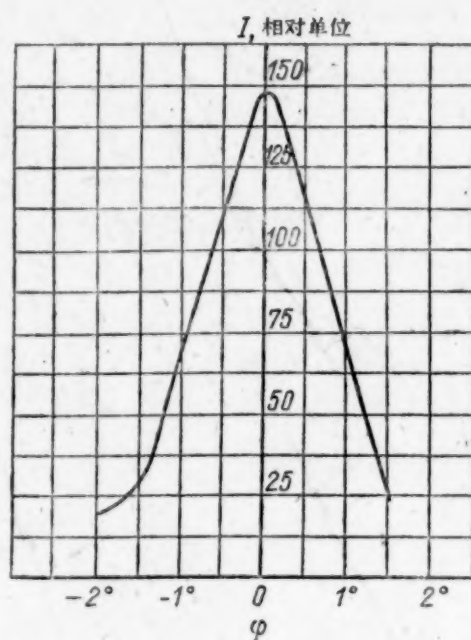


图 3 偏轉电容器图(尺寸单位是毫米)

图 4 电子流 I 与电容器偏移最佳位置的角度  $\varphi$  的关系

那末必需经过相移器馈电峰值变压器。此种馈电回路非常简单和可靠,这对于没有特别技术技能的工作人员在维护电子感应加速器时是重要的。

利用所指出的设备,从能量为 15 兆电子伏的电子感应加速器 ТПИ 中引出了电子束。电子束的参数如下:平均电流  $4 \cdot 10^{-9}$  安(脉冲电流 0.27 微安,距离输出窗(由厚度为 0.03 毫米的铝箔制成的)2 厘米处的截面等于  $6 \times 10$  毫米,在空气中 17 厘米处电子在垂直面与水平面上的散度各是  $5^\circ$  和  $8.5^\circ$ 。引出电子的效率大约等于 60%。比前面所指出的效率减少了 20%,效率降低是由于电容器的截止板在轧制时有些弯曲的原故。应用质量比较优良的金属箔,无疑将使引出电子的效率增加。

在研究过程中,当电容器上没有电压时,我们曾经观测到有引出的电子。这时电子以一种很好的聚束形状引出来,其直径是 6 毫米。电子束的强度与电容器的位置有关系(图 4),如果把电容器从加速室的工作区域中拿走,电子束完全消失,所观测到的引出电子是由于电子束与极板中感应的电流的相互作用的结果。引出的效率小( $\sim 6\%$ ),但还是比例如用磁分路偏转电子束时的效率高。

### 参 考 文 献

- [1] K. Gund, H. Reich Z. Phys: **126**, H. 5, 383 (1949).
- [2] H. Pollock. Brit. J. Radiol: **26**, No. 307, 368 (1953).
- [3] A. A. Воробьев, Б. А. Кононов, В. А. Москалев, Л. С. Соколов: Изв. Томского политехн. ин-та, **82**, 149 (1956).

# 科技新聞

## 澳大利亚的原子能事业

澳大利亚非常重视原子核动力的发展，因为国内燃料资源的缺乏使电力的供应受到限制，而且不利于澳大利亚经济的发展。

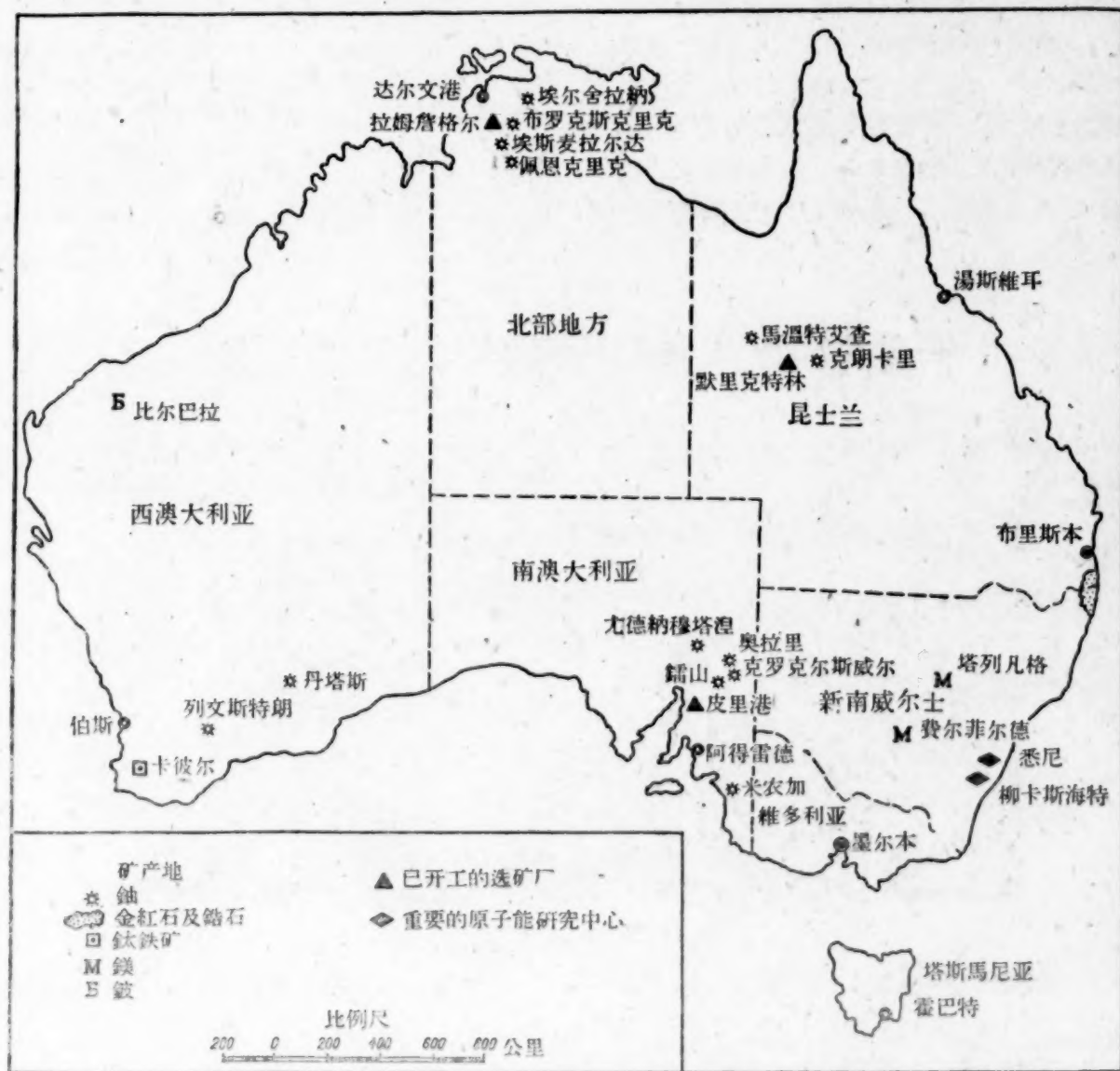
原子能委员会负责组织和计划原子能研究方面的全面工作，原子能委员会成立于1953年，下设三个处，即原料处、科学研究处及情报处<sup>[1]</sup>。在业务上原子能委员会直属澳大利亚总理管辖。

澳大利亚原子能委员会所制定规划包括如下的工作：进行选择适于澳大利亚具体条件的原子电站的堆型的科学研究工作和试验设计工作；应用放射性同位素方面的研究工作<sup>[2]</sup>。现在正在设计装有液

体燃料反应堆及装有气冷反应堆的原子电站。

液体燃料反应堆适用于电功率为10万瓩的原子电站<sup>[3]</sup>。在带循环液体燃料（钠及 $U^{233}$ 的混合物）的反应堆里用铍作减速剂。反应堆的活性区装在充有钍的铋溶液的罐内。离开活性区的中子将在外罐内利用来生产次级核燃料（ $U^{233}$ ）。按初步估计，在功率为10万瓩的电站上将按每瓩小时0.5便士价格的生产电能（1957年澳大利亚热电站所生产的电能的价格为每瓩小时0.7便士）。

气冷反应堆将用于功率为5000—10000瓩的小型原子电站。这种堆型与卡尔德豪尔原子电站的英



澳大利亚铀矿及其它原子工业原料产地的分布图



国反应堆相类似。小型原子电站对诸如馬温特艾查鈾矿产区及南澳大利亚地区的孤立工业中心是特别重要的<sup>[4]</sup>。原子能的工业利用尚在試驗阶段。1955年在悉尼以南32公里的原子中心柳卡斯海特开始建造澳大利亚第一个实验性高中子通量反应堆。为了建造该反应堆共拨款550万英镑<sup>[5]</sup>。该堆由英国公司负责建造,但有澳大利亚工程师参加工作。反应堆的主要设备向英国订购,但是某些重要机器、构件及零件由澳大利亚自制,1958年4月反应堆建造工作已告结束。在这个反应堆上将进行物理研究工作,也将进行其结果将应用于化学、农业、冶金学、生物学及医学等方面研究工作。为进行这一类研究工作在柳卡斯海特设有专门的实验室。

原子核物理的研究也将在悉尼大学进行。

澳大利亚拥有足够的原子原料资源。澳大利亚产鈾区包括北部地方、昆士兰、南澳大利亚、西澳大利亚的广大地区、鈾矿产区及其他原子工业原料产区的分布示于附图中。

1959年以前,鈾的工业开采主要在以下三个主要地区进行,此为拉姆詹格尔、鐳山及默里克特林。现在拉姆詹格尔鈾产地的富的矿脉的开采工作实际上已经停止了<sup>[6]</sup>。鈾矿均为联邦政府及地方政府(北部地方)的财产。在拉姆詹格尔及默里克特林两地的鈾矿是几家私人公司为澳大利亚原子能委员

会开采的。

1957年氧化鈾的生产量共为450—500吨。从1959年起,在埃尔舍拉納的鈾矿加工厂的建造工程结束后,计划每年约能生产1300吨氧化鈾<sup>[7]</sup>。这将使澳大利亚在生产金属鈾方面占资本主义国家的第五位。

除了鈾矿以外,澳大利亚的金紅石及鋳石的貯量也不小,这些矿产分布在澳大利亚东海岸新南威士及昆士兰之间的界綫两边各80公里的区域内。

在澳大利亚的东海岸、西海岸及南海岸已发现含鈾独居石矿砂,但鈾的总儲量不多。澳大利亚鈹矿主要产于比尔巴拉,儲产也不很多。

### 参 考 文 献

- [1] *The Austral. Engineer*, 48, No. 8, 89 (1956).
- [2] *Proc. Roy. Austral. Chem. Inst., Supplement*, 24, 74 (1957).
- [3] *The Australasian Manufacturer Industrial Annual* 1958. Sydney, 1958, p. 99.
- [4] 5-th Annual Report Australian Atomic Energy Commission 1956—1957. Sydney, 1957, p. 42.
- [5] *The Australasian Manufacturer Industrial Annual* 1956. Sydney, 1956, p. 288.
- [6] *Times Rev. Ind.*, 13, No. 2, 124 (1959).
- [7] *Mining Congr. J.*, 44, No. 2, 84 (1958).

## 卡伯尔-克洛斯原子能发电站的启动<sup>1)</sup>

英国第二个原子能发电站是在1959年5月初正式启动的(图1)。

1955年10月,就着手建造这座电站。1959年2月25日电站上其中四个反应堆的第一个堆开始

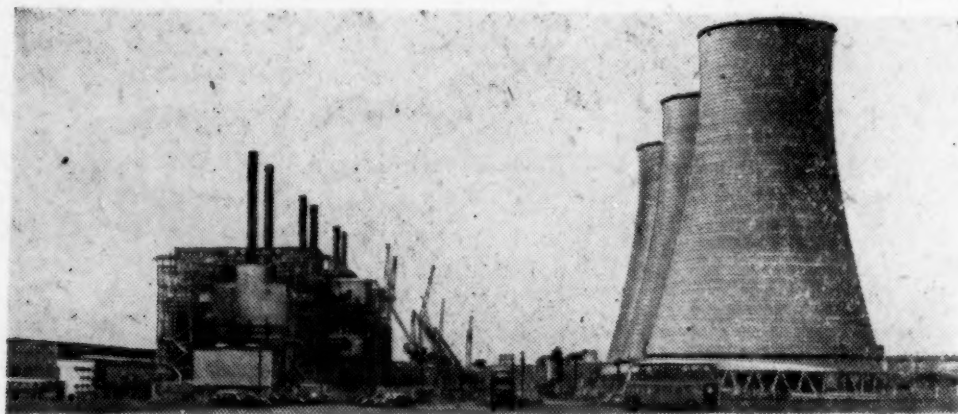


图1 发电站外貌图

发电。1959年电站的启动将达到全部功率。

卡伯尔-克洛斯电站与卡德尔豪尔电站相似(在反应堆数量、功率、结构、载热剂的和蒸汽的参数方面)。这就可以使电站在最短时期内投入生产。

但是,在新电站的设计中,仍旧有一些小的变更。

1) *Atomic World*, 10, No. 6, 229 (1959).

1. 电站四个反应堆的建筑物位于一条綫上。这条綫的一面有透平机大厅和各种服务处；另一面有四个冷却塔（图2）。电站的主要建筑物，这样布置比較紧凑也就縮短了管道和固定管綫的长度，并使电站的供应方便。

2. 設置两个废释热元件的儲存水池。而在卡德尔蒙尔电站上，沒有設置这些水池。因为，它离温茨凯尔化工厂（那里，处理废燃料，得到鈾）只有几公里。卡伯尔-克洛斯电站距温茨凯尔有120公里，照射过燃料的运输問題也比较复杂。水池由水泥制成，其中装满5.5米深的水。每个水池中水的体积为1800立方米。其生产容量为三个反应堆的装载量（~390吨鈾）。照射过的释热元件在水池中儲存几个月。然后由铁路运到温茨凯尔去处理。养护水池允許反应堆的燃料有计划的过载，与是否有运输工具无关。总的說来，这就改善了反应堆的負載系

数。最后，废释热元件在儲存后的运输，从安全观点說来是比较简单的。

3. 在后面的三个反应堆上，建議使用可更換的石墨衬管。它放在作为減速剂的石墨块里。释热元件就放在这个衬管里。由于衬管与块之間存在气隙，就增加了温度降。因此，也就增高了块的温度，促成了石墨块中魏格納效应得到較好的退火。

在第一个反应堆上，利用了其它提高石墨温度的方法。在石墨块的孔道里放着用鎂合金（магнокс）制成的圓柱体。圓柱体与块之間間隙里的温度降促进了块温度的提高。但是，应当指出，这种提高石墨温度的方法是不合适的。因为它与反应堆的反应性損失有关（采用了附加吸收剂——用鎂合金制成的圓柱体）。并且減少了气体的穿透截面。因而，使反应堆的导热（也就是它的功率）恶化。

新的原子能发电站及其反应堆的基本性能：

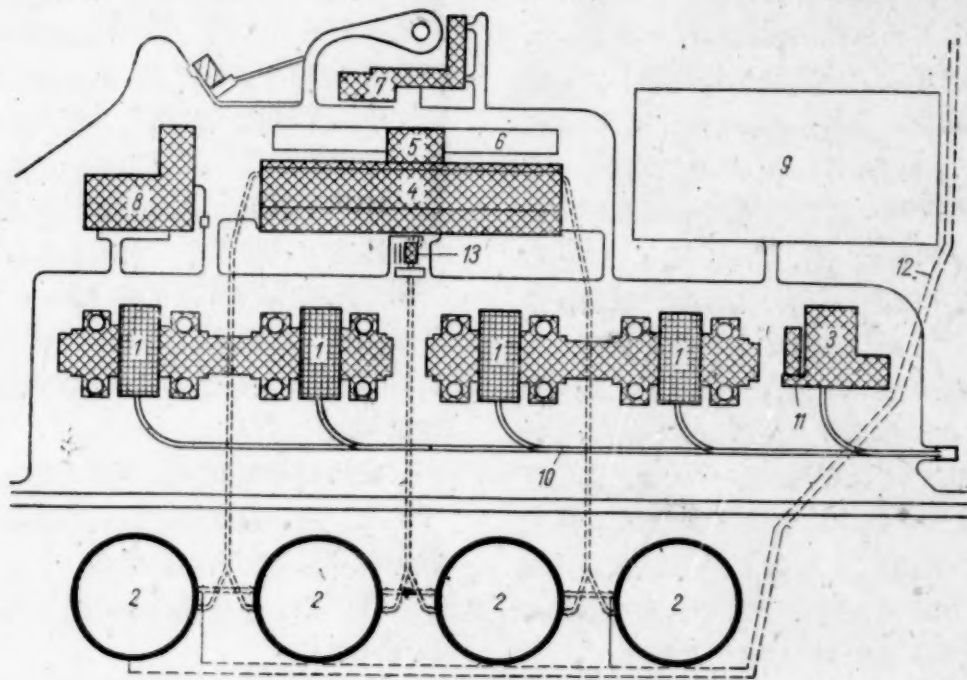


图2 卡伯尔-克洛斯发电站平面图

1—反应堆； 2—冷却塔； 3—儲存水池； 4—透平机大厅； 5—操纵室；  
6—变压器； 7—行政樓； 8—工厂； 9—变电所； 10—通儲存水池的专  
用綫； 11—淋雨間； 12—主要供水管道； 13—CO<sub>2</sub>貯藏罐。

反应堆数量 .....	4
电站有效电功率(兆瓦) .....	140
每个反应堆的装载量(天然鈾)吨 .....	130
載热剂(CO <sub>2</sub> )压力(大气压) .....	~7.3
載热剂温度(°C)	
进口处 .....	140
出口处 .....	336

蒸汽压力(大气压)	
高压 .....	~14
低压 .....	~3.7
蒸汽温度(°C)	
高压 .....	~310
低压 .....	~171

尤·科利亚金(Ю. Корякин)



## 美国发展高能加速器的计划\*

原子能委员会的总諮詢委员会和总统直属科学諮詢委员会所成立的高能加速器物理专门小组，作了关于在美国进一步发展高能加速器物理的一些原则问题的报告。报告的主要内容是必需制订发展这门科学的全国性的计划。

现在，在美国已运行的加速粒子能量高于200兆电子伏的加速器有15个，正在建造的有4个。报告指出，最主要的问题是：获得能量较高的电子；提高高能质子束和电子束的强度和在可能的情况下改进束的几何形状。

报告指出，将来的计划应当包括为了保证最大限度的利用现有的加速器和即速建成一些加速器以及用必要的设备来装备这些加速器而增加的拨款。因之，对于在开动加速器前应该准备好第一批实验装置的建造工作应给予及时援助，这点应特别重视。在报告中指出，除了新型加速器的建造费用以外，于1963年前，政府每年用于高能加速器物理工作方面的费用达7500—8000万美元。

此外，在报告中指出，这个计划应该保证新型加速器的建造和运行。而且在计划中必须考虑到，目前把质子的能量提高到300亿电子伏以上，没有显著的必要。在国立伯鲁克海文实验室和欧洲原子核研究所正在建造的加速器将达到这种能量。而能量为100—150亿电子伏的中强度电子加速器却感到极为需要。而且还需要能量为80亿电子伏或更高能量的高强度质子加速器。每一个这样的加速器的建造费和运行费用每年达1500—2000万美元。

建造新型加速器的计划使高能加速器为国内的广大的科学家和大学生而开放。为了使这些加速器宜于建造在供一个大学或一个学院内的一个组使用的地点，加速器不一定必须是独一无二的，有能量和束流强度的性能方面也不一定要最高的。为了满足这些需要，在1963年前，每年需要追加1500万美元。也就是说，高能加速器物理方面每年的总经费在1963年前将从1950年五千九百万美元增加到一亿二千万到一亿三千五百万美元。

高能加速器物理的专门小组认为，这个计划应该能保证广泛支持以下几方面的工作：发展各种新的加速原理方面的研究工作和实验工作（与必须建造大型加速器的最后结论无关），改进发现粒子方法的工作以及研究和实验结果的解释和分析工作。

高能物理研究工作拨款的增加不得影响其他科学部门。若谈到高能加速器物理，那么首先应该保证使逐步改进的和不断用新设备装配的现有加速器得到充分利用，然后在实验设备方面正在建造的加速器应得到完全保证，只有最后才能谈到建造新型加速器的工作。

在报告中指出，只有当加速器的设计是为了解决具体科学问题或者确实查明它在技术上有现实性的时候，方可建造能获得能更高或束流强度更高的新型粒子加速器。

报告的具体提議如下：

斯坦福大学关于建造直线电子加速器（开始时能量至少为100亿电子伏）的提議应该得到支持，最好希望1959年开始建造，其造价约为1亿美元。因为实现这个计划与微波技术方面的成就有关，所以这个加速器应该得到国防部的重视。

MURA 中西大学的科学研究协会，近几年来在加速器方面提出了不少新的和重要的见解。尽管协会所提出的供科学研究用的100—150亿电子伏的质子加速器，在技术的现实性和可能性上尚未得到证实，但是应该支持协会积极参加高能加速器的设计、建造和运行工作。

在橡树岭实验室，建造高能加速器的必要性应予研究。为了继续进行设计和试验工作，橡树岭实验室应取得各方面的帮助。

除了报告中所指出的以外，建议联邦政府作到以下几点：

1. 根据现有的科学需要和现有熟练工作人员的情况，应扩大高能加速器物理的研究。
2. 原子能委员会、国防部和国家科学基金会在对这方面的工作拨款时，应最好符合联邦政府和科学界的利益。而且合同的签定和经费的掌握都应由一个单位负责。
3. 赞同成立各部门间的预算和技术规划的协调委员会。
4. 赞同筹集签定设计和研究加速器的合同（期限从1年到3年）的基金，并赞成广泛利用实验设备。
5. 建议国立科学院对于在研究新的加速粒子的方法方面发展国际合作的问题提出自己的看法，其中包括和苏联的合作。

Б. Я.

\* Appl. Atomics, No. 190, 13 (1959).

## 論核能直接轉換成電能

不久前, 洛斯-阿拉莫斯科學研究所曾利用熱離子換能器(“等離子熱電偶”)第一次實現了不經過蒸汽循環直接把核反應堆熱能轉換成電能的實驗。

熱離子換能器這個真空二極管是利用某種方法使管內任一電極發熱, 靠不同溫度下兩電極所引起的熱電子逸出電位差而產生的熱電流, 在兩電極間外電路中釋放電能。

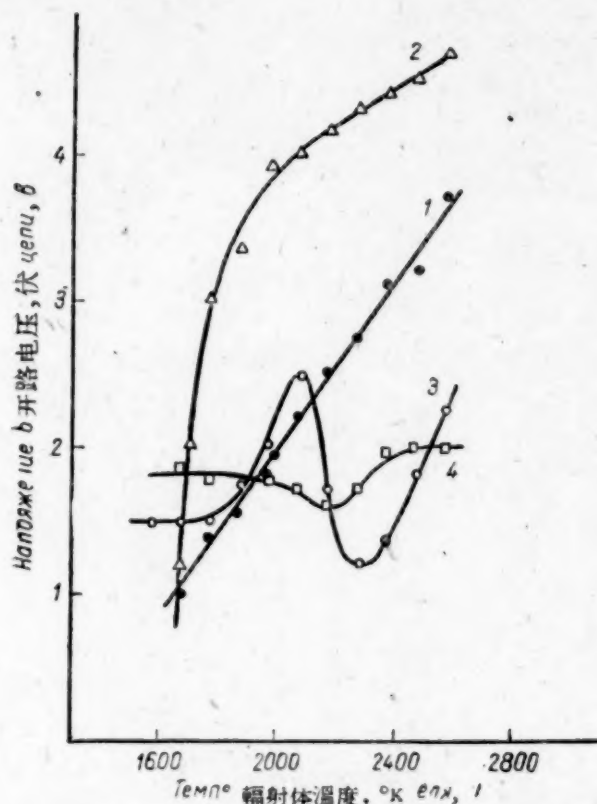


圖1. 開路電壓與不同鉀蒸汽壓力下電加熱輻射體溫度的關係:

- 1——無鉀蒸汽; 2——鉀蒸汽壓力為  $10^{-6}$  毫米水銀柱; 3——鉀蒸汽壓力為  $10^{-2}$  毫米水銀柱; 4——鉀蒸汽壓力為  $4 \cdot 10^{-1}$  毫米水銀柱。

熱電流的大小受著極間空間電荷的限制。為減小空間電荷的影響, 現今有數種方法<sup>[2-4]</sup>, 其中包括把極間距離減小到 0.01 毫米的不太實用的方法和在極間建立等離子區的比較有前途的方法。

最有效的建立等離子區的方法, 是極間低電位差氣體(例如鉀、鉍)接觸離子化(或諧振離子化)的一種物理過程。另一種方法是利用放射性輻射使充入極間的氣體離子化。上述兩種方法都有它們各自的缺點。預計在第一种方法中, 熱離子換能器的受熱表面溫度高達  $2000^{\circ}\text{C}$  以上; 第二種方法則需要非常強的放射性粒子流。熱離子換能器的效

率, 亦即所得電能與消耗熱能之比, 根據計算結果比預定的數值為低, 這是由於熱量損耗僅限於輻射傳導的緣故。對於外電路中接有負載電阻以及忽略空間電荷不計的最佳場合下, 熱離子換能器的效率可表示如下<sup>[5]</sup>:

$$\eta = \left(1 - \frac{\Phi_2}{\Phi_1}\right) \left[1 + \frac{\sigma}{A_1} \left(\frac{1}{\epsilon_1} + \frac{1}{\epsilon_2} - 1\right)^{-1} \times \frac{T_1^4 - T_2^4}{T_1^2} \Phi_1^{-1} \exp \frac{e\Phi_1}{T_1}\right]^{-1},$$

式中  $\Phi_2$ ——逸出功;  $\sigma$ ——斯捷范-波茨曼常數;  $\epsilon$ ——發射率;  $A$ ——在李察松方程式中的常數(指數下的數字 1 和 2 分別表示陰極或輻射器及陽極或收集器)。

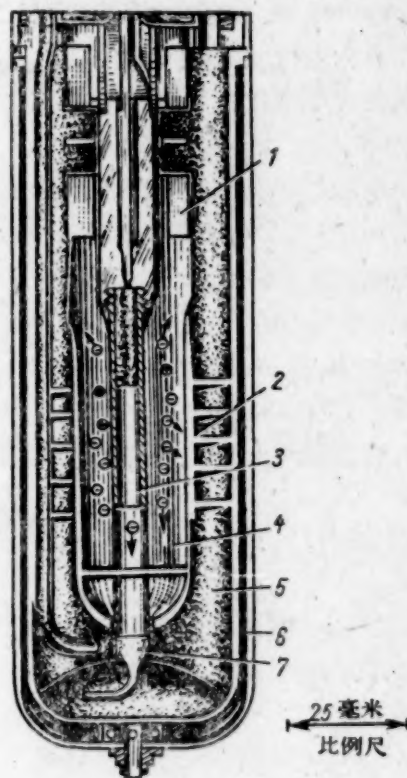


圖2. 洛斯-阿拉莫斯反應堆上的核能熱離子換能器:

- 1——絕緣子; 2——致冷片; 3——赤熱的鈾散熱元件; 4——等離子區; 5——油循環冷卻器; 6——真空絕緣; 7——液體鉍。

熱離子換能器的效率可以達到很大的數值。例如對現有一些具有適當  $\Phi$ 、 $\epsilon$  和  $A$  值的材料的計算表明: 在輻射器溫度為  $1100^{\circ}\text{C}$  和收集器溫度為  $500^{\circ}\text{C}$  時, 可以得到 25—30% 的效率。換能器的總效率還可以借收集器排出的熱量來進一步地提高。



热离子换能器的理论性结论,曾以实验方法在特殊装置中得到了证实,装置中的阴极是采用电子轰击法加热的<sup>[1,6]</sup>。图1所示为开路时热离子换能器电极上的电压与阴极温度的关系,由图中可以看出,开路电压的大小主要取决于装置中的铯蒸汽压力。

用来说明热能直接转换成电能的热离子换能器如图2所示。作为热离子辐射器的是  $ZrC:UC$  硬泥棒。泥棒的下部是同位素  $U^{235}$  浓缩达 94% 的铀。收集器由铜筋不锈钢制成,并借循环油冷却。空间电荷利用铯离子加以减弱;铯在热电子辐射器电极温度  $2000^{\circ}C$  以上时开始电离。热离子换能器安装在功率 5 兆瓦“Omega-Уэст”反应堆中的活性区。外电路开路时的换能器电压和短路电流决定于反应堆运行的功率(图3)。由于遥控开关损坏而不得不在接近最有利的功率条件下研究换能器的工作。但是根据在电子轰击法加热阴极的装置中所得的类似实验结果推测,可以确信,每平方毫米辐射器表面能够达到 30 瓦的功率。计算一下燃料棒中的蜕变数可以估计出换能器的效率。这个数值是 5%。热离子换能器在 5 小时内经过两次循环工作,当时外电路开路电压并没有发生变化,只是短路电流在头一小时内降低了 20%。

热离子换能器的利用并不是实现热能直接转换成电能的唯一途径,亦可有效地利用半导体热电偶,关于这方面的理论现在已经取得了相当满意的结果<sup>[7]</sup>。虽然半导体热电偶还不能达到象热离子换能器这样高的效率,但却有它本身的一些优点(工作更为可靠并且不需要复杂的装置来建立等离子区)。目前出现了几种热离子和热电子换能器的结构,图4

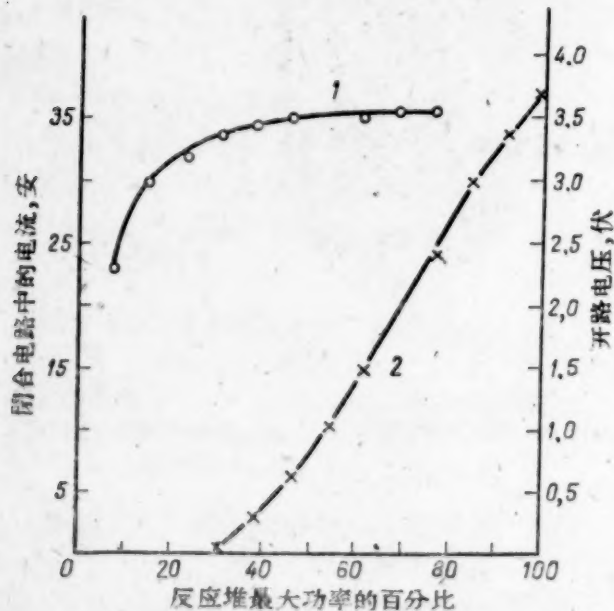


图3. 由核反应堆中的热离子换能器所取得的电压和电流与反应堆功率的关系:  
1——电压; 2——电流。

和图5所绘即其中的两种。

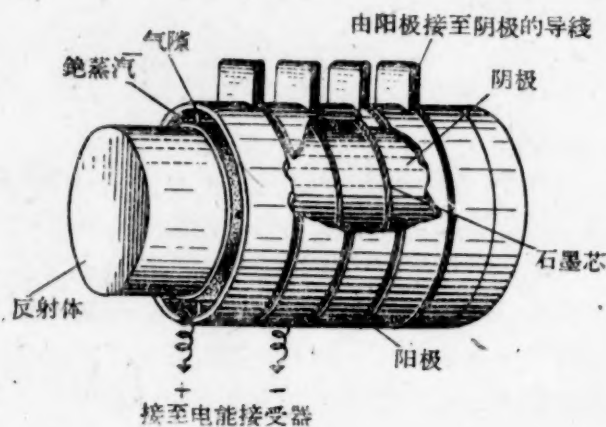


图4. 马尔琴提出的供星际飞船核反应堆用的热离子换能器<sup>[6]</sup>。这个换能器是一个全部用铈碳化物在石墨阴极模中制成的圆筒形物体,阴极模上有涂钨的铈阴极和氧化铈阳极,阳极的位置与阴极同心。阳极同时是剩余热量的辐射器。这种热离子换能器的负荷量为 560 公斤,在效率为 9.7% 时可输出电功率 27 千瓦。反应堆圆柱形活性区的面积为 1800 平方厘米;阴阳极间的距离为 2.54 毫米。

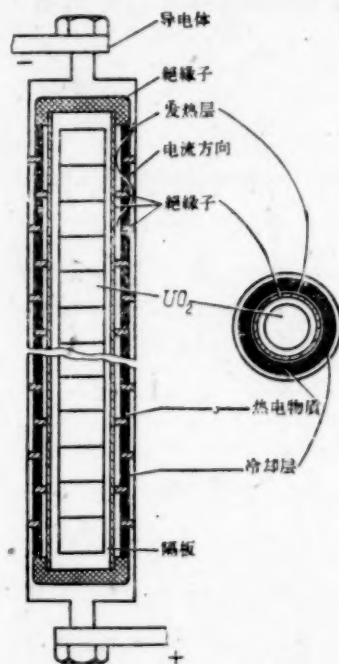


图5. “西屋”公司设计的热电散热元件<sup>[6]</sup>。“Янки”型散热元件(装在不锈钢壳中的二氧化铀)外面包有一层混合原子价的热电物质,沿着垂直方向交替排列的  $p, n$  型物质构成了这些元件的整体,它们的电动势互相串联。这些元件能把核蜕变过程中的 5% 热能转换成电能;其余的热能则消耗到一般的蒸汽回路里。

Л. М.

### 参考文献

- [1] Г. Гровер: *Атомная техника за рубежом*, №11, 24 (1959).
- [2] K. Hernqvist et al.: *RCA Review*, 19, 244 (1958).
- [3] G. Medicus, G. Wehner. J.: *Appl. Phys.*, 22, 1389 (1951).
- [4] G. Hatsopoulos, J. Kaye: *Proc. IRE*, 46, 1574 (1958).
- [5] К. Хернквист: *Атомная техника за рубежом*, №11, 16 (1959).

[6] G. Grover et al. J.: *Appl. Phys.*, 29, 1611 (1958).

[7] А. Ф. Иоффе: Полупроводниковые термо-элементы. М.—Л., Изд-во АН СССР, 1956.

## 从含鈾的磷酸中提取鈾的方法<sup>1)</sup>

美国田納西公司磷产品部 (U. S. Phosphoric Products, Div. of Tennessee Corp., Tampa, Fla.) 为了从被杂质污染的磷酸中提取少量鈾 (0.01—0.02%)，曾采用特殊的工艺，而这种磷酸是应用湿法得到的。

用湿法得到的磷酸 (30%  $P_2O_5$ ) 从酸化磷钙矿的酸化器中首先进入一容积为 83000 公升的罐中，以临时储存，磷酸在这里从 60—80°C 冷却至 25—30°C。被冷却的磷酸沿着有陶瓷内衬的直径为 2.1 米，长度为 4.9 米的迴旋还原器流过。在这里铁屑将酸中的被氧化的杂质还原，这样就可提高鈾的相对提取率。然后磷酸流入储存器，在这里用来沉淀固体物质，例如硫酸钙和氟硅酸钠。

净化的酸液进入四级逆流阶式萃取器中，在这里用 3—6% 焦磷酸辛酯煤油溶液从酸中萃取鈾。

带涡轮搅拌器的混合器可保证溶剂与酸紧紧接触。混合物在每级混合器中停留的时间，除第一级外，都是停留 2 分钟，而在第一级停留 10 分钟。在每一级中三个平行安装的离心机将水相和有机相分开。

由于焦磷酸辛酯在操作过程中分解，所以要不

断地加入新溶剂。它是用磷酸酐和辛醇在不锈钢的反应器中作用，同时搅拌和用水冷却而制得的。酯的加入使之能够在循环中重复利用酯煤油溶剂。

在萃取器的最末一级所得到的萃余液是不含鈾的游离酸，它进入两个容积各为 83000 公升的澄清器中，使其中所携带的溶剂分离。不含鈾的游离酸然后进入生产肥料的设备中。

含富鈾的溶剂从萃取第一级进入一级净化离心机中，在这里不含鈾的固体物和约含有 0.2% 鈾的溶剂分离。

含鈾的被净化的溶剂依次进入两个混合器中。在混合器中 HF 溶液将直接从溶剂中沉淀出绿色的盐。液体的流速和罐的大小是这样选择的，使在该处液体停留时间小于 12 分钟。在这样的条件下，HF 对溶剂的毒害作用可减至最小程度。

绿色盐浮渣，溶剂和 HF 进入 122 厘米的周期转动的离心机中。酸液被重新导入沉淀器中，而贫溶剂 (其中已含鈾很少——译者) 则导入最末的萃取级中。绿色盐定期从离心机中取出，并在使用汽油的隔板式干燥器中烘干。

M. C.

## 新式离心萃取器<sup>2)</sup>

麦克西崗-哈特 (Мексикан-Хат) (美国, 犹他州) “捷哈斯铋矿”公司 (Texas-Zinc Minerals Corp.) 的每日生产量为 800 吨矿石的新式制铋工厂里，当处理母液时采用了高速离心萃取器以代替混合沉降槽。当含有  $U_3O_8$  0.8 克/升的硫酸母液在 15 秒钟内流经“波德别尔尼亚克” (Подбельняк) 离心萃取器时，鈾即被溶于煤油内的标号为 LA-1 的仲胺所萃取。虽然铁被合理地还原为二价，但鈾仍可有选择地萃取，铈用碳酸钠溶液再萃取 (萃取器的通过量为 ~1900 升/分母液和 ~800 升/分有机溶剂)。

高速萃取可以降低溶剂利用量至 1/20。如果在混合沉降槽的普通流程中需要 ~227 立方公尺的溶剂，则在麦克西崗-哈特工厂所利用的流程中只

需要 ~11.4 立方公尺的溶剂 (在生产量同样的情况下)。萃取器中母液的供给是自动调节的。在流程主要阶段上只有五人操作。

将含铜和铁的铋矿粉碎至 ~16 公厘大小的碎块，并使之连续经过浮选带。从矿石中选出样品，以后利用条磨机和球磨机磨碎至 35 网眼。

将磨细的矿石经过浮选，以使铜精矿和含有大部分鈾的尾砂分离。然后将两种矿石选份都用硫酸浸漚，以提取鈾。

这两种选份的分别浸漚可以节省用来氧化鈾的

1) C. Croran: *Chem. Engng.* 66, No. 9, 108 (1959).

2) *Chem. Engng.* 66, No. 6, 98 (1959).



二氧化錳。浸瀝過的銅精矿用鼓式過濾器濾出，以獲得可出售的銅精矿及含鈾溶液，含鈾溶液與尾砂的浸瀝矿粕混合。浸瀝後的矿粕在五級增稠器中洗滌；此時為了加速沉降，而在每級增稠器中加入絮凝劑（“Сепаран-2610”）從第一級流出的母液經過預先用沉淀鋪層的過濾器，以在萃取之前最後地澄清溶液。

母液在加壓下進入萃取器的轉子內，通過靠近旋轉軸附近的水壓平衡機械密封。萃取器以1250轉/分的速度旋轉時所造成的離心力將母液轉向器壁，在這裡受到接觸並排出轉到离心机周圍的較輕

的溶劑。

在接觸单元的相被大力攪拌，而在其空間的液相被分層。因此這種設備是有效的多級萃取器。

含鈾的溶劑從一個萃取器進入第二個“波德別爾尼亞克”萃取器，以用硝酸銨溶液再萃取鈾，在萃取器中，鈾的濃度可達到50—60克/升（換算成 $U_3O_8$ ）被硝酸鹽飽和的溶液用氫氧化鎂中和，結果沉淀出黃色淀餅，經過凝縮，洗滌，過濾，烘干，最後包裝。排出的溶劑含有0.06克/升 $U_3O_8$ ，最後又轉入重複萃取循環。

M. C.

### 3 个兆电子伏的电子直綫加速器

1958年1月在莫斯科工程物理學院，起動了一個大電流的加速電子新型的強流電子直綫加速器，電子的加速能量達3兆電子伏。1958年在這個加速器上進行了一系列的科學研究工作。研究工作証明，在解決須採用強快電子束的各種科學技術問題方面，這個加速器是一個有效的裝置。

這個加速器可以有效的用於各種不同的科學技術部門：在實驗物理學中，可以作為高強度的電離輻射源；在化學工業上可以用來照射塑料物質，以便改善其性質；在冶金上用來檢查零件和對合金及純金屬進行活化分析，還可用於食品工業以及輻射理療方面。

加速器的高頻功率是由磁控管振盪器供給的。加速波導管的長度為1.18米，電子在50千電子伏時注入波導管。現在，在加速器的出口處可以獲得能譜的最大值的總能量為2.8兆電子伏的電子。電子能譜的半寬度等於7%。用分辨能力不小於2%的磁能譜分析器來測量能量。以後，將採用提高輸入到加速波導管內的高頻功率辦法，把被加速電子的能量增加到3兆電子伏或更高。在平均電流為280微安的脈沖內和脈沖長度為3微秒時，出口處加速電子電流為230毫安。電流脈沖的重複頻率可

以在200—400赫芝範圍內變化，出口處電子束的直徑小於4毫米。

用縱向恆定磁場使電子聚焦。這個磁場由八個綫圈的系统組成，並可以從零調整到900奧斯特。根據波導管的長度，磁場恆定性的精確度保持在5%以下。當磁場值已經為450奧斯特時，幾乎可以使電子百分之百的聚焦。在這種情況下，聚焦系統所需功率為1.5千電子伏，裝置內的真空度等於10<sup>-6</sup>毫米水銀柱。

加速器在±2.5兆周頻帶內的運行時是令人滿意的。當頻率發生巨大變化時，能量減小的速度平均為0.06兆電子伏/兆赫芝。當加速器運行時，所有的輸入數值（頻率、高頻功率、能量、注入電流等）容易保持在電子束輸出參數恆定的範圍內。

加速器的控制工作比較簡單，並可以用專門的操縱台來遙控。

這個加速器將能長期不停地運行。

瓦利德涅爾（О. Вальднер），  
季米特洛夫斯基（П. Дмитриевский），  
卓林（Д. Зорин），  
米靜（Ю. Мизин）

### 簡 訊

蘇聯 新伏羅涅什原子能發電站工地上主要工號的建設在迅速地進行。正在敷設全部管綫。在20公里鐵路綫和公路綫上開展了競賽運動。輸電綫路

已通電。混凝土裝配工廠、木工聯合工廠、混凝土廠、機械工場和一系列其他工號已投入生產。

电站机械厅和联合輔助厂房都已建成。在主要

反应堆厂房内正进行着混凝土的浇灌工作。

**苏联** 哈尔科夫基洛夫工厂为新伏罗涅什原子能发电站制造的第一台七千瓩汽轮机的设计工作已完成并正在制造。汽轮机将在  $231^{\circ}\text{C}$  下以 29 大气压的饱和蒸汽而工作, 蒸汽的湿度不超过 12%。

**苏联** 1959 年 9—10 月一个说明苏联在和平利用原子能方面成就的展览会在塔什干展出。该展览会在 1959 年 9 月底于塔什干召开的和平利用原子能会议开始前开幕的。就其规模和所涉及的应用原子能的部门来说, 塔什干展览会是苏联在国内外同类型展览会中最大一次的巡回展览会。

**英国** 在阿尔德马斯顿建造的功率为 5000 瓩的第一个私营研究性游泳池型反应堆“梅尔林”于 1959 年 7 月达到临界状态。

**英国** 1959 年 7 月 12 日卢瑟福高能实验室内 50 兆电子伏质子直线加速器已开始建立。加速器将用来进行原子核研究。预计彻底调整好以后, 质子束强度比其他这类加速器上得到的要强好几倍。

**印度** 根据印度原子能委员会主席巴巴的报导, 1964 年以前在孟买附近将建立一个功率为 25 万瓩的原子能发电站。电站生产的电能预计价格在运转初期为 0.8 分/瓩·小时, 电站运行五年后为 0.4 分/瓩·小时。

**印度** 特隆贝重水型研究用反应堆将从美国原子能委员会购买十五吨重水。

**西班牙** 西班牙利用原子能发展计划第二阶段要建立一个供生产电能和试验不同种类燃料用的反应堆。第三阶段包括了在塔霍河附近建造功率为 20—25 万瓩的原子能发电站。

**意大利** 1959 年 9 月 8 日都灵附近功率为 1 千瓩的游泳池反应堆“阿伏伽德罗”达到临界状态。该反应堆属于汽车公司“菲亚特”和化学公司“蒙特萨尼”所有。

**加拿大** 洛尔弗顿 (Рольфтон) 附近建筑工地上功率为 2 万瓩的水平电能反应堆厂房的建造工作接近完成。反应堆将在 1960 年完全建成。

**新西兰** 在原子核研究所内将安装一个从美国购买的能量为 3 千瓩的加速器。

**波兰** 正在编制供辐射化学研究用的反应堆的设计。

**美国** 在实验性动力反应堆 SRE 上, 过热蒸汽的温度达到  $539^{\circ}\text{C}$ 。这个温度与反应堆上所采用的钠载热剂温度  $570^{\circ}$  相适应。

**美国** “Комбасин инджениринг” 公司得到原子能委员会的建议, 准备设计和建造一个热功率为

6 万瓩的 (PWR 型) 研究用反应堆 NTR。反应堆用来对不同结构的活性区和调整系统进行大规模的试验。反应堆拟在爱达荷国家试验站上建造。

**美国** “国际原子能公司”完成了供载重量为六吨的运输船用的带有机减速剂和载热剂的反应堆设计。

**美国** 原子能委员会委托诺尔斯原子能研究所设计压力水天然循环反应堆 (NCR)。把这种反应堆应用在潛水艇上能大大降低噪音量, 因为它能去除一个主要的噪音来源——循环泵。

**美国** 在毕克-洛克区 (密西根州) 预计要建造一个电功率为 5 万瓩强制循环的沸腾式反应堆。

**美国** 对有关钠-重水反应堆建造的问题进行两年多的研究后, 研究工作暂时停止。反应堆预计建造在安柯利德夫 (阿拉斯加)。

**美国** “国际原子能公司”和“核动力联合公司”结束了有蒸汽过热的铀-石墨反应堆 (此种类型反应堆与苏联建造在别洛雅尔斯克原子能发电站的反应堆类似) 的初步研究工作。预计研究工作还将继续下去, 而且除进行设计外, 还将进行实验工作。

**美国** “Сарджент энд Ланди” 公司准备用水防护层代替沸腾堆昂贵的屏蔽外壳。万一回路破裂或爆炸, 在冷水防护层中便会凝集所形成的蒸汽。为了检验这一看法是否正确, 采用过一个注满冷水的大水箱。箱内安装有一钢筒, 其内部装满 5 吨 45 个大气压的沸腾水。筒的一个部分有一宽为 50 厘米的缝隙。对水箱壁的剩余压力为 0.2 大气压; 箱内无冷水时, 此压力应达 10 大气压。以后还要仿照原子核事故来实现蒸汽爆炸。按计算, 此种类型水防护外壳, 对 EBWR 反应堆来说, 容积不是目前采用的  $11500\text{ 米}^3$ , 而是  $300\text{ 米}^3$ 。

**美国** SRE 反应堆在 1959 年 7 月末停堆。为了消除不正常的温度分布, 在小功率时进行过专门的实验, 以后才发现六个释热组件已损坏。组件没熔化, 但个别释热棒芯离开了原来的位置。事故的原因尚未查明, 但有人估计, 这是由于在排出以后剩下的四氯化钛堵塞了个别管道的结果。

事故和运转周期末期进行的初次装载同时发生。目前活性区正在重新装载。

**美国** 在阿贡国家研究所内开始建造一个边缘聚焦的 1250 亿电子伏的同步稳相加速器。加速器的磁铁由八个扇形块所组成。磁场的梯度等于零。能量为 800 千电子伏的质子由高压源射入直线加速器, 加速到 50 兆电子伏才引入同步稳相加速器, 加速时间一秒。装置将放在直径为 60 米的环形建筑物中。计划在 1962 年初建成。加速器的大概造价为



二千九百万美元。

**美国** 在克里佛林德(Кливленд) 1959 年原子能博覽会上“高压工程公司”展出了作为中子源用的 0.4 兆电子伏的范德格喇夫静电加速器。加速器总长 1.57 米,伸出管长度 120 厘米。有这么长的管子就能用加速器把中子脉冲送到亚临界装置内。在亚临界装置内进行中子散射、核反应、跃迁效应等研究时都可利用这种加速器。

**美国** “Юниверсал Циклопс стил” 公司出售大小为  $0.72 \times 915 \times 2410$  毫米的铀板和重为 215 公斤铀铯(1%) 合金铀。铀板是由直径为 227 毫米、150 公斤重的铀铯轧制而成。

**美国** 根据美国原子能委员会的材料统计,至 1959 年 6 月 1 日止美国铀矿总储量为 889 亿万吨,在已逝去的半年中储量增加约六百五十万吨。1959 年 1 月至 6 月私人工厂和政府机构开采了 33 亿万吨铀矿,同一期间加工了三百六十万吨矿体,平均含

铀量为 0.25%  $U_3O_8$ 。

到 1959 年 6 月 30 日止,美国有三十三三个生产铀的工厂,其昼夜生产率总和为二万一千七百吨。建立两个工厂,其总生产率为一千吨。

**美国** “西屋电气公司”准备建立天文原子-核实验室,以解决研究宇宙空间时原子核能量的利用问题。

在阿贡国家实验室内已组织两个新的部门:高能物理部和固体物理部。

**土耳其** 在斯坦姆布拉(Стамбула)附近建立原子核研究所。那里将安装一个由美国公司所制造的功率为 1 兆瓦的游泳池型研究用反应堆。

**瑞士** 在 1959 年 9 月 14 至 19 日举行的日内瓦加速器会议最后一次大会上,阿达姆斯博士宣布说,在欧洲原子核研究所的 250 亿强聚焦的同步稳相加速器上已得到第一转加速。

# 新 書 介 紹

## 最 新 文 獻

### 書籍、論文集及雜誌

#### 应用放射性同位素自动检查裝置的理論基础

舒米罗夫斯基 (Шумиловский Н. Н.), 美里特采尔 (Мельтцер Л. В.), 莫斯科, 苏联科学院出版社, 1959 年, 144 頁。

这本书首先试图总结各种科学研究机构利用放射性同位素或核辐射对生产过程进行检查和自动化的仪表进行研究所获得的一些成果。

本书内有序言, 共分九章。

在序言中简要地叙述了放射性射线的基本性质, 辐射接收器, 测量原理图, 以及应用放射性同位素的自动检查装置上所产生的测量误差有关的某些专门性问题。

全书其中八章是论述厚度(密度)测量, 继电器的作用装置, 能级测量, 液态流量测量, 气体消耗量, 气体压力和物质成分检查的理论问题。

在每一章中详细研究了影响测量误差的主要因素, 引证了放射源与仪器和测定物的参数有关特性的公式。测定物可以估计出源的放射性, 仪器测量的精确度和快速性等。

在最后一章里研究装置内(与动力性能无关)放射性最低放射性的一些测量问题。

这一材料对于在利用放射性同位素的自动检查的装置上从事设计和运行的工程技术人员有很大的作用。

同时必须指出, 如果利用书中所述的密度, 浓度, 物质厚度的范围和可以用放射源测量的其他参数在物质等各种类型射线吸收系数, 作为参考资料, 则本书还具有更大的价值。

个别章节, 例如《自动 $\gamma$ 探伤》没有将这部分所进行的工作完全包括进去。尽管这些方法有很大的意义, 但作者对苏联科学院乌拉尔分院法基陀维 (И. Факидовым) 等在自动 $\gamma$ 探伤中用闪烁计数管所做出的成果, 都没有提到。虽然如此, 尽管指出了某些不够的地方, 但整个说来这本书仍是很有价值和很有意义的参考书。他首次总结了自动装置建立十年来的工作经验, 所以就将这个问题列入新书介

紹。

Л. П.

**核反应堆液态金属载热剂** 安德烈耶夫 (Андреев П. В.), 卡纳耶夫 (Канаев А. А.), 费陀罗维奇 (Федорович Е. Д.), 列宁格勒, 造船工业出版社, 1959 年, 384 頁。

这本书对国内外有关研究液态金属性质某些文章作了评论。第一章第二节阐述液态金属与合金的物理和化学性质。第三章叙述液态金属中热交换器和流体力学的基本原理。第四章叙述液态载热剂中核反应堆的各种结构材料的腐蚀性质。

第二部分“液态金属系统的设计和运行”共分三章。在这三章里叙述了液态金属系统设计的基本原理和其个别组件, 系统设备(泵, 热交换器, 汽门, 测量仪器), 并叙述了液态金属系统的运行规则。

第三部分探讨了国内液态金属载热剂的研究。

本书着重于彙集和分析大量液态金属理论与实验工作, 无疑地它对于科学工作者, 工程师和技术人员及反应堆设计和有关技术方面的工作人员是有益的。

**原子能发电站** 泰勒 (Taylor E. O.), 伦敦, 乔治纽恩斯, 184 頁。

这本书简明地叙述核物理和堆物理的基本原理。研究了各种类型的动力堆。中子物理和堆物理所用的基本公式, 以及有关核物理和核动力的历史参考材料。

核动力的物理基础和技术基础的简要叙述可作为捷依洛尔 (Тейлора Э.) 著作的初学参考资料。

**外国原子技术** 11 期(1959 年)。11 月出版的外国原子技术文集刊登有阿莱娜 (Дж. Ван Аллена) 等同志的论文“用人工地球卫星将电流人为地引向地磁场的研究”。这篇论文的第一部分刊载在第一期上。

在美依拉穆德 (Е. Мэйламул) 和西韦曼 (Снямана А.) 的著作里他讲述了关于高尔涅耳同步加速器——第一个强聚焦加速器和变换陡度加速器的磁



結構資料,敘述了磁測量的基本方法。

費爾克文斯特 (К. Херквиста) 的著作“熱離子變換器”和格羅韋爾 (Г. Гровера) 的著作“洛斯阿拉莫斯等離體熱電偶”闡明了用熱能直接轉變為電能的发展方向中的一個問題。

在“原子商船”的評論中敘述了船隻製造和設計的資料,各種類型核反應堆是船隻的能源。

達維德松 (Дж. Давидсон) 的論文簡明敘述了在原子能發電站取得廉價電能的可能性。論文中敘述了燃料用二氧化鈾在液態鉍中浮懸的反應堆。

在國外新書評論中“原子光源”一文敘述了各種閃爍管的特性,以及在閃爍管中由於放射性同位素 $\beta$ 衰變的能量所引起螢光質的激發。

## 期 刊 論 文

Артюхин П. И. и др. Влияние  $\alpha$ -излучения плутония на его валентное состояние в азотнокислых растворах. Радиохимия, 1, вып. 2, 131—135 (1959).

Барabanенков Ю. Н. К решению кинетического уравнения плазмы в переменном магнитном поле. Ж. эксперим. и теор. физ., 37, вып. 2, 425—429 (1959).

Бербаш Н. В., Данилов В. П. Изменение спектрального поглощения фосфатных стекол простых составов под действием гамма-лучей. Оптико-механ. пром-сть, № 5, 43—45 (1959).

Богатырев И. О. Распределение некоторых радиоизотопов загрязненного водоема в воде, иле и растениях. Бюлл. Моск. о-ва испыт. природы. Отд. биол., 64, вып. 2, 150 (1959).

Бялобжеский А. В. Влияние ионизирующего излучения на коррозию металлов в атмосферных условиях. Ж. физ. хим., 33, вып. 6, 1256—1262 (1959).

Вдовенко В. М., Соколов А. П. Об упругости диссоциации кристаллогидратов уранилнитрата. Радиохимия, 1, вып. 2, 117—120 (1959).

Величкин И. Н. и др. Использование радиоизотопов для исследования изнашивания деталей [тракторных двигателей] в условиях эксплуатации. Вест. машиностроения, № 7, 37—42 (1959).

Власов Н. А., Оглоблин А. А. Реакция ( $d, t$ ) на ядрах  $Li^6$ ,  $Li^7$  и  $Be^9$ . Ж. эксперим. и теор. физ., 37, вып. 1 (7), 54—61 (1959).

Воден В. Г. и др. Изучение комплексообразования уранилнитрата с фосфорорганическими соединениями. Радиохимия, 1, вып. 2, 121—130 (1959).

Волков Т. Ф. О ионных колебаниях в плазме. Ж. эксперим. и теор. физ., 37, вып. 2, 422—426 (1959).

Гольдманский В. И., Подгорецкий М. И. Возможный способ идентификации новых трансурани-

новых элементов. Ж. эксперим. и теор. физ., 37, вып. 1 (7), 315—317 (1959).

Гулякин И. В., Юдинцева Е. В. Влияние длительного применения удобрений на накопление радиоактивных продуктов деления в урожае овса. Изв. Тимирязевск. с.-х. акад., вып. 3, 37—56 (1959).

Гусейнов Д. М., Эюбов Р. Э. Влияние ионизирующих излучений на созревание и урожай хлопка-сырца. Сообщ. 1. Докл. АН Азерб.ССР, 15, № 6, 521—525 (1959).

Данчев В. И., Оляха В. В. Некоторые вопросы генезиса уранового оруденения в связи с изучением эффективной пористости рудосодержащих карбонатных пород. Изв. АН СССР, серия геол., № 7, 16—25 (1959).

Дерюга И. Ф. и др. Установка для перемещения электромагнита бетатрона. Изв. высш. учеб. заведений. Электромеханика, № 5, 110—113 (1959).

Драбкина Л. Е., Гельман А. Д. Исследование устойчивости шестивалентного плутония в некоторых водных растворах. Радиохимия, 1, вып. 2, 136—140 (1959).

Драчев С. М., Былинкина А. А. Обнаружение радиоактивного загрязнения поверхностных источников водоснабжения. Водоснабж. и сан. техн., № 7, 38—39 (1959).

Друин В. А. и др. Угловое распределение осколков при делении ядер тяжелыми ионами. Ж. эксперим. и теор. физ., 37, вып. 1 (7), 38—40 (1959).

Емельянов В. О развитии советской атомной энергетики. Новое время, № 29, 10—12 (1959).

Клоцман С. М., Тимофеев А. Н. Методические возможности изучения адсорбции [в металлах] и некоторых вопросов диффузии с помощью меченых атомов. Тр. Ин-та физ. металлов (Уральский филиал АН СССР), вып. 22, 77—91 (1959).

Коломенский А. А., Рабинович М. С. Крупнейший в мире ускоритель—синхрофазотрон. Природа, № 8, 57—61 (1959).

Корнеев Е. И. и др. Деление  $Th^{232}$  тепловыми нейтронами. Ж. эксперим. и теор. физ., 37, вып. 1 (7), 40—45 (1959).

Кузьминов Б. Д. и др. Некоторые характеристики спонтанного деления  $U^{238}$ . Ж. эксперим. и теор. физ., 37, вып. 2, 406—412 (1959).

Ларкин А. И. Прохождение частиц через плазму. Ж. эксперим. и теор. физ., 37, вып. 1 (7), 264—272 (1959).

Липис Л. В. Спектральный анализ чистых материалов. Доклад на XII Всесоюз. совещании по спектроскопии, ноябрь 1958 г. Усп. физ. наук, 68, вып. 1, 71—80 (1959).

Лукоянов С. Ю., Подгорный И. М. Магнитная ловушка с полем, нарастающим к периферии. Ж. эксперим. и теор. физ., 37, вып. 1 (7), 27—32 (1959).

Медведев Ж. А., Заболоцкий Н. Н. Простой

метод ускоренных определений действия излучения радиоактивных изотопов на синтез липоидов и нуклеиновых кислот в растениях. Изв. Тимирязевск. с.-х. акад., вып. 3, 183—192 (1959).

Мирополюский З. Л., Шнеерова Л. И. Исследование течения пароводяной смеси в трубах методом  $\gamma$ -просвечивания. Теплоэнергетика, вып. 1, 53—61 (1959).

Морозов А. П. Запуск и эксплуатация бетатрона на максимальную энергию гамма-квантов на 15 Мэв. Изв. высш. учеб. заведений. Электромеханика, № 5, 101—109 (1959).

Москвин А. И. и др. Исследование комплексобразования трехвалентного америция в оксалатных и этилендиаминтетраацетатных растворах методом ионного обмена. Радиохимия, 1, вып. 2, 141—146 (1959).

Никольский Б. П. и др. Комплексобразование бария и радия в растворах трилона Б. Радиохимия, 1, вып. 2, 147—154 (1959).

Никольский Б. П. и др. Взаимодействие радия и бария с нитрилтриуксусной кислотой в водных растворах. Радиохимия, 1, вып. 2, 155—161 (1959).

Никотин О. П., Лещинский Д. А. Радиоактивный толщиномер для непрерывного бесконтактного измерения толщины ленты прокатываемого стекла. Стекло и керамика, № 7, 35—37 (1959).

Ольховский И. А., Диесперова М. И. Изучение с помощью изотопа  $\text{Ca}^{45}$  влияния ковшевого кирпича на загрязнение стали. Огнеупоры, № 6, 258—262 (1959).

Орлов А. Н. и др. Расчет многократного рассеяния гамма-лучей семейств урана и тория. Докл. АН СССР, 126, № 5, 975—978 (1959).

Першина З. Г., Есакова Т. Д. Бактерицидное действие ионизирующих излучений. Ж. микробиол., эпидемиол. и иммунол., № 6, 62—66 (1959).

Протасова В. А. Методика исследования неровноты от вытягивания с помощью радиоактивных изотопов. Изв. высш. учеб. заведений. Технология текстильной пром-сти, № 3, 68—75 (1959).

Севрюгова Н. Н. и др. Разделение изотопов бора ректификацией хлористого бора. Докл. АН СССР, 126, № 5, 1044—1046 (1959).

Спицын В. И., Громов В. В. К вопросу о влиянии радиоактивности осадков на их сорбционные свойства. Радиохимия, 1, вып. 2, 181—184 (1959).

Старик И. Е., Мелякова О. С. Факторы, влияющие на эманлирующую способность искусственных солей и минералов. Зависимость эманлирующей способности искусственных солей и минералов по радону, торону и актинону от размера частиц. Радиохимия, 1, вып. 2, 196—203 (1959).

Тихонов А. Н. О распространении переменного электромагнитного поля в слоистой анизотропной среде. Докл. АН СССР, 126, № 5, 967—970 (1959).

Щибря Г. И. и др. Действие ионизирующих

излучений на некоторые витаминосные растения. Тр. Всесоюз. н.-и. витамин. ин-та, 6, 184—189 (1959).

Adams M., Higgins P. Philos. Mag., 4, No. 42, 777—783 (1959). Твердение меди при облучении нейтронами.

Adda Y., Kirianenko A. J. Nucl. Materials, 1, No. 2, 120—126 (1959). Исследование самодиффузии в  $\gamma$ -уране.

Agno M. et al. Suppl. Nuovo Cimento (XI, S. X.), N. 3, 324—345 (1959). Описание итальянского синхротрона на 1200 Мэв.

Archbold N., Econ. Geol., 54, No. 4, 666—682 (1959). Зависимость содержания карбоната от литологического состава пород и содержания урана и ванадия в формации Моррисон в юго-западном Колорадо.

Armstrong D. et al. J. Nucl. Materials, 1, No. 2, 127—133 (1959). Травление ядерных материалов катодной бомбардировкой.

Ascari A. Energia Nucl., 6, N. 4, 259—266 (1959). О кинетике реактора SPERT-I.

Atterling H. Arkiv fys., 15, N. 6, 531—558 (1959). Ускорение тяжелых ионов в 225-сантиметровом стокгольмском циклотроне.

Atterling H., Lindstrom G. Arkiv fys., 15, N. 6, 483—502 (1959). 225-сантиметровый циклотрон Нобелевского института физики в Стокгольме.

Baskin Y. et al. Amer. Ceram. Soc. Bull., 38, No. 7, 345—348 (1959). Окись тория, упрочненная металлическими нитями.

Bates R. Econ. Geol., 54, No. 3, 449—466 (1959). Приложение статистического анализа к исследованию размещения урановых месторождений на плато Колорадо.

Benefenati I. Energia Nucl., 6, N. 8, 511—520 (1959). Защита от атомной радиации.

Blässer G. Nukleonik, 1, N. 6, 216—221 (1959). Резонансный захват нейтронов в гетерогенных системах.

Bleiberg M. J. Nucl. Materials, 1, No. 2, 182—190 (1959). Влияние интенсивности деления и межпластинчатых расстояний на фазовое превращение в сплаве U—9% Mo, вызванное облучением.

Breccia A. Energia Nucl., 6, N. 4, 249—258 (1959). Применение меченых атомов в биогенезе алкалоидов.

Brigoli B. et al. Energia Nucl., 6, N. 5, 330—338 (1959). Изучение кинетики реакции железо—пар.

Brutto E. et al. Energia Nucl., 6, N. 8, 532—533 (1959). Тепловое сопротивление соприкасающихся металлических цилиндрических поверхностей.

Carwell D., Lawrance J. J. Inorg. and Nucl. Chem., 11, No. 1, 69—74 (1959). Экстракция аминами. 1. Система Th—HNO<sub>3</sub>—триоктиламин.

Chamberlain J. Econ. Geol., 54, No. 3, 478—494 (1959). История формирования структур в районе



оз. Биверлодж.

Chambers R. Mining Mag., C, No. 5, 268—272 (1959). Исследовательское бурение длинных шпуров в районе оз. Биверлодж.

Champeix L. et al. J. Nucl. Materials, 1, No. 2, 113—119 (1959). Определение кислорода в Na. Применение ртутного метода при очень малых содержаниях.

Chang R. J. Nucl. Materials, 1, No. 2, 174—181 (1959). Высокотемпературная ползучесть и явление неупругости в поликристаллических тугоплавких оксидах.

Corsetti C. Energia Nucl., 6, N. 8, 497—501 (1959). Симпозиум по физике металлов и ядерной металлургии.

Dalmasso C., Nardelli G. Energia Nucl., 6, N. 5, 307—421 (1959). Эффект Вигнера в графитовых замедлителях ядерных реакторов. Ч. 1—Физическая интерпретация вигнеровской энергии и процесс отжига.

Davidson E. Econ. Geol., 54, No. 3, 436—448 (1959). Геология уранового месторождения Рэини-Дэй, округ Гарфилд, шт. Юта.

Dawson J. et al. Industr. Chemist, 35, No. 412, 269—276 (1959). Непосредственное использование энергии продуктов деления в химической промышленности.

DeMarco R. et al. Amer. Ceram. Soc. Bull., 38, No. 7, 360—362 (1959). Окисление  $UO_2$  до  $U_3O_8$ .

Didchenko R. Trans. Metallurg. Soc. AIME, 215, No. 3, 401—402 (1959). Приготовление безводных хлоридов цезия и тория.

Eastwood T., Roy J. Canad. J. Phys., 37, No. 7, 815—826 (1959). Реакция ( $n, 3n$ ) в ядерном реакторе.

Emendorfer D., Kirchenmayer A. Nukleonik, 1, H. 6, 233—236 (1959). О влиянии эффективной части запаздывающих нейтронов на кратковременные изменения режима реактора.

Facchini U. Energia Nucl., 6, N. 4, 237—248 (1959). Ионизационные камеры.

Frigerio G. Energia Nucl., 6, N. 8, 502—510 (1959). Технологические проблемы производства керамических таблеток из  $UO_2$  для реакторов с водяным охлаждением.

Frolich H. Nukleonik, 1, H. 5, 183—188 (1959). Сильноточный источник ионов и электронов.

Gatti E. Energia Nucl., 6, N. 5, 301—306 (1959). Применение импульсной техники в ядерной электронике.

Gerevini T., Somigliana R. Energia Nucl., 6, N. 5, 339—344 (1959). Использование  $MNO(OH)_2$  для удаления цезия из водных растворов.

Goebel W. Nukleonik, 1, H. 6, 227—233 (1959). Использование явления изменения цвета высших полимеров для дозиметрических целей.

Griffiths G. et al. Canad. J. Phys., 37, No. 7,

858—865 (1959). Простой счетчик быстрых нейтронов, нечувствительный к  $\gamma$ -лучам.

Häfele W. Nukleonik, 1, H. 6, 197—208 (1959). Спектр нейтронов в гетерогенном реакторе с пластинчатыми тепловыделяющими элементами.

Havlicek F. Energia Nucl., 6, N. 8, 521—531 (1959). Обогащение  $U^{235}$ .

Hull D., Rimmer D. Philos. Mag., 4, No. 42, 673—687 (1959). Рост пустот на границах зерен под действием напряжений.

Jahns W., Weidmann G. Nukleonik, 1, H. 5, 189—190 (1959). Определение содержания кислорода в натрии.

Jensen M. Econ. Geol., 54, No. 3, 374—394 (1959). Изотопы серы и гидротермальные минеральные месторождения.

Jones C., Benson R. Amer. Ceram. Soc. Bull., 38, No. 7, 349—451 (1959). Испытание керамического ядерного горючего методом автордиографии.

Kennett T., Bollinger L. Nucl. Phys., 12, No. 3, 249—260 (1959). Многократное рассеяние нейтронов при резонансных энергиях.

Kewish R. et al. Trans. Metallurg. Soc. AIME, 215, No. 3, 425—429 (1959). Приготовление металлического урана высокой чистоты восстановлением кальцием четырехфторида урана в бомбе.

Košaly G. Nukleonik, 1, H. 6, 221—224 (1959). К статистической теории переноса нейтронов.

Košaly G., Németh G. Nukleonik, 1, H. 6, 225—227 (1959). Среднее значение и флуктуации времени замедления нейтронов в тяжелых замедлителях.

Leible O. Z. Erzbergbau und Metallhüttenwesen, XII, H. 5, 234—237 (1959). Радиоактивность мальсбургских гранитов и содержание в них тория и урана.

Leitten S., Beaver R. J. Nucl. Materials, 1, No. 2, 136—144 (1959). Дисперсные системы бора с железом в оболочке из нержавеющей стали для реакторов с водой под давлением.

McCollum R., Allen G. J. Appl. Phys., 30, No. 7, 1105—1108 (1959). Влияние облучения нейтронами на неравновесные состояния AuCu, вызванные термически и механически.

McKisson R. J. Nucl. Materials, 1, No. 2, 196—202 (1959). Оценка реакции окисл бериллия—водяной пар в открытом цикле реактора с воздушным охлаждением.

Müller A. Nukleonik, 1, H. 5, 172—174 (1959). Оценка ужесточения нейтронов в топливных элементах гетерогенных реакторов.

Nowotny H. Z. Metallkunde, 50, H. 7, 417—423 (1959). К строению систем ниобий—бор и тантал—бор.

Nucl. Phys., 12, No. 3, 291—297 (1959). Полное нейтронное сечение изотопов водорода и гелия.

Pal L., Németh G. Nukleonik, 1, H. 5, 165—167 (1959). О флуктуации времени замедления нейтро-

нов.

Perona G. *Energia Nucl.*, **6**, N. 5, 322—329 (1959). Производство тепловыделяющих элементов в США.

Petersen R. et al. *Econ. Geol.*, **54**, No. 2, 254—267 (1959). Месторождения рения в ассоциации с уранинитом в округе Коконино, шт. Аризона.

Peterson D., Westlake D. *Trans. Metallurg. Soc. AIME*, **215**, No. 3, 444—447 (1959). Растворимость дигидрида тория в металлическом тории.

Quéré Y., Nakache F. *J. Nucl. Materials*, **1**, No. 2, 203—209 (1959). Оценка объема пика деления в уране.

Rembser J. *Nukleonik*, **1**, H. 5, 167—171 (1959). Пристеночный и концевой эффекты в цилиндрическом счетчике нейтронов по протонам отдачи.

Rief H. *Nukleonik*, **1**, H. 6, 208—215 (1959). Коэффициент размножения и вероятность столкновения быстрых нейтронов в урановых трубках, заполненных замедлителем.

Riezler W., Kern W. *Nukleonik*, **1**, H. 5, 191—195 (1959). Электрофильтр для отделения радиоактивных аэрозолей.

Ritz H. *Nukleonik*, **1**, H. 5, 175—183 (1959). Расчет ячейки гетерогенного реактора трехгрупповым методом.

Rolsten R. *Trans. Metallurg. Soc. AIME*, **215**, No. 3, 478—483 (1959). Йодидный ниобий.

Roscoe S. *Canad. Mining J.*, **80**, No. 7, 65—66 (1959). Монацит—рудный минерал в урановых рудах оз. Элиот.

Roy J. *Canad. J. Phys.*, **37**, No. 7, 827—831 (1959). Существование нейтронов с энергией 20,3 Мэв в реакторе NRX.

Sehgal M. et al. *Nucl. Phys.*, **12**, No. 3, 261—268 (1959). Сечение образования некоторых изомеров тепловыми нейтронами.

Seitz F. *Trans. Metallurg. Soc. AIME*, **215**, No. 3, 354—367 (1959). Действие облучения на металлы.

Shawe D. et al. *Econ. Geol.*, **54**, No. 3, 395—415 (1959). Геология и уран-ванадиевые месторождения района Слик-Рок, шт. Колорадо.

Simpson R. *Canad. Mining J.*, **80**, No. 2, 144—146 (1959). Уран в Канаде в 1958 г.

Vaasjoki O., Kouvo O. *Econ. Geol.*, **54**, No. 2, 301—307 (1959). Сравнение изотопного состава свинца и содержания примесей металлов в некоторых финских галенитах.

Videm K. *J. Nucl. Materials*, **1**, No. 2, 145—153 (1959). Коррозия алюминиевых сплавов в высокотемпературной воде. Обзор.

Vie G. *Mines et Metallurgie*, No. 3530, 416—419 (1959). Урансодержащее месторождение Буа-Нуар (область Форез) и его эксплуатация.

Wanklyn J., Jones D. *J. Nucl. Materials*, **1**, No. 2, 154—173 (1959). Коррозия нержавеющей аустенитных сталей при теплопередаче в высокотемпературной воде.

Wauchope K., Baird J. *J. Nucl. Materials*, **1**, No. 2, 191—195 (1959). Приготовление большогоплотный-бериллиевого нейтронного источника.



## МАРТОВСКОГО ВЫПУСКА ЖУРНАЛА "АТОМНАЯ ЭНЕРГИЯ"

ЗА 1960 г.

### СОДЕРЖАНИЕ

#### Статьи

- Д. П. Василевская, А. А. Глазов, В. И. Данилов, Ю. Н. Денисов, В. П. Джелепов, В. П. Дмитриевский, Б. И. Замолодчиков, Н. Л. Заплатин, В. В. Кольга, А. А. Кропин, *Лю Нэчуань*, В. С. Рыбалко, А. Л. Савенков, Л. А. Саркисян. Циклотрон с пространственной вариацией напряженности магнитного поля.
- Р. А. Мещеров, Е. С. Миронов, Л. М. Неменов, С. Н. Рыбин, Ю. А. Холмовский. Ускорение ионов в циклотроне с азимутальной вариацией магнитного поля.
- А. И. Новожилов, С. Б. Шихов. Метод *усреднения* констант для расчета быстрого реактора с учетом ценности нейтронов.
- П. И. Христенко. О термодинамической возможности работы турбин на органических жидкостях, нагреваемых в ядерных энергетических реакторах.
- И. Л. Перлин, И. Д. Никитин, В. А. Федорченко, А. Д. Никулин, Н. Г. Решетников. Некоторые силовые и деформационные характеристики обработки урана давлением.
- А. Г. Истомина, И. Б. Кеярим-Маркус. О дозиметрии промежуточных нейтронов.
- М. М. Константинов. Поисковые критерии для месторождений урана.

#### Письма в редакцию

- Б. Далхсурен, И. Ю. Левенберг, Ю. В. Норсеев, В. Н. Покровский, С. С. Хайнацкий. Нейтронодефицитный изотоп  $\text{No}^{155}$ .
- А. К. Вальтер, М. Л. Гольдин. Определение влажности сыпучих тел методом нейтронного замедления.
- Ю. А. Зысин, А. А. Коврижных, А. А. Лбов, Л. И. Сельченков. Сечение реакции  $\text{Th}^{232} (n, 2n) \text{Th}^{231}$  на нейтронах с энергией 14,7 Мэв.
- Д. П. Осанов, Е. Е. Ковалев. Излучение цилиндрического источника за защитой.
- В. В. Яковлев. Местная и средняя теплоотдача при турбулентном течении некипящей воды в трубе и высоких тепловых нагрузках.
- Э. А. Сидоров. К вопросу о выборе теплоносителя для ядерных реакторов. В. Ф. Титов. Электролитическое получение слоев соединений урана плотностью 1—3  $\mu^2/\text{см}^2$ .
- Н. П. Галкин, М. А. Степанов. Растворимость гидрооксида урана (IV) в едком натре.
- Викт. И. Спицын, Г. М. Несмеянова, Г. М. Алхазашвили. О каталитическом влиянии соединений железа при окислении четырехвалентного урана в кислых средах.
- Н. А. Федотов. Влияние гамма-излучения на *электродные* свойства литиевого стекла.
- С. В. Стародубцев, Ш. А. Абляев, В. В. Генералова. Измерение дозы  $\gamma$ -излучения по изменению *оптической активности* некоторых углеводов.
- В. И. Субботин, М. Х. Ибрагимов, М. Н. Ивановский. Турбулентные пульсации температуры в потоке жидкости.

#### Новости науки и техники

#### Справки и библиография

以上为苏联原子能杂志8卷3期目录, 相当于本刊5卷7期(1960年7月初出版)。愿参加上述文献翻译者, 希于1960年4月10日前来信联系。为了避免重译, 在未获本刊编辑部答复前, 希勿开译。

参加  
勿开



## 本 刊 启 事

本刊編譯工作原由中国物理学会“原子能”編譯委员会負責。現經中国物理学会与中国科学院原子核科学委员会商定,从 1960 年 1 月起本刊編譯工作改由原子核科学委员会所属編輯委员会負責,并以苏联“Атомная энергия”杂志中文版的名义出版。

本刊通信处仍为“北京市邮局 287 信箱”。

### 原 子 能 (月刊)

編 輯 者	中国科学院原子核 科学委员会編輯委员会 (北京郵箱 287 号)
出 版 者	科 学 出 版 社
印 刷 者	中国科学院印刷厂
总发行处	北 京 市 邮 局
訂 购 处	全 国 各 地 邮 电 局
代訂零售处	全 国 各 地 新 华 书 店 科学出版社各地門市部

(京) 1—3,810

1960 年 3 月 27 日出版

本刊代号: 2—212

定价: 1.10 元